



การหาจุดที่มีกำลังไฟฟ้าสูงสุดของแผงโซล่าเซลล์โดยใช้โครงข่ายประสาทเทียม

Maximum Power Point Tracking of Solar Cell Using Neural Network

นางสาวเบญจมาศ อัมมิน รหัส 47361761
นายชรเกียรติ อักษรเตื่อ รหัส 47363759
นายบวร ตั้งดี รหัส 47363924

ห้องสมุดคณะวิศวกรรมศาสตร์
วันที่รับ ๑๖ / ๑๗ / ๕๒
เลขทะเบียน ๑๔๓๕๒๓ X
เลขเรียกหนังสือ บก.
มหาวิทยาลัยนเรศวร ๘๔

ก

๒๕๕๐

ปริญญาในพนธน์นี้เป็นส่วนหนึ่งของการศึกษาหลักสูตรปริญญาวิศวกรรมศาสตรบัณฑิต

สาขาวิชาวิศวกรรมไฟฟ้า ภาควิชาวิศวกรรมไฟฟ้าและคอมพิวเตอร์

คณะวิศวกรรมศาสตร์ มหาวิทยาลัยนเรศวร

ปีการศึกษา ๒๕๕๐



ใบรับรองโครงการวิศวกรรม

หัวข้อโครงการ

การหาจุดที่มีกำลังไฟฟ้าสูงสุดของแผงโซล่าเซลล์โดยใช้โครงข่าย
ประสาทเทียม

ผู้ดำเนินโครงการ

นางสาวเบญจมาศ อัจฉิม รหัส 47361761

นายชารเกียรติ อักษรเดือ รหัส 47363759

นายบวร ตั้งคี รหัส 47363924

อาจารย์ที่ปรึกษา

ดร.แฉทรียา สุวรรณศรี

สาขาวิชา

วิศวกรรมไฟฟ้า

ภาควิชา

วิศวกรรมไฟฟ้าและคอมพิวเตอร์

ปีการศึกษา

2550

คณะกรรมการศาสตร์ มหาวิทยาลัยเรศวร อนุมัติให้โครงการฉบับนี้เป็นส่วนหนึ่งของ
การศึกษาตามหลักสูตรวิศวกรรมศาสตรบัณฑิต สาขาวิชาวิศวกรรมไฟฟ้า

คณะกรรมการสอน โครงการวิศวกรรม

(ดร.แฉทรียา สุวรรณศรี)

ประธานกรรมการ

(ผู้ช่วยศาสตราจารย์ ดร.สุชาติ யัยมเน่น)

กรรมการ

(อาจารย์สราวุฒิ วนวนวงศ์พิทักษ์)

กรรมการ

หัวข้อโครงการ	การหาจุดที่มีกำลังไฟฟ้าสูงสุดของแมงโฉลกเชลด์โดยใช้โครงข่าย ประสาทเทียม		
ผู้ดำเนินโครงการ	นางสาวเบญจมาศ อั่มอิ่น	รหัส	47361761
	นายชรนภกีรติ อักษรเสือ	รหัส	47363759
	นายบวร ตั้งคี	รหัส	47363924
อาจารย์ที่ปรึกษา	ดร. แคมพ์ ศุวรรณศรี		
สาขาวิชา	วิศวกรรมไฟฟ้า		
ภาควิชา	วิศวกรรมไฟฟ้าและคอมพิวเตอร์		
ปีการศึกษา	2550		

บทคัดย่อ

ผลลัพธ์ของอาชญากรรมที่มีต่อสังคม เช่น การฆ่าตัด首 ข่มขืน ลักทรัพย์ ปลอมแปลงเอกสาร ฯลฯ จึงเป็นภัยคุกคามสำคัญต่อสังคมไทย ดังนั้น จึงจำเป็นต้องมีการดำเนินการทางกฎหมายอย่างเคร่งครัดและเร่งด่วน ไม่ใช่แค่การลงโทษผู้กระทำความชั่ว แต่ต้องมีการเฝ้าระวังและป้องกันภัยคุกคามที่อาจเกิดขึ้นในอนาคต ให้ได้มากที่สุด

จึงนำโครงข่ายประสาทเทียมซึ่งมีการทำงานเหมือนสมองมนุษย์มาช่วยในการวิเคราะห์หาจุดที่มีกำลังไฟฟ้าสูงสุดของแพง โซล่าเซลล์ โดยใช้ไมโครคอนโทรลเลอร์เป็นตัวควบคุม โดยการกำหนดค่าดิจิตี้ไซเกิดที่เหมาะสมให้กับวงจรบูสต์คอนเวอร์เตอร์เพื่อให้ได้กำลังไฟฟ้าสูงสุดของแพงโซล่าเซลล์ตามที่โครงข่ายประสาทเทียมวิเคราะห์ได้ ณ ช่วงเวลาหนึ่ง ๆ

จากผลการทดลองพบว่าไม่โครงตน์โตรเลอร์ได้ทำการส่งค่าคิวตี้ไปเคิลที่เหมาะสมให้กับ
วงจรนูสคันเวอร์เดอร์ได้ตามที่โครงข่ายประสาทเทียนวิเคราะห์ทำให้ได้ค่ากำลังไฟฟ้าสูงสุดตาม
ต้องการ

Project Title	Maximum Power Point Tracking of Solar Cell Using Neural Network.		
Name	Miss Benchamart	Ameim	ID 47361761
	Mr. Khajornkiat	Agsornsue	ID 47363759
	Mr. Boworn	Tangdee	ID 47363924
Project Advisor	Dr. Cattareeya Suwanasri		
Major	Electrical Engineering.		
Department	Electrical and Computer Engineering.		
Academic	2007		

ABSTRACT

Solar energy is sustainable energy that presently is researched and developed more extensively. Solar cell is main equipment converting solar energy to electrical energy. The power obtained from the solar cell can be applied in diversify technology depending on loads connected to output voltage produced. However, the maximum capacity usage must be known, how to be applied. There is a need to learn about the behavior of the solar cell and its technique to adjust voltage and currant in order to gain maximum power point at each instantaneous time.

Therefore, this project proposes neural network, which works like a human brain to analyze the maximum power point of the solar cell by using microcontroller with specified duty cycle for boost converter circuit of solar cell to get the maximum power point as the neural network has analyzed at that time.

The experimental results show that microcontroller sent a properly duty cycle to boost converter circuit. Finally, the maximum power point is obtained.

กิตติกรรมประกาศ

โครงการฉบับนี้สำเร็จลุล่วงไปได้ด้วยดีด้วยความช่วยเหลือจากบุคคลหลายฝ่าย โดยเฉพาะอย่างยิ่งของขอบพระคุณ ดร.แททรียา สุวรรณศรี ในฐานะอาจารย์ที่ปรึกษาที่ได้ให้แนวคิดและข้อเสนอแนะที่มีประโยชน์คือการทำโครงการอย่างมาก

นอกจากนี้ผู้จัดทำผู้จัดทำของขอบพระคุณเจ้าหน้าที่วิทยาลัยพลังงานทดแทนทุกท่านที่มีส่วนร่วมให้ความอำนวยสถานที่ในการทำโครงการเป็นอย่างดีอีก

ท้ายสุดนี้ คณะผู้จัดทำของขอบคุณปีะพงษ์ โอพารทิชาวด และนิสิตปริญญาโท ภาควิชาไฟฟ้า และคอมพิวเตอร์ คณะวิศวกรรมศาสตร์ มหาวิทยาลัยนเรศวรทุกท่านที่ให้ความช่วยเหลือในการทำโครงการนี้

พร้อมทั้งขอกราบขอบพระคุณบิดา มารดา คณาจารย์ และผู้มีพระคุณทุกท่านที่ได้อุปกรณ์สั่งสอนให้ความรู้ ให้คำแนะนำให้คำปรึกษาที่มีคุณค่า แก่คณะผู้จัดทำด้วยดีเสมอมา

คณะผู้จัดทำโครงการ

สารบัญ

	หน้า
บทคัดย่อภาษาไทย.....	ก
บทคัดย่อภาษาอังกฤษ.....	ข
กิตติกรรมประกาศ.....	ค
สารบัญ.....	ง
สารบัญตาราง.....	ด
สารบัญรูป.....	ฉ
บทที่ 1 บทนำ	
1.1 ที่มาและความสำคัญของโครงการ.....	1
1.2 วัตถุประสงค์ของโครงการ.....	1
1.3 ขอบข่ายของโครงการ.....	1
1.4 วิธีการดำเนินงาน.....	2
1.5 แผนการดำเนินโครงการ.....	2
1.6 ผลลัพธ์ที่คาดว่าจะได้รับ.....	2
1.7 งบประมาณของโครงการ.....	3
บทที่ 2 ทฤษฎีและหลักการทำงาน	
2.1 ความรู้พื้นฐานของการสร้าง (แพง โซล่าเซลล์).....	4
2.2 วงจรที่ระดับแรงดันไฟฟ้าหรือวงจรบูสต์คอนเวอร์เตอร์.....	6
2.3 วงจร โครงข่ายประสาทเทียม.....	12
2.4 ตัวໄວแสง.....	20
2.5 เทอร์นิสเดอร์.....	22
2.6 ไมโครคอนโทรลเลอร์.....	24
บทที่ 3 วิธีการดำเนินงาน	
3.1 ศึกษาข้อมูล.....	25
3.2 การออกแบบชิ้นงานและการสร้างชิ้นงาน.....	26
3.3 การเก็บข้อมูลแพงโซล่าเซลล์และเขียนโปรแกรม โครงข่ายประสาทเทียม.....	34
3.4 ทดสอบและการทดสอบ.....	34
3.5 รวมรวมข้อมูลพร้อมเข้ารูปเล่มรายงาน.....	34

สารบัญ (ต่อ)

หน้า

บทที่ 4 การทดสอบและผลการทดสอบ

4.1 การเก็บข้อมูลการผลิตกำลังไฟฟ้าของแผงโซล่าเซลล์.....	35
4.1 ทำการทดสอบที่ห้องทดลอง.....	61
4.2 ทำการทดสอบที่วิทยาลัยพลังงาน.....	63

บทที่ 5 บทสรุป

5.1 สรุป.....	67
5.2 ปัญหาและข้อเสนอแนะ.....	68

เอกสารอ้างอิง..... 69

ภาคผนวก

ภาคผนวก ก โครงการข่ายประสาทเทียม.....	71
ภาคผนวก ข โปรแกรมการหาจุดที่มีกำลังไฟฟ้าสูงสุดด้วยไมโครコンโทรลเลอร์.....	75
ประวัติผู้เขียนโครงการ.....	81

สารบัญตาราง

ตารางที่	หน้า
1.1 แผนการดำเนินโครงการ.....	2
2.1 อัตราย้ายแรงคันไฟฟ้าของวงจรบุสคอนเวอร์เตอร์เมื่อมีการปรับเปลี่ยนค่า D.....	9
4.1 ตารางบันทึกข้อมูลเวลา 10.10 น.....	36
4.2 ตารางบันทึกข้อมูลเวลา 10.20 น.....	38
4.3 ตารางบันทึกข้อมูลเวลา 10.30 น.....	40
4.4 ตารางบันทึกข้อมูลเวลา 10.40 น.....	42
4.5 ตารางบันทึกข้อมูลเวลา 10.50 น.....	44
4.6 ตารางบันทึกข้อมูลเวลา 11.00 น.....	46
4.7 ตารางบันทึกข้อมูลเวลา 11.10 น.....	48
4.8 ตารางบันทึกข้อมูลเวลา 11.20 น.....	50
4.9 ตารางบันทึกข้อมูลเวลา 11.30 น.....	52
4.10 ตารางบันทึกข้อมูลเวลา 11.40 น.....	54
4.11 ตารางบันทึกข้อมูลเวลา 11.50 น.....	56
4.12 ตารางบันทึกข้อมูลเวลา 12.00 น.....	58
4.13 ตารางรวมข้อมูล.....	60
4.14 ผลการทดสอบในห้องทดสอบ.....	62
4.15 ผลการทดสอบที่วิทยาลัยพลังงานทดแทน.....	65

สารบัญ

หัวข้อ	หน้า
2.1 กราฟกระแสเทียบกับแรงดัน.....	4
2.2 ผลกระทบของอุณหภูมิที่มีกับกราฟกระแสเทียบกับแรงดัน.....	5
2.3 ผลกระทบของความเข้มแสงอาทิตย์ที่มีต่อกลางกระแสไฟฟ้าเทียบกับแรงดันไฟฟ้า.....	6
2.4 วงจรบูสต์คอนเวอร์เตอร์.....	6
2.6 แรงดันไฟฟ้าที่ต่อกันร้อมตัวเหนี่ยวนำ และกระแสไฟฟ้าที่ไหลผ่านตัวเหนี่ยวนำ.....	8
2.7 วงจรสมมูลเมื่อสวิตช์ไม่นำกระแส.....	8
2.8 ความสัมพันธ์ระหว่างอัตราการขยายแรงดันกับ D.....	10
2.9 กระแสไฟฟ้าที่ไหลผ่านตัวเก็บประจุ.....	12
2.10 Model ของ Neuron ในสมองมนุษย์.....	13
2.11 Model ของ Neuron ในคอมพิวเตอร์.....	14
2.12 แสดงการแยกเบอร์ระหว่างสีเหลืองและสามเหลี่ยม.....	15
2.14 การเรียนรู้แบบมีการสอน (Supervised Learning).....	16
2.15 การเรียนรู้แบบไม่มีการสอน Unsupervised Learning.....	17
2.16 สถาปัตยกรรมของ Feed forward network.....	17
2.17 สถาปัตยกรรมของ Feedback network.....	18
2.18 Single-layer perceptron.....	19
2.19 โครงสร้างของ Perceptions.....	20
2.20 โครงสร้างของ LDR.....	20
2.21 กราฟแสดงความไวของ LDR ที่ความยาวคลื่นต่าง ๆ กัน เทียบกับตาคน.....	21
2.22 วงจรแบ่งแรงดัน.....	22
2.23 ตัวอย่างวงจรแบ่งแรงดัน.....	22
2.24 สัญลักษณ์และรูป่างของเทอร์มิสเตอร์.....	23
2.25 แสดงกราฟคุณสมบัติของเทอร์มิสเตอร์ชนิด NTC และ PTC.....	23
3.1 แผนภาพการทำงานของ โครงข่ายประสาทเทียมและวงจรบูสต์คอนเวอร์เตอร์.....	26
3.2 วงจรบูสต์คอนเวอร์เตอร์.....	27
3.3 วงจรจุดชนวนมอเตอร์.....	27
3.4 วงจรดิฟเฟอเรนเชียล.....	28
3.5 วงจรเซนเซอร์แสง (LDR).....	28

สารบัญรูป (ต่อ)

รูปที่	หน้า
3.6 วงจรเซนเซอร์วัดอุณหภูมิ (Thermistor).....	29
3.7 สัญญาพัลส์ 5 V ดิวตี้ไซเคิล 50% ความถี่ 25 kHz.....	29
3.8 สัญญาณพัลส์ที่ได้หลังจากผ่านไอดี 1R2110.....	30
3.9 ป้อนแรงดันไฟฟ้ากระแสตรงให้กับวงจรบูสต์อน徽器์ เครื่อง 1 V.....	30
3.10 แรงดันเอาต์พุตจากการบูสต์อน徽器์ เครื่อง ได้ 1.8 V.....	31
3.11 ป้อนแรงดันอินพุตไฟฟ้ากระแสตรง 15 V เข้าวงจรดิฟเฟอเรนเชียล.....	31
3.12 แรงดันไฟฟ้าเอาต์พุตจากการบูสต์อน徽器์ เครื่อง 2.98 V.....	32
3.13 แผนผังลำดับการทำงานของอุปกรณ์วัดความเข้มแสงกับอุณหภูมิ ด้วยไมโครคอนโทรลเลอร์.....	33
4.1 การเก็บข้อมูลพฤติกรรมของแพงโซล่าเซลล์.....	35
4.2 กราฟกระแสไฟฟ้าเทียบกับแรงดันไฟฟ้าเวลา 10.10 นาที.....	37
4.3 กราฟกำลังไฟฟ้าเทียบกับแรงดันเวลา 10.10 นาที.....	37
4.4 กราฟกระแสเทียบกับแรงดันเวลา 10.20 นาที.....	39
4.5 กราฟกำลังไฟฟ้าเทียบกับแรงดันเวลา 10.20 นาที.....	39
4.6 กราฟกระแสเทียบกับแรงดันเวลา 10.30 นาที.....	41
4.7 กราฟกำลังไฟฟ้าเทียบกับแรงดันเวลา 10.30 นาที.....	41
4.8 กราฟกระแสเทียบกับแรงดันเวลา 10.40 นาที.....	43
4.9 กราฟกำลังไฟฟ้าเทียบกับแรงดันเวลา 10.40 นาที.....	43
4.10 กราฟกระแสเทียบกับแรงดันเวลา 10.50 นาที.....	45
4.11 กราฟกำลังไฟฟ้าเทียบกับแรงดันเวลา 10.50 นาที.....	45
4.12 กราฟกระแสเทียบกับแรงดันเวลา 11.00 นาที.....	47
4.13 กราฟกำลังไฟฟ้าเทียบกับแรงดันเวลา 11.00 นาที.....	47
4.14 กราฟกระแสเทียบกับแรงดันเวลา 11.10 นาที.....	49
4.15 กราฟกำลังไฟฟ้าเทียบกับแรงดันเวลา 11.10 นาที.....	49
4.16 กราฟกระแสเทียบกับแรงดันเวลา 11.20 นาที.....	51
4.17 กราฟกำลังไฟฟ้าเทียบกับแรงดันเวลา 11.20 นาที.....	51
4.18 กราฟกระแสเทียบกับแรงดันเวลา 11.30 นาที.....	53
4.19 กราฟกำลังไฟฟ้าเทียบกับแรงดันเวลา 11.30 นาที.....	53
4.20 กราฟกระแสเทียบกับแรงดันเวลา 11.40 นาที.....	55
4.21 กราฟกำลังไฟฟ้าเทียบกับแรงดันเวลา 11.40 นาที.....	55

สารบัญรูป (ต่อ)

รูปที่	หน้า
4.22 กราฟกระแสเทียนกับแรงดันเวลา 11.50 น.....	57
4.23 กราฟกำลังไฟฟ้าเทียนกับแรงดันเวลา 11.50 น.....	57
4.24 กราฟกระแสเทียนกับแรงดันเวลา 12.00 น.....	59
4.25 กราฟกำลังไฟฟ้าเทียนกับแรงดันเวลา 12.00 น.....	59
4.26 การทดสอบในห้องทดลอง.....	62
4.27 งจกรรมที่ใช้ในการทำงาน.....	64
4.28 อุปกรณ์การทดสอบที่วิทยาลัยพัฒนาทดแทน.....	64



บทที่ 1

บทนำ

1.1 ที่มาและความสำคัญของโครงการ

น้ำมันซึ่งเป็นแหล่งเชื้อเพลิงหลักในปัจจุบันมีความต้องการใช้ที่มากขึ้นส่งผลให้น้ำมันมีราคาแพงขึ้นเรื่อยๆ ดังจะเห็นได้จากวิกฤติราคาน้ำมันที่ประเทศต่างๆ ประสบอยู่ ซึ่งประเทศไทยเป็นประเทศหนึ่งที่ประสบปัญหาเกี่ยวกับวิกฤติราคาน้ำมัน จึงมีการวิจัยและพัฒนาแหล่งพลังงานสะอาด ปราศจากมลพิษและสามารถทดแทนการใช้น้ำมัน พลังงานทดแทนอย่างหนึ่งที่มีปริมาณมหาศาลและมีความพยายามจะนำมาใช้ในปัจจุบันคือ พลังงานแสงอาทิตย์ เนื่องจากพลังงานแสงมีอยู่ทั่วไปและส่งมาอย่างโลกจำนวนมาก อย่างไรก็ตามการนำพลังงานแสงอาทิตย์มาใช้เพื่อประโภตนั้นมีอยู่น้อยมาก เมื่อเทียบกับพลังงานทั้งหมดที่ต่อกythnbun บนโลก แต่โซล่าเซลล์เป็นอุปกรณ์หลักในการแปลงผันพลังงานนี้ อย่างไรก็ตาม การนำพลังงานที่ได้จากแสงโซล่าเซลล์มาใช้ได้อย่างมีประสิทธิภาพนั้น จำเป็นต้องอาศัยความรู้ความเข้าใจในพฤติกรรมของการแปลงผันพลังงานของแสงโซล่าเซลล์ เนื่องจากแสงโซล่าเซลล์จะมีจุดทำงาน ได้หลายจุดขึ้นอยู่กับโหลดภาระที่นำมาต่อด้านเอ้าท์พุต อย่างไรก็ตาม จะมีจุดทำงานจุดหนึ่งที่ให้พลังงานสูงสุดเรียกว่า Maximum Power Point เพื่อให้ได้ประสิทธิภาพการนำพลังงานแสงอาทิตย์มาใช้ในโครงการจะอาศัยเทคนิค การปรับค่าแรงดันและกระแสจากแสงโซล่าเซลล์ ให้ทำงานที่จุดที่มีกำลังไฟฟ้าสูงสุดเรียกว่า Maximum Power Point Tracking ตัวควบคุมซึ่งใช้เพิ่มประสิทธิภาพในโครงการนี้เป็นตัวควบคุมแบบปรับตัวเองได้ตามสิ่งแวดล้อมที่เปลี่ยนไป โดยอาศัยหลักการของโครงข่ายประสาทเทียม

1.2 วัตถุประสงค์ของโครงการ

- เพื่อหาจุดที่มีกำลังไฟฟ้าสูงสุดของแสงโซล่าเซลล์
- เพื่อเพิ่มประสิทธิภาพการทำงานของแสงโซล่าเซลล์

1.3 ขอบข่ายของโครงการ

- คำนวณหาจุดที่มีกำลังไฟฟ้าสูงสุดโดยใช้โครงข่ายประสาทเทียม
- เขียนโปรแกรมเพื่อใช้หาจุดที่มีกำลังไฟฟ้าสูงสุดของโซล่าเซลล์

1.4 วิธีดำเนินการ

1. สร้างและทดสอบวงจรบูรณาการเวอร์เตอร์
2. เก็บข้อมูลอุณหภูมิ ความชื้นแสง
3. เก็บค่า แรงดันไฟฟ้า และ กระแสไฟฟ้าที่แบ่งโซล่าเซลล์ให้โดยปรับค่าความด้านثانที่ปรับตัวได้ นำมาพัฒนาไฟฟ้าเพื่อให้สูงสุดของแบ่งโซล่าเซลล์
4. นำค่าอุณหภูมิและความชื้นแสง มาเขียนโปรแกรมโครงข่ายประสาทเทียม
5. เขียนโปรแกรมเพื่อนำไปปักหมุดที่มีกำลังไฟฟ้าสูงสุดของแบ่งโซล่าเซลล์
6. นำโปรแกรมที่ได้ไปทดสอบหาจุดที่มีกำลังไฟฟ้าสูงสุดของแบ่งโซล่าเซลล์
7. สรุปผลการทดสอบ

1.5 แผนการดำเนินงาน

กิจกรรม	พ.ย.	ธ.ค.	ม.ค.	ก.พ.	มี.ค.	เม.ย.	พ.ค.
1. ศึกษาข้อมูลเรื่อง แบ่งโซล่าเซลล์, บูรณาการเวอร์เตอร์, โครงข่ายประสาทเทียม ไมโครคอนโทรลเลอร์และ โครงข่ายประสาทเทียม		↔					
2. ออกแบบและจัดทำชิ้นงาน				↔			
3. เก็บข้อมูลของแบ่งโซล่าเซลล์และเขียนโปรแกรม โครงข่ายประสาทเทียม				↔			
4. ทดสอบการใช้งานจริงและสรุปผล						↔	
5. รวบรวมข้อมูลเข้ารูปเป็นรายงาน						↔	

1.6 ผลที่คาดว่าจะได้รับ

เราจะสามารถใช้โครงข่ายประสาทเทียมวิเคราะห์หาจุดที่มีกำลังไฟฟ้าสูงสุดที่ของแบ่งโซล่าเซลล์ในเดลต้าช่วงเวลาได้ ซึ่งเป็นเพิ่มประสิทธิภาพในการใช้งานของแบ่งโซล่าเซลล์

1.7 งบประมาณที่ใช้

1.7.1 ค่าอุปกรณ์อิเล็กทรอนิกส์	1,500 บาท
1.7.2 ค่าวัสดุอื่นๆ	500 บาท
1.7.3 ค่าถ่ายเอกสารและจัดทำรูปเล่ม	1,000 บาท
รวมเป็นเงิน	3,000 บาท
	(สามพันบาทถ้วน)

หมายเหตุ:

(ค่าใช้จ่ายทั้งหมด ได้รับการสนับสนุนจากคณะกรรมการวิชากรรมศาสตร์ เป็นจำนวนเงิน 3,000 บาท)



บทที่ 2

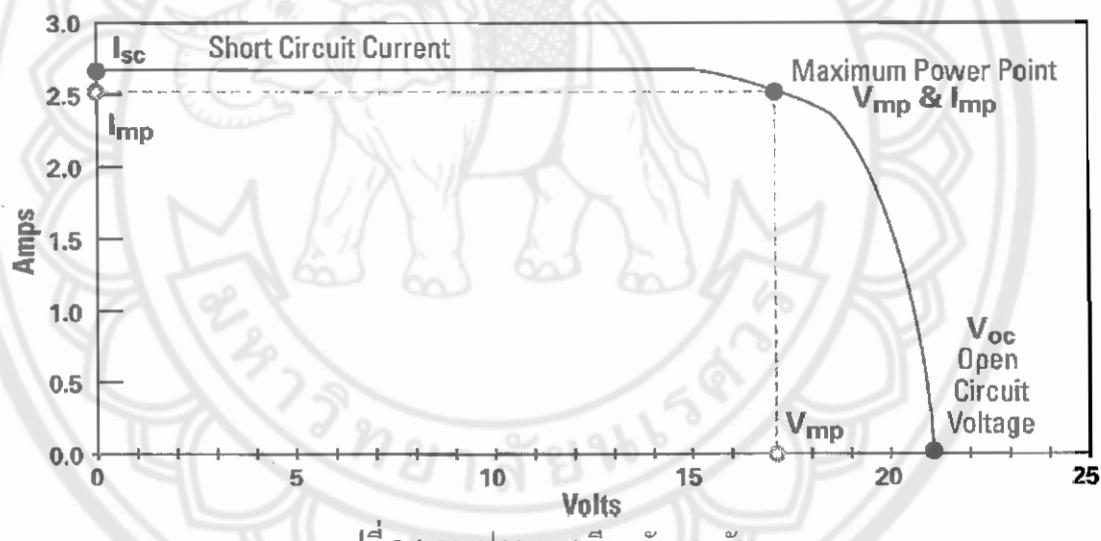
ทฤษฎีและหลักการทำงาน

2.1 ความรู้พื้นฐานของการสร้าง (แผงโซล่าเซลล์)[1]

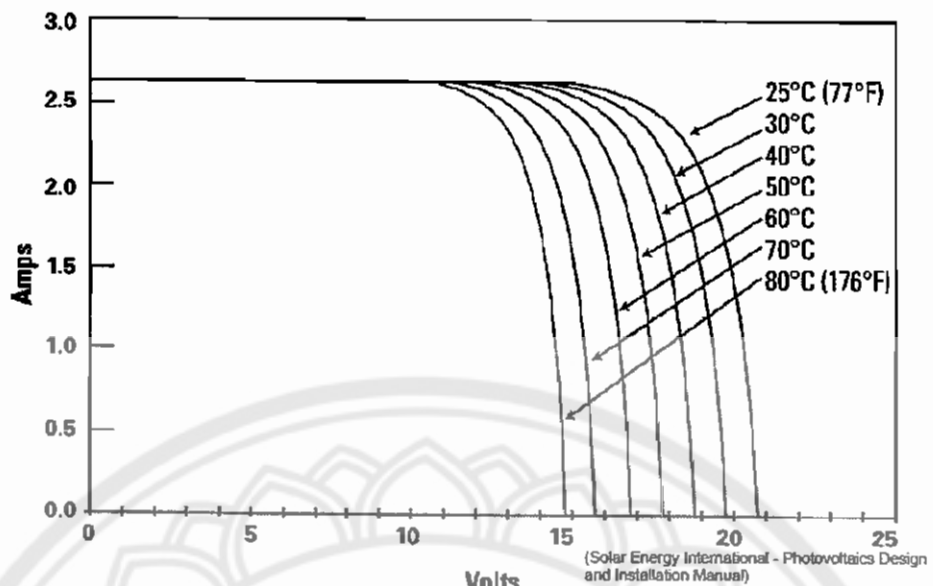
2.1.1 การผลิตไฟฟ้าของแผงโซล่าเซลล์

แผงโซล่าเซลล์จะแปลงพลังงานแสงอาทิตย์ เป็นพลังงานไฟฟ้าโดยในแผงจะประกอบด้วยโซล่าเซลล์หลาย ๆ เซลล์ แผงโซล่าเซลล์ทำงานโดยการรวมรวมพลังงานจากแสงอาทิตย์ซึ่งพลังงานของแสงอาทิตย์จะอยู่ในรูปของไฟตอน เมื่อไฟตอนเข้ามาต่อกันบนโซล่าเซลล์ พลังงานของไฟตอนจะทำให้อิเล็กตรอนเคลื่อนที่ได้ซึ่งก่อให้เกิดกระแสไฟฟ้าขึ้นในที่สุด

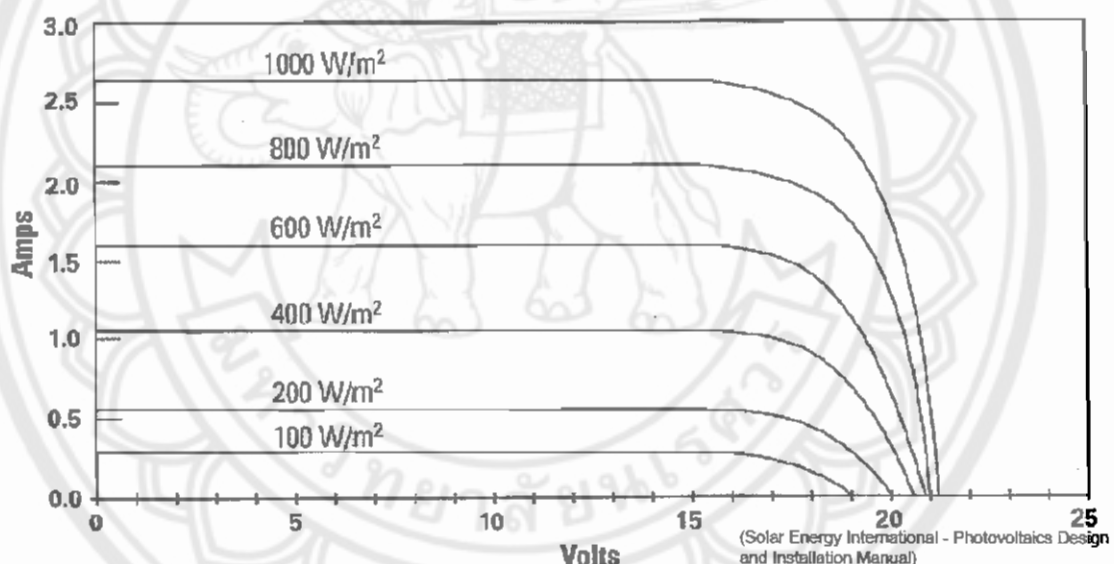
$$\text{กำลังไฟฟ้า} = \text{แรงดัน} \times \text{กระแส} \quad (2.1)$$



รูปที่ 2.1 กราฟกระแสเทียบกับแรงดัน



รูปที่ 2.2 ผลกระทบของอุณหภูมิที่มีกับกราฟกระแสเทียบกับแรงดัน



รูปที่ 2.3 ผลกระทบของความเข้มแสงอาทิตย์ที่มีต่อกราฟกระแสไฟฟ้าเทียบกับแรงดันไฟฟ้า

จากรูปที่ 2.2 และ 2.3 จะเห็นได้ว่า แผงโซล่าเซลล์จะสามารถผลิตกำลังไฟฟ้าได้ดี ณ อุณหภูมิต่ำ และความเข้มแสงมีค่ามาก

2.2 วงจรทบระดับแรงดันไฟฟ้าหรือวงจรบูสต์คอนเวอร์เตอร์ [2]

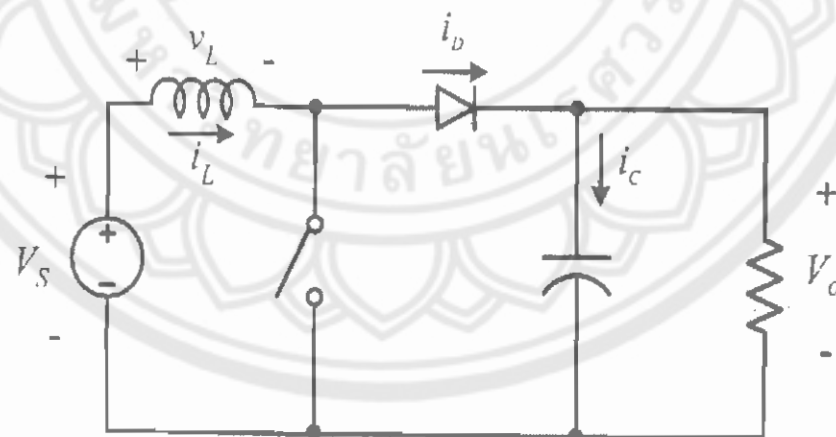
2.2.1 วงจรทบระดับแรงดันไฟฟ้าหรือวงจรบูสต์คอนเวอร์เตอร์

วงจรทบระดับหรือวงจรบูสต์คอนเวอร์เตอร์ คือวงจรที่ทำการเพิ่มระดับแรงดันไฟฟ้าด้านออกให้สูงกว่าแรงดันไฟฟ้าด้านเข้า ที่เรียกว่าวงจรบูสต์คอนเวอร์เตอร์ (Boost Converter) ก็ เพราะแรงดันไฟฟ้าด้านออกสูงกว่าแรงดันไฟฟ้าด้านเข้าทั้งสอง

2.2.2 ผู้อนุญาตการทำงานของวงจรบูสต์คอนเวอร์เตอร์

การวิเคราะห์การทำงานของบูสต์คอนเวอร์เตอร์ในช่วงสภาพอยู่ด้วย จะมีการกำหนดเงื่อนไขในการทำงานของวงจรบูสต์คอนเวอร์เตอร์ เพื่อให้ง่ายต่อการวิเคราะห์ดังนี้

1. กระแสไฟฟ้าที่ไหลผ่านตัวเหนี่ยวนำ ณ ตำแหน่งเดียวกันในแต่ละคานเวลา จะมีค่าเท่ากัน และมีค่าเป็นบวกเสมอ
2. แรงดันไฟฟ้าเฉลี่ยต่อกันร่วมตัวเหนี่ยวนำในแต่ละคานเวลาจะเท่ากับศูนย์ หมายถึงผลรวมของผลคูณระหว่างแรงดันไฟฟ้าต่อกันร่วมตัวเหนี่ยวนำกับเวลา ในแต่ละคานเวลาจะเท่ากับศูนย์
3. ตัวเก็บประจุมีขนาดใหญ่ทำให้แรงดันไฟฟ้าด้านออกมีค่าคงที่
4. กำลังไฟฟ้าด้านอินพุตเท่ากับกำลังไฟฟ้าเอาต์พุต กรณีนี้ไม่คำนึงถึงการสูญเสียเนื่องจากการทำงานของวงจร โดยกำหนดให้อุปกรณ์ทุกตัวเป็นอุดมคติ ทำให้สามารถสรุปได้ว่าประสิทธิภาพของวงจรเป็นหนึ่งร้อยเปอร์เซ็นต์



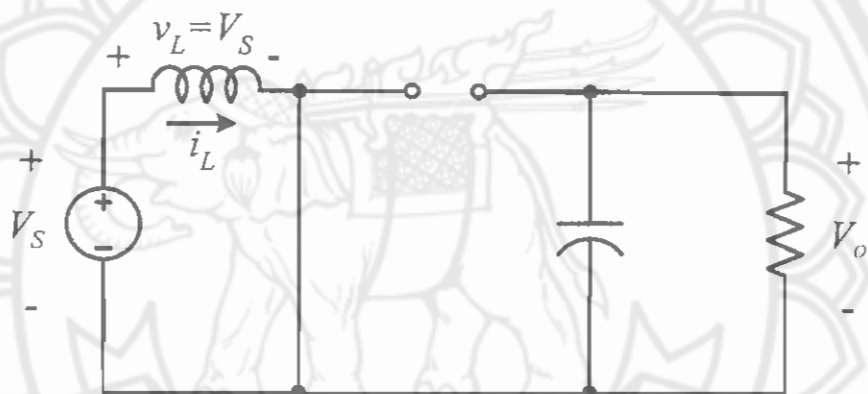
รูปที่ 2.4 วงจรบูสต์คอนเวอร์เตอร์

2.2.3 หลักการทำงานของวงจรนูสคอนเวอร์เตอร์

หลักการทำงานของวงจรนูสคอนเวอร์เตอร์เพื่อให้ได้แรงดันไฟฟ้าเอาต์พุตตามต้องการ จะเริ่มต้นจากข้อกำหนดที่ว่า แรงดันไฟฟ้าและค่ารอมตัวหนี่ยวนำในแต่ละ元件จะเท่ากับศูนย์ และสามารถหาระยะไฟฟ้าที่ไหลผ่านตัวหนี่ยวนำได้โดยวิเคราะห์การทำงานของสวิตช์ในแต่ละโหมด ทั้งนี้การทำงานด้องอยู่ในช่วงสภาพอยู่ตัวดังนี้

ขณะสวิตช์นำกระแส

จากรูปที่ 2.4 กระแสไฟฟ้าจากแหล่งจ่ายไฟฟ้ากระแสตรงจะไหลผ่านตัวหนี่ยวนำ โดยผ่านสวิตช์ ขณะเดียวกัน ได้โอดจะถูกนำไปอัลตรอนกลับทำให้ไม่สามารถนำกระแสได้ ดังแสดงในรูปที่ 2.5 จากกฎของเคอร์ชอฟฟ์จะได้สมการของแรงดันไฟฟ้าดังนี้



รูปที่ 2.5 วงจรสมมูลเมื่อสวิตช์นำกระแส

$$-V_S + v_L = 0 \quad (2.2)$$

$$v_L = V_S = L \frac{di_L}{dt} \quad (2.3)$$

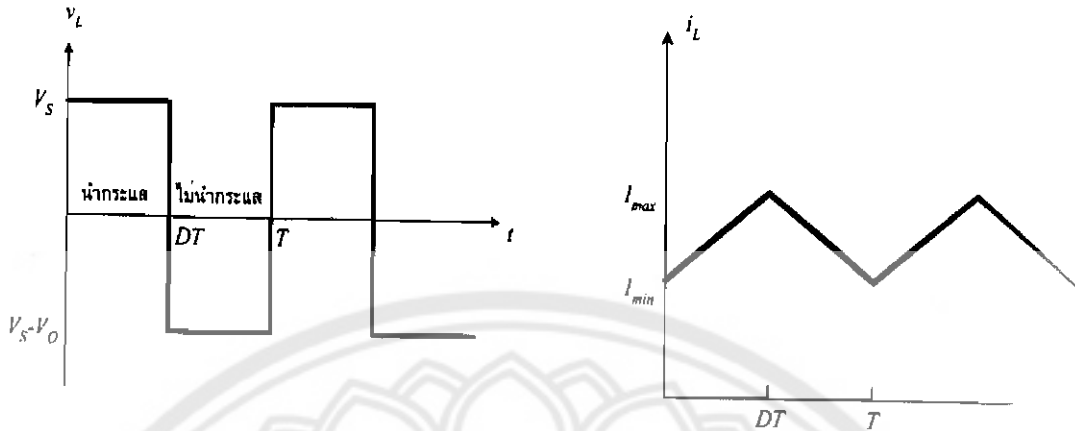
$$\frac{di_L}{dt} = \frac{V_S}{L}$$

ขณะสวิตช์นำกระแส $dt = DT$ เมื่ออัตราการเปลี่ยนแปลงของกระแสไฟฟ้าคงที่ อาจจะถือว่า การเพิ่มของกระแสไฟฟ้าเป็นเชิงเส้น ทำให้สามารถคำนวณได้จาก

$$\frac{\Delta i_L}{\Delta t} = \frac{\Delta i_L}{\Delta T} = \frac{V_S}{L} \quad (2.4)$$

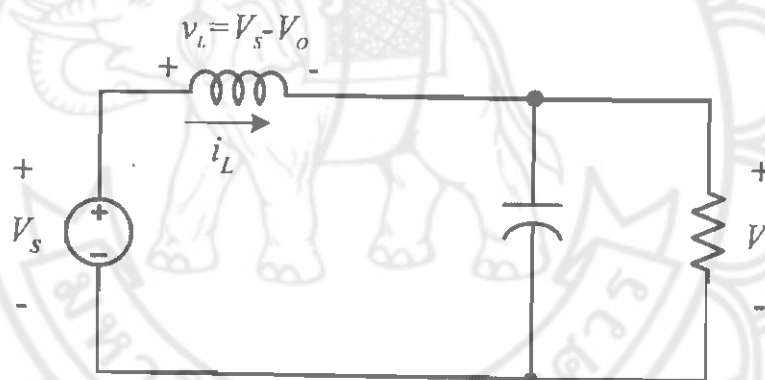
$$\Delta i_{L,on} = \frac{V_S DT}{L} \quad (2.5)$$

$\Delta i_{L,ov}$ หมายถึงอัตราการเปลี่ยนแปลงของกระแสไฟฟ้าในตัวเหนี่ยวขานขณะสวิตช์นำกระแส



รูปที่ 2.6 แรงดันไฟฟ้าที่ต่อกครอ姆ตัวเหนี่ยวขาน และกระแสไฟฟ้าที่ไหลผ่านตัวเหนี่ยวขาน

ขณะสวิตช์ไม่นำกระแส



รูปที่ 2.7 วงจรสมมูลเมื่อสวิตช์ไม่นำกระแส

เมื่อสวิตช์ไม่นำกระแส กระแสไฟฟ้าในตัวเหนี่ยวขานจะเปลี่ยนแปลงทันทีทันใดไม่ได้ ได้โดยจะลูกไบอสไปหน้าให้นำกระแส ทำให้กระแสไฟฟ้าไหลผ่านตัวเหนี่ยวขานอย่างต่อเนื่อง สมมติแรงดันไฟฟ้าที่เอาต์พุตมีค่าคงที่ จากกฎของเคอร์เรฟฟีจะได้สมการของแรงดันไฟฟ้าที่ต่อกครอ姆ตัวเหนี่ยวขานดังนี้

$$-V_s + v_L + V_0 = 0 \quad (2.6)$$

$$v_L = V_s - V_0$$

$$v_L = L \frac{di_L}{dt}$$

$$\frac{di_L}{dt} = \frac{V_s - V_0}{L} \quad (2.7)$$

ขณะสวิตช์ไม่นำกระแส $dt = (1-D)T$ อัตราการเปลี่ยนแปลงของกระแสไฟฟ้าที่ไหลผ่านตัวเหนี่ยวนำมีค่าคงที่ และจะถือว่าการลดลงของกระแสเป็นเชิงเส้นดังรูปที่ 2.6 ทำให้สามารถคำนวณได้จาก

$$\Delta i_{L,off} = \left(\frac{V_s - V_0}{L} \right) (1-D)T \quad (2.8)$$

ที่สภาวะอยู่ด้วย การเปลี่ยนแปลงของกระแสไฟฟ้าที่ไหลผ่านตัวเหนี่ยวนำสูตรนี้มีค่าเท่ากับศูนย์ จากสมการที่ (2.5) และสมการที่ (2.8) จะได้ว่า

$$\Delta i_{L,on} + \Delta i_{L,off} = 0 \quad (2.9)$$

$$\left(\frac{V_s}{L} \right) DT + \frac{(V_s - V_0)(1-D)T}{L} = 0 \quad (2.10)$$

$$V_s D + (V_s - V_0)(1-D) = 0$$

$$V_s D + V_s - V_s D - V_0 + V_0 D = 0$$

$$V_s - V_0(1-D) = 0$$

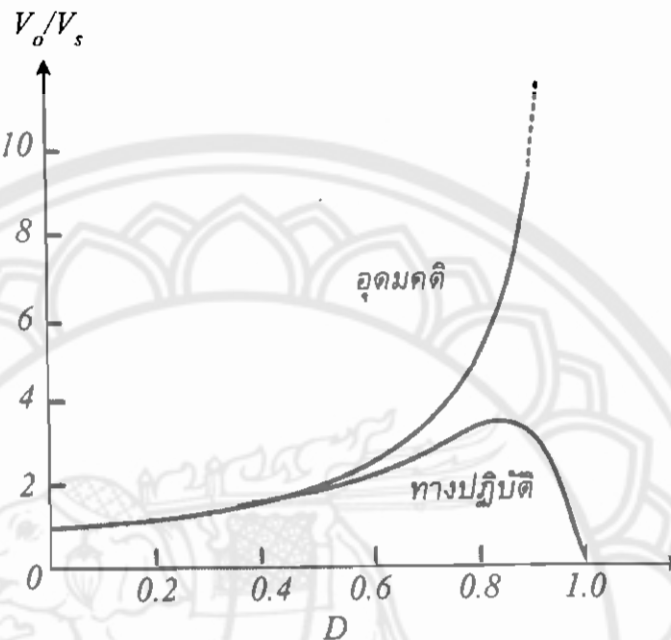
$$\frac{V_0}{V_s} = \frac{1}{1-D} \quad (2.11)$$

ตารางที่ 2.1 อัตราขยายแรงดันไฟฟ้าของวงจรบูสต์เรอร์เมื่อมีการปรับเปลี่ยนค่า D

Duty ratio	อัตราขยายแรงดัน(Voltage gain) $\left(\frac{V_0}{V_s} \right)$
0.0	1.00
0.1	1.10
0.2	1.25
0.3	1.43
0.4	1.67
0.5	2.00
0.6	2.50
0.7	3.33
0.8	5
0.9	10
1.0	Infinity

จากราฟความสัมพันธ์ในรูปที่ 2.8 เมื่อค่า D เพิ่มขึ้นค่าอัตราขยายแรงดันไฟฟ้าจะเพิ่มขึ้นแบบไม่เชิงเส้นในทางปฏิบัติ นิยมปรับอัตราขยายแรงดันไฟฟ้าไม่เกิน 4 เท่า ทั้งนี้เพื่อให้วงจรมีความ

เสถียรภาพ โดยอัตราการขยายแรงดันไฟฟ้าขึ้นค่าสุดคือหนึ่งหรือแรงดันไฟฟ้าเอาต์พุตเท่ากันกับแรงดันไฟฟ้าอินพุตในทฤษฎี แต่ในทางปฏิบัติแรงดันไฟฟ้าเอาต์พุตจะน้อยกว่าแรงดันไฟฟ้าอินพุต เล็กน้อยเนื่องจากมีแรงดันไฟฟ้าต่ำคร่อมໄคโอด และตัวอุปกรณ์สวิดซ์



รูปที่ 2.8 ความสัมพันธ์ระหว่างอัตราการขยายแรงดันกับ D

2.2.4 การหาค่าความหนี้iyawarnที่เล็กที่สุดของวงจรบูสต์เรอร์

สมมติการสูญเสียภายในวงจรบูสต์เรอร์มีค่าเท่ากับศูนย์ กำลังไฟฟ้าที่ออกจากแหล่งจ่ายกำลังไฟฟ้ากระแสตรงจะเท่ากับกำลังไฟฟ้าที่โหลดได้รับ เนื่องไปดังนี้

$$P_s = P_0 = \frac{V_0^2}{R} \quad (2.12)$$

$$P_s = V_s I_s = V_s I_L \quad (2.13)$$

$$V_s I_L = \frac{V_0^2}{R}$$

$$V_0 = \frac{V_s}{1-D}$$

$$V_s I_L = \frac{\left(\frac{V_s}{1-D}\right)^2}{R}$$

$$I_L = \frac{V_s}{(1-D)^2 R} \quad (2.14)$$

กระแสไฟฟ้าที่ไหลผ่านตัวนำสูงสุดและค่าสูด หาได้จากค่าเฉลี่ยและการเปลี่ยนแปลงของกระแสไฟฟ้า ในช่วงเวลาที่สวิตซ์นำกระแสตั้งในสมการที่ (2.8)

$$\Delta I_{L,on} = \frac{V_s DT}{L}$$

ดังนั้นกระแสไฟฟ้าที่ไหลผ่านตัวหนีบนำสูงสุดและค่าสูดคือ

$$I_{L,max} = i_L + \frac{\Delta i_L}{2}$$

$$I_{L,max} = \frac{V_s}{(1-D)^2 R} + \frac{1}{2} \left(\frac{V_s DT}{L} \right) \quad (2.15)$$

$$I_{L,min} = \frac{V_s}{(1-D)^2 R} - \frac{1}{2} \left(\frac{V_s DT}{L} \right) \quad (2.16)$$

สมนดิให้กระแสไฟฟ้าที่ไหลผ่านตัวหนีบนำเป็นแบบต่อเนื่องและค่าเป็นบวกตั้งนี้จะหาค่าความหนีบนำที่เล็กที่สุด ที่ทำให้วงจรบุสคอนเวอร์เตอร์ทำงานได้ในขอบเขตระหว่างโภมคกระแสไฟฟ้าที่ไหลผ่านตัวหนีบนำเป็นแบบต่อเนื่องและแบบไม่ต่อเนื่อง ได้จากการกำหนดให้กระแสไฟฟ้าที่ไหลผ่านตัวหนีบนำมีค่าเป็นศูนย์ จะได้

$$I_{L,min} = \frac{V_s}{(1-D)^2 R} - \frac{1}{2} \left(\frac{V_s DT}{L} \right) = 0 \quad (2.17)$$

$$\frac{V_s}{(1-D)^2 R} = \frac{1}{2} \left(\frac{V_s DT}{L} \right)$$

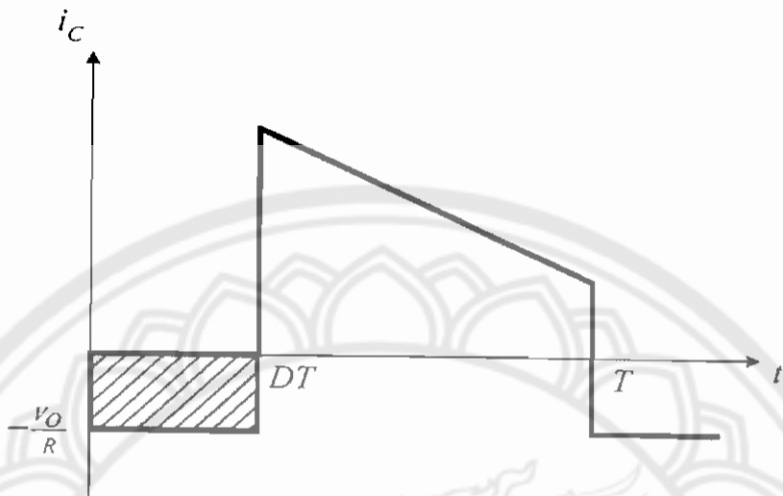
$$I_{L,min} = \frac{D(1-D)^2 R}{2f} \quad (2.18)$$

การปรับค่าความหนีบนำที่เล็กที่สุด จากสมการที่ (2.18) สามารถทำได้โดยการปรับที่ค่า D หรือค่าความต้านทานโหลด R หรือค่าความถี่สวิตซ์ชิ่ง f

ค่าระลอกคลื่นของแรงดันไฟฟ้าด้านออก

การที่มีตัวเก็บประจุที่มีขนาดใหญ่จะสามารถรักษาให้แรงดันไฟฟ้าด้านออกคงที่ แต่ในทางปฏิบัติไม่สามารถเลือกใช้ตัวเก็บประจุที่มีขนาดใหญ่มาก ๆ ได้เนื่องจากมีราคาแพงและใช้พื้นที่มาก จึงเลือกใช้ตัวเก็บประจุที่มีขนาดเหมาะสมและค่าระลอกคลื่นของแรงดันไฟฟ้าด้านออกอยู่ในระดับที่ยอมรับได้

การคำนวณหาค่ากระแสก้อนลี่นของแรงดันไฟฟ้าด้านนอกจากยอดถึงยอดสามารถหาได้จากกระแสไฟฟ้าที่ไหลผ่านตัวเก็บประจุดังรูปที่ 2.9



รูปที่ 2.9 กระแสไฟฟ้าที่ไหลผ่านตัวเก็บประจุ

$$|\Delta Q| = C \Delta V_0 = I_0 \Delta t_{on} \quad (2.19)$$

$$I_0 = \frac{V_0}{R}$$

$$\Delta t_{on} = DT$$

$$\Delta V_0 = \frac{I_0 \Delta t_{on}}{C} = \frac{V_0 DT}{RC}$$

$$\frac{\Delta V_0}{V_0} = \frac{DT}{RC}$$

$$\frac{\Delta V_0}{V_0} = \frac{D}{RCf} \quad (2.20)$$

$$\frac{\Delta V_0}{V_0} = \frac{D}{RCf} \quad (2.21)$$

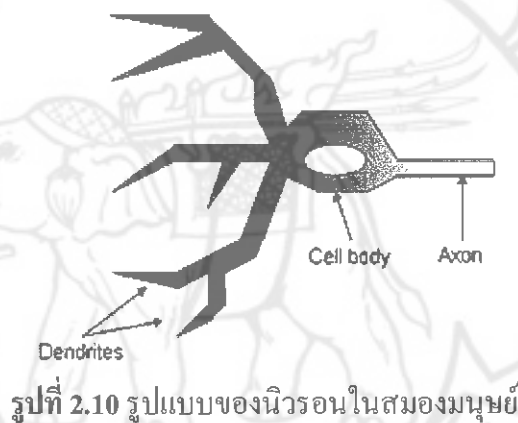
เมื่อต้องการจะลดอัตรากระแสก้อนลี่นของแรงดันไฟฟ้าด้านนอก จะทำได้โดยการลดค่า D ให้เข้าใกล้ศูนย์หรือการเพิ่มค่าโหลด หรือเพิ่มค่าของตัวเก็บประจุหรือเพิ่มค่าความถี่ในการสวิตช์ให้สูงขึ้น

2.3 วงจรโครงข่ายประสาทเทียม[3]

โครงข่ายประสาทเทียม (Artificial Neural Network) หรือที่มักจะเรียกว่า ข่ายงานประสาท (Neural Network หรือ Neural Net) คือโมเดลทางคณิตศาสตร์ เพื่อจำลองการทำงานของเครือข่ายประสาทในสมองมนุษย์ ด้วยวัตถุประสงค์ที่จะสร้างเครื่องมือซึ่งมีความสามารถในการเรียนรู้ การจำจำแนกรูป (Pattern Recognition) และการอุปมาณความรู้ (Knowledge Deduction) เช่นเดียวกับ

ความสามารถที่มีในสมองมนุษย์ แนวคิดเริ่มต้นของเทคนิคนี้ได้มาจากศึกษาข่ายงานไฟฟ้าชีวภาพ (Bioelectric Network) ในสมอง ซึ่งประกอบด้วย เซลล์ประสาท หรือ “นิวรอน” และ จุดประสาท ประสาท (Synapses) แต่ละเซลล์ประสาทประกอบด้วยปลายในการรับกระแสประสาท เรียกว่า “ ден “ (Dendrite) ซึ่งเป็น อินพุต และปลายในการส่งกระแสประสาทเรียกว่า “แอคชัน” (Axon) ซึ่ง เป็นเหมือนเอตพุตของเซลล์ เซลล์เหล่านี้ทำงานด้วยปฏิกิริยาไฟฟ้าเคมี เมื่อมีการกระตุ้นด้วยสิ่งเร้า ภายนอกหรือกระตุ้นด้วยเซลล์ด้วยกัน กระแสประสาทจะวิ่งผ่าน ден ไครท์เข้าสู่นิวเคลียลสซึ่งจะเป็นตัว ตัดสินว่าต้องการกระตุ้นเซลล์อื่น ๆ ต่อหรือไม่ ถ้ากระแสประสาทแรงพอ นิวเคลียลสก็จะกระตุ้นเซลล์อื่น ๆ ต่อไปผ่านทางแอคชันของมัน

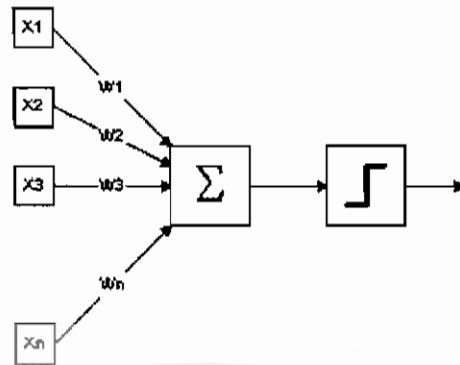
ตามโมเดลนี้ข่ายงานประสาทเกิดจากการเชื่อมต่อระหว่างเซลล์ประสาท จนเป็นเครือข่ายที่ ทำงานร่วมกัน



รูปที่ 2.10 รูปแบบของนิวรอนในสมองมนุษย์

2.3.1 โครงสร้าง

นักวิจัยส่วนใหญ่ในปัจจุบันเห็นตรงกันว่าข่ายงานประสาทเทียมมีโครงสร้างแตกต่างจาก ข่ายงานในสมอง แต่ก็ยังเหมือนสมอง ในแง่ที่ว่าข่ายงานประสาทเทียม คือการรวมกลุ่มแบบขนาดของ หน่วยประมวลผลอยู่ ๆ และการเชื่อมต่อที่เป็นส่วนสำคัญที่ทำให้เกิดศักยภาพของข่ายงาน เมื่อ พิจารณาขนาดแล้วสมองมีขนาดใหญ่กว่าข่ายงานประสาทเทียมอย่างมาก รวมทั้งเซลล์ประสาทยังมี ความซับซ้อนกว่าหน่วยอย่างของข่ายงาน อย่างไรก็ดีหน้าที่สำคัญของสมอง เช่น การเรียนรู้ยังคง สามารถจำลองขึ้นอย่างง่ายด้วยโครงข่ายประสาทนี้



รูปที่ 2.11 รูปแบบของนิวรอนในคอมพิวเตอร์

2.3.2 หลักการ

สำหรับในคอมพิวเตอร์นิวรอน ประกอบด้วยอินพุต และเอาต์พุตเหมือนกัน โดยจำลองให้อินพุตแต่ละอันมีค่าน้ำหนัก เป็นตัวกำหนดค่าน้ำหนักของอินพุต โดยนิวรอนแต่ละหน่วยจะมีค่าเริ่มต้น เป็นตัวกำหนดค่าค่าน้ำหนักร่วมของอินพุต ต้องมากขนาดไหนจึงจะสามารถส่งเอาต์พุตไปยังนิวรอน ตัวอื่นได้ เมื่อนำนิวรอนแต่ละหน่วยมาต่อ กันให้ทำงานร่วมกันการทำงานนี้ในทางตรรกะแล้วก็จะเหมือนกับปฏิกรรมคณิตศาสตร์ที่เกิดในสมอง เพียงแต่ในคอมพิวเตอร์ทุกอย่างเป็นตัวเลขเท่านั้นเอง

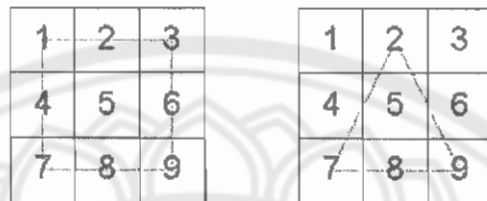
2.3.3 การทำงาน

การทำงานของโครงข่ายประสาทเทียมคือเมื่อมีอินพุตเข้ามาข้างโครงข่ายก็เออินพุตมาคุณกับน้ำหนักของแต่ละขา ผลที่ได้จากอินพุตทุก ๆ ขาของนิวรอน จะนำมารวมกันแล้วก็เอามาเทียบกับ ค่าเริ่มต้นที่กำหนดไว้ ถ้าผลรวมมีค่ามากกว่าค่าเริ่มต้น แล้วนิวรอน ก็จะส่งเอาต์พุตออกไป เอาต์พุต นี้ก็จะถูกส่งไปยังอินพุตของนิวรอน อื่น ๆ ที่เชื่อมกันในโครงข่าย ถ้าค่าน้อยกว่าค่าเริ่มต้น ก็จะไม่เกิดเอาต์พุต เกี่ยวกับกันมาได้ดังนี้

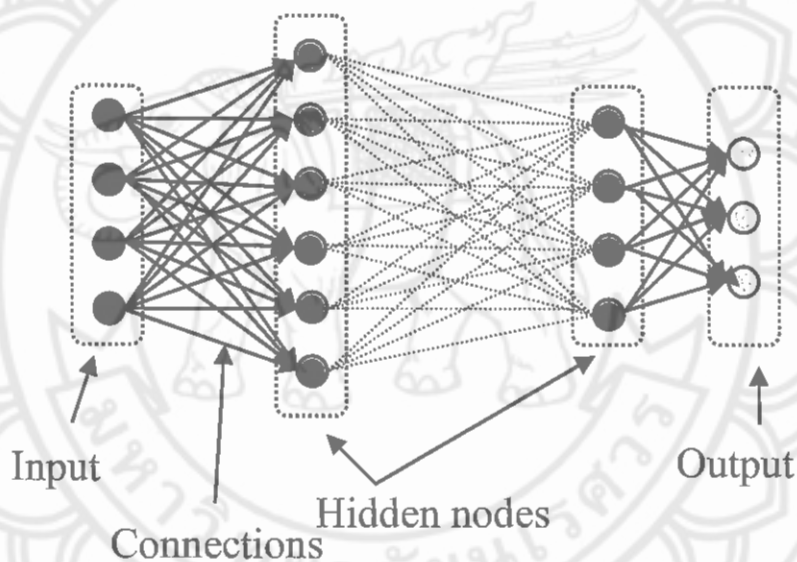
```
if (sum(input * weight) > threshold) then output
```

สิ่งสำคัญคือเราต้องทราบค่าน้ำหนัก และค่าเริ่มต้นสำหรับสิ่งที่เราต้องการเพื่อให้คอมพิวเตอร์รู้จ้า ซึ่งเป็นค่าที่ไม่แน่นอน แต่สามารถกำหนดให้คอมพิวเตอร์ปรับค่าเหล่านี้ได้โดยการสอนให้มันรู้ขั้นตอน ของสิ่งที่เราต้องการให้มันรู้จ้า เรียกว่า "back propagation" ซึ่งเป็นกระบวนการเรียนกลับของกรณีจัด การฝึก feed-forward neural networks จะมีการใช้อัลกอริทึมแบบ back-propagation เพื่อใช้ในการปรับปรุงน้ำหนักคะแนนของเครือข่าย หลังจากใส่รูปแบบข้อมูลสำหรับฝึกให้แก่เครือข่ายในแต่ละครั้งแล้ว ค่าที่ได้รับ (เอาต์พุต) จากเครือข่ายจะถูกนำไปเปรียบเทียบกับผลที่คาดหวัง แล้วทำการคำนวณหาค่าความผิดพลาด ซึ่งค่าความผิดพลาดนี้จะถูกส่งกลับเข้าสู่เครือข่ายเพื่อใช้แก้ไขค่าน้ำหนักคะแนนต่อไป

อย่างเช่นจะรู้ว่าปานเหลี่ยม กับรูปสี่เหลี่ยม เราอาจแบ่งอินพุตเป็น 9 ตัวคือเป็นตาราง 3×3 ถ้าเราดูรูปสี่เหลี่ยมหรือสามเหลี่ยมให้เต็มกรอบ 3×3 พอดี สี่เหลี่ยมจะมีส่วนของขอบอยู่ในช่อง 1, 2, 3, 4, 6, 7, 8, 9 ก็สมนติให้ค่าน้ำหนักตรงช่องเหล่านี้มีค่ามาก ๆ ถ้ามีเส้นเชื่อมผ่านกีเอามาดูแล้วกับค่าน้ำหนักแล้วก็เอามารวมกัน ตั้งค่าให้พอเหมาะสมก็จะสามารถแยกแยะระหว่างสี่เหลี่ยมกับสามเหลี่ยมได้ ซึ่งนี่คือหลักการของโครงข่ายประสาทเทียม



รูปที่ 2.12 แสดงการแยกแยะระหว่างสี่เหลี่ยมและสามเหลี่ยม



รูปที่ 2.13 โครงสร้างของ Neural Network

Output ของแต่ละ Node

$$\begin{aligned}y_i &= f(w_i^1 x_1 + w_i^2 x_2 + w_i^3 x_3 + \dots + w_i^m x_m) \\&= f(\sum_j w_i^j x_j)\end{aligned}$$

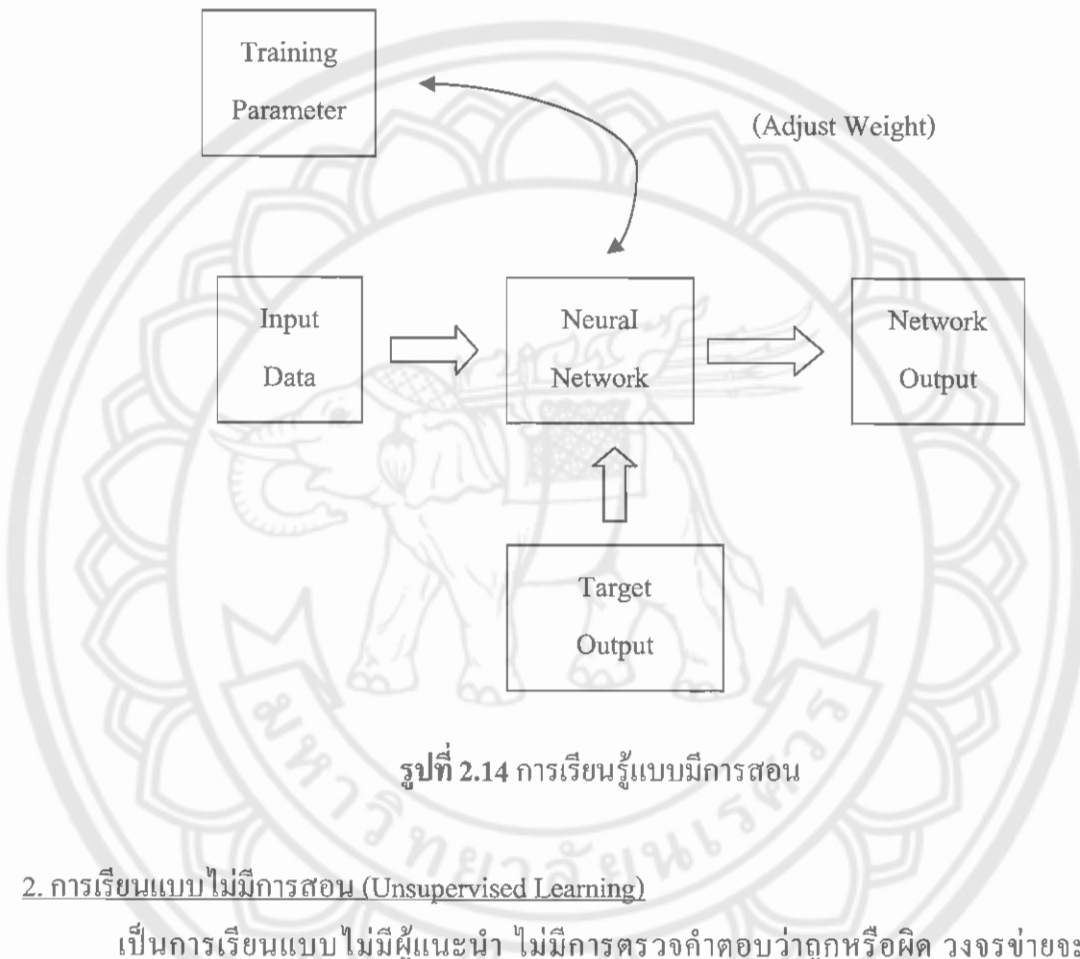
เมื่อ $X_j = \text{input}$ จากโนนคื่น ๆ

$w_i^j = \text{ค่าน้ำหนักของแต่ละแขน}$

2.3.4 การเรียนรู้สำหรับ Neural Network

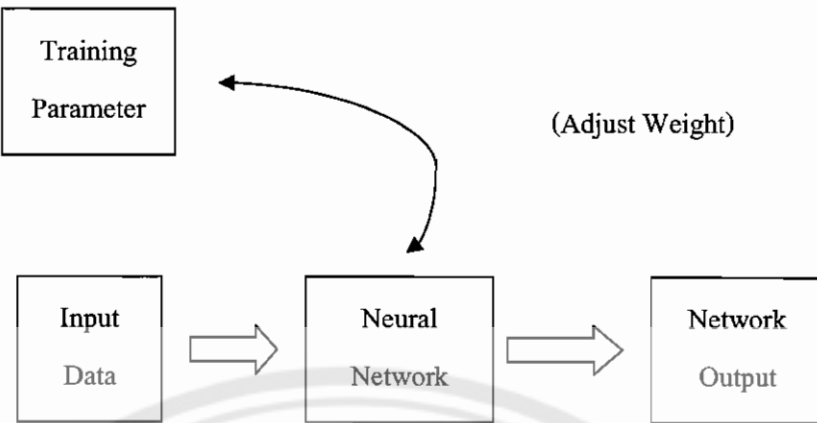
1. การเรียนแบบมีการสอน (Supervised Learning)

เป็นการเรียนแบบที่มีการตรวจคำตอบเพื่อให้วงจรข่ายปรับตัว ชุดข้อมูลที่ใช้สอนจะระบุว่าคำตอบใดถูกหรือไม่ ถ้าตอบไม่ถูก วงจรข่ายก็จะปรับตัวเองเพื่อให้ได้คำตอบที่ดีขึ้น (เปรียบเทียบกับคน เนื่องจากการสอนนักเรียนโดยมีครูผู้สอนคอยแนะนำ)



2. การเรียนแบบไม่มีการสอน (Unsupervised Learning)

เป็นการเรียนแบบไม่มีผู้แนะนำ ไม่มีการตรวจคำตอบว่าถูกหรือผิด วงจรข่ายจะจัดเรียงโครงสร้างด้วยตัวเองตามลักษณะของข้อมูล ผลลัพธ์ที่ได้ วงจรข่ายจะสามารถจัดหมวดหมู่ของข้อมูลได้ (เปรียบเทียบกับคน เช่น การที่เราสามารถแยกแยะพันธุ์พืช พันธุ์สัตว์ตามลักษณะรูปร่างของมันได้เอง โดยไม่มีการสอน)

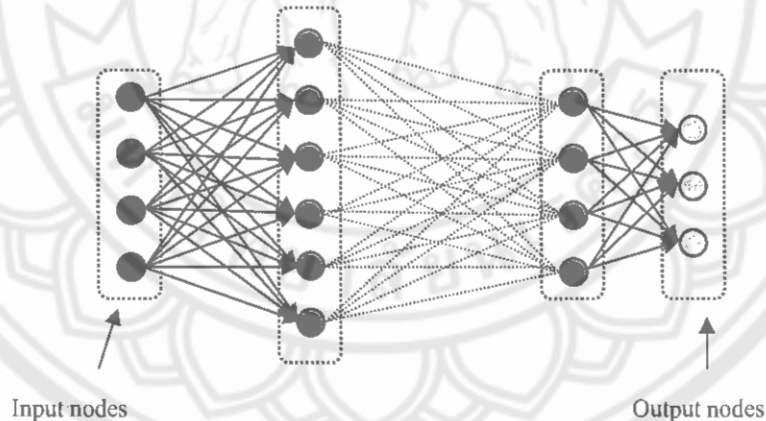


รูปที่ 2.15 การเรียนรู้แบบไม่มีการสอน

2.3.5 Network Architecture

1. Feed Forward Network

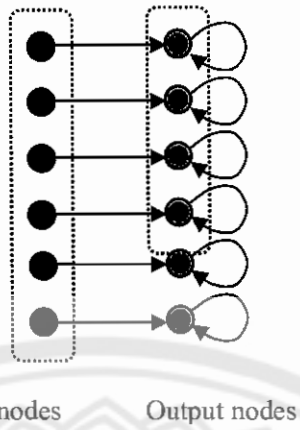
ข้อมูลที่ประมวลผลในวงจรข่ายจะถูกส่งไปในทิศทางเดียวจากอินพุตโหนดส่างต่อกันเรื่อยๆ จนถึงเอาต์พุตโหนดโดยไม่มีการย้อนกลับของข้อมูล หรือแม้แต่โหนด ในเลเยอร์ (Layer) เดียวกันก็ไม่มีการเข้ามต่อ กัน



รูปที่ 2.16 สถาปัตยกรรมของ Feed forward network

2. Feedback Network

ข้อมูลที่ประมวลผลในวงจรข่าย จะมีการป้อนกลับเข้าไปยังวงจรข่ายหลาย ๆ ครั้ง จนกระทั่งได้คำตอบของมัน (บางทีเรียกว่า Recurrent Network)



รูปที่ 2.17 สถาปัตยกรรมของ Feedback Network

3. Network Layer

พื้นฐานสามัญที่สำคัญของ Artificial Neural Network ประกอบไปด้วย 3 ส่วน หรือ 3 layer ได้แก่ ชั้นของยูนิตอินพุตที่ถูกเชื่อมต่อกับชั้นของ ฮิดเด้นยูนิต (hidden units) ซึ่งเชื่อมต่อกับชั้นของยูนิตเอ้าต์พุต

- การทำงานของยูนิตอินพุตจะทำหน้าที่แทนส่วนของข้อมูลคิบที่จะถูกป้อนเข้าสู่เครือข่าย
- การทำงานของแต่ละ ฮิดเด้นยูนิตจะถูกกำหนด โดยการทำงานของยูนิตอินพุตจะกำหนดค่าสำหรับ บนความสัมพันธ์ระหว่างยูนิตอินพุตและ ฮิดเด้นยูนิต
- พฤติกรรมการทำงานของ ยูนิตเอ้าต์พุตจะขึ้นอยู่กับการทำงานของ ฮิดเด้นยูนิตและค่าน้ำหนักระหว่าง ฮิดเด้นยูนิตและ ยูนิตเอ้าต์พุต

ประเภทของเครือข่ายนี้เป็นที่น่าสนใจ เพราะความสามารถในการแทนค่าให้แก่ยูนิตอินพุต ได้อย่างอิสระ ค่าน้ำหนักระหว่าง ยูนิตอินพุตและ ฮิดเด้นยูนิตจะถูกกำหนดเมื่อ ฮิดเด้นยูนิตกำลังทำงาน ขณะนั้นเวลาที่แก้ไขค่าน้ำหนัก ฮิดเด้นยูนิตจะสามารถเลือกว่าจะไร้ค่าที่เราแทนเข้ามา

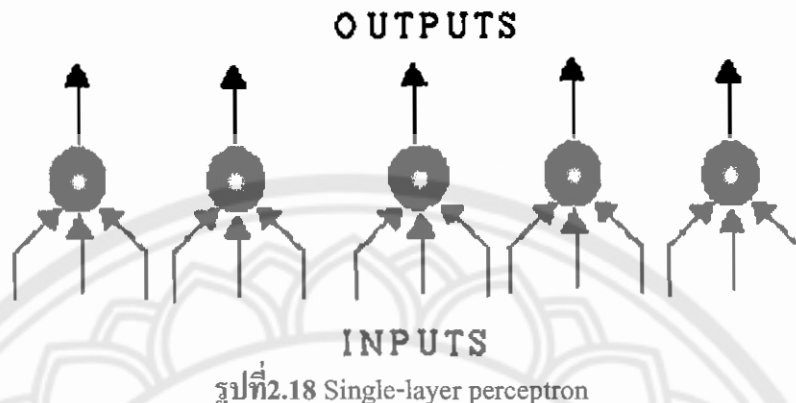
Architecture of Layer สามารถจำแนกสถาปัตยกรรมของเลเยอร์ ออกเป็น 2 ประเภทคือ Single-layer และ Multi-layer

I. เครือข่ายไปรษณีย์ที่ประกอบด้วยชั้นเพียงชั้นเดียว (Single-layer perceptron) จำนวน อินพุตโหนด ขึ้นอยู่กับจำนวน components ของข้อมูลอินพุตและ Activation Function ขึ้นอยู่กับ ลักษณะข้อมูลของเอ้าต์พุต เช่น ถ้าเอ้าต์พุตที่ต้องการเป็น “ใช่” หรือ “ไม่ใช่” เราจะต้องใช้ Threshold Function

$$f(x) = \begin{cases} 1 & \text{if } x \geq T \\ 0 & \text{if } x < T \end{cases} \quad T = \text{Threshold level}$$

หรือ ถ้าเอาต์พุตเป็นค่าตัวเลขที่ต่อเนื่อง เราต้องใช้ฟังก์ชันต่อเนื่องเช่น Sigmoid Function

$$f(x) = \frac{1}{1 + e^{-\alpha x}}$$



รูปที่ 2.18 Single-layer perceptron

2. เครื่อข่ายไปรษณีย์ประกอบด้วยหลายชั้น (Multi-layer perceptron) โดยในแต่ละชั้น จะประกอบด้วยโหนดหรือประเพริบได้กับตัวเซลล์ประสาท ค่าน้ำหนักของเส้นที่เชื่อมต่อระหว่างโหนดของแต่ละชั้น (เมตริก W) ค่า Bias Vector (b) และค่า Output Vector (a) โดย m เป็นตัวเลขของลำดับชั้นกำกับไว้ด้านบน เมื่อ p เป็น Input Vector การคำนวณค่าเอ้าต์พุตสำหรับเครื่อข่ายไปรษณีย์ที่มี M ชั้น จะเป็นดังสมการ

$$a^{m+1} = f^{m+1}(W^{m+1}a^m + b^{m+1})$$

เมื่อ $m = 0, 1, 2, \dots, M-1$

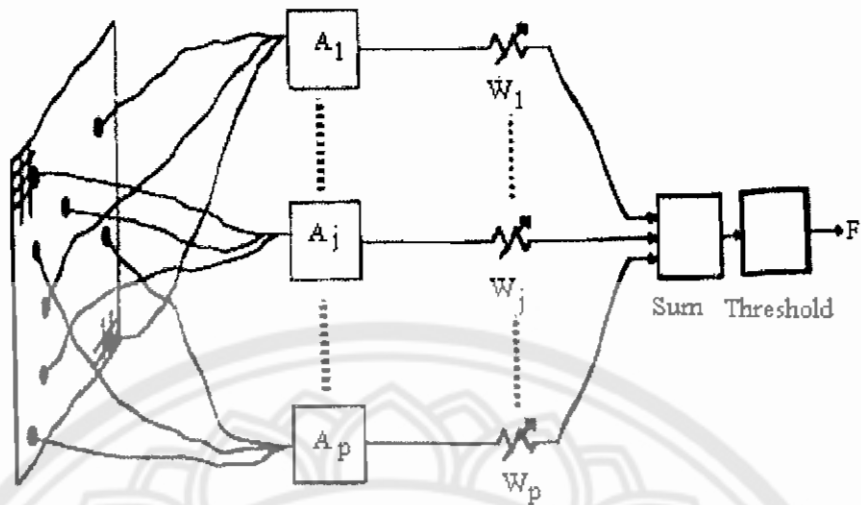
$$a^0 = p$$

$$a = a^m$$

และ f เป็น Transfer Function

4. Perceptrons

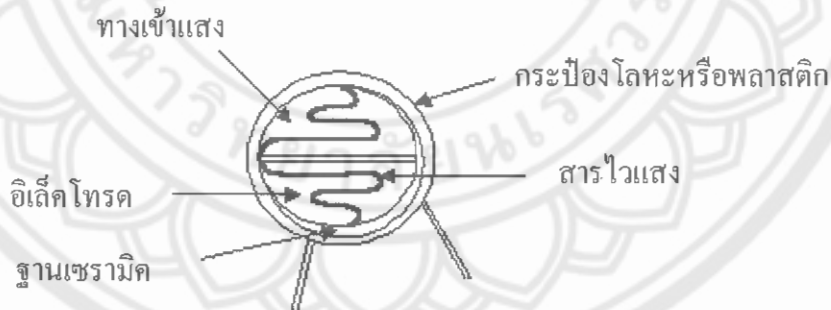
ในยุค 60s งานส่วนใหญ่ของข่ายงานได้รับการวิพากษ์วิจารณ์ในหัวข้อเรื่อง ซึ่งกันพบโดย Frank Rosenblatt โดย Perceptron ซึ่งกล้ายเป็น MCP Model (Neuron with Weighted Inputs) พร้อมกับส่วนต่อเติม จากรูปในส่วน A1, A2, Aj, Ap เรียกว่า Association Units การทำงานเพื่อกัดเลือกสิ่งที่แตกต่างออกจากรูปภาพที่รับเข้าไป โดย Perceptrons สามารถตัดออกความคิดพื้นฐานภายในของสัตว์เลี้ยงลูกด้วยนม หลัก ๆ แล้วจะใช้ในรูปแบบ Recognition และสามารถขยายให้มีความสามารถสูงกว่านี้



รูปที่ 2.19 โครงสร้างของ Perceptions

2.4 ตัวต้านทานไวแสง[4]

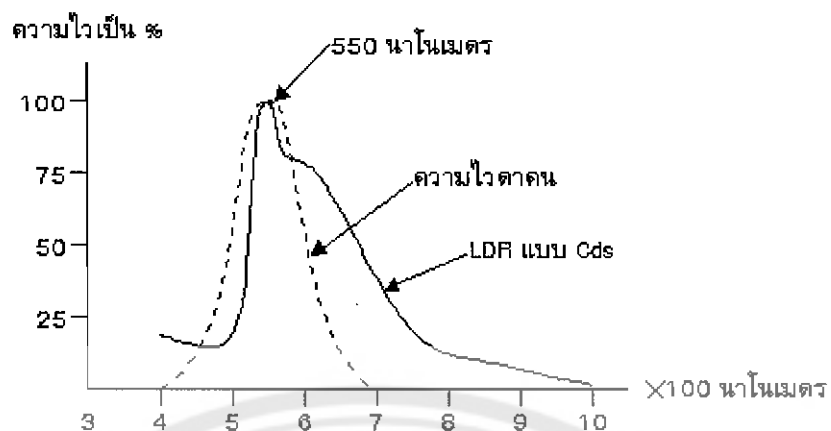
ตัวต้านทานไวแสง (Light Independent Resistor) หรือเซนเซอร์แสง (LDR) ทำมาจากสารแคดเมียมซัลไฟด์ (CdS) หรือแคดเมียมซีลีไนด์ ($CdSe$) ซึ่งเป็นสารประกอบชนิดกึ่งตัวนำมica บนแผ่นเซรามิกที่ใช้เป็นฐานรอง แล้วต่อขาจากสารที่粘住 เอาไว้ก็สามารถดึงโครงสร้างในรูป 2.19



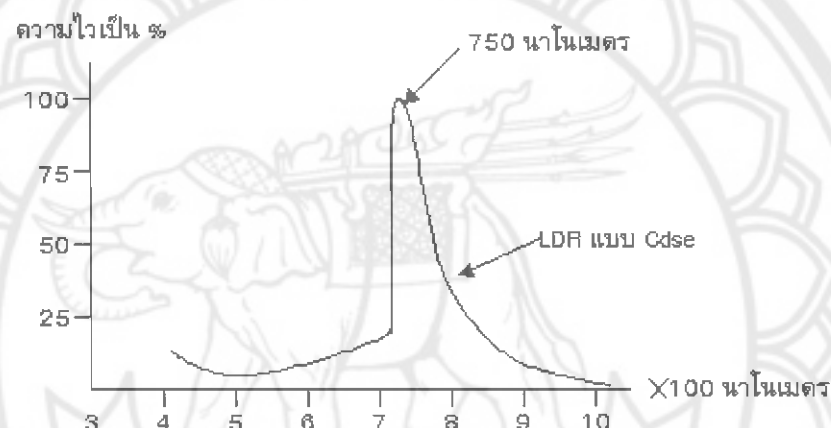
รูปที่ 2.20 โครงสร้างของเซนเซอร์แสง

2.4.1 คุณสมบัติทางแสง

เซนเซอร์แสงไวต่อแสงในช่วงคลื่น 400-1000 นาโนเมตร (1 นาโนเมตร = 10^{-9} เมตร) ซึ่งครอบคลุมช่วงคลื่นที่ไวต่อ目にคน (400-700 นาโนเมตร) นั่นคือ เซนเซอร์แสงไวต่อแสงอาทิตย์ และแสงจากหลอดไฟ หรือหลอดเรืองแสง และยังไวต่อแสงอินฟราเรดที่ตามองไม่เห็นอีกด้วย (ช่วงคลื่นตั้งแต่ 700 นาโนเมตรขึ้นไป)



รูปที่ 2.21 กราฟแสดงความไวของเซนเซอร์แสงที่ความยาวคลื่นต่าง ๆ กัน เทียบกับตาคน



รูปที่ 2.21 (ต่อ)

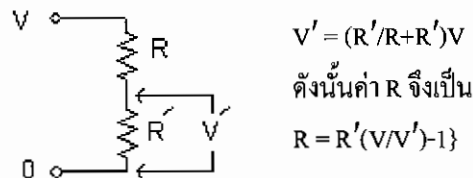
2.4.2 คุณสมบัติทางไฟฟ้า

อัตราส่วนของความต้านทานเซนเซอร์แสงขณะที่ไม่มีแสงกับในขณะที่มีแสง อาจมีค่าต่างกัน 100, 1,000, 10,000 เท่า แล้วแต่แบบหรือรุ่น ความต้านทานในขณะไม่มีแสงจะอยู่ในช่วงตั้งแต่ 0.5 MW ขึ้นไป และความต้านทานขณะที่มีแสงจะอยู่ในช่วงตั้งแต่ 10 kW ลงมาทันแรงดันสูงสุดได้มากกว่า 100 V และทนกำลังไฟได้ประมาณ 50 mW

2.4.3 การวัดความต้านทานของเซนเซอร์แสง

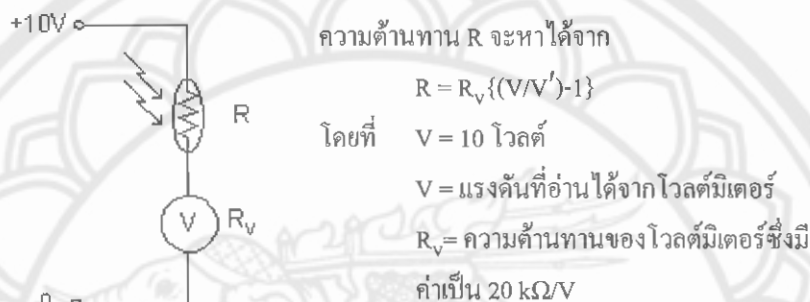
เนื่องจากเซนเซอร์แสงทนกำลังไฟฟ้าได้เพียงประมาณ 50 mW ดังนั้นถ้าเราใช้โอล์ฟ์มิเดอร์ วัดความต้านทานของเซนเซอร์แสงอาจทำความเสียหายให้กับเซนเซอร์แสงได้ เราอาจวัดความต้านทานของเซนเซอร์แสงได้โดยอ้อมดังนี้

โดยอาศัยวงจรแบ่งแรงดัน เราได้ความสัมพันธ์ระหว่าง V และ V' ดังนี้



รูปที่ 2.22 วงจรแบ่งแรงดัน

เราสามารถใช้หลักการนี้วัดความต้านทานของเซนเซอร์แสงได้ โดยการต่อเซนเซอร์แสงอนุกรมกับโวลต์มิเตอร์แล้วต่อ กับแหล่งไฟ ดังรูป 2.22



รูปที่ 2.23 ตัวอย่างวงจรแบ่งแรงดัน

ตั้งนั้นถ้าตั้งสเกลของ โวลต์มิเตอร์ไว้ที่ 10 V ความต้านทานของ โวลต์มิเตอร์จะเป็น

$$(10)(20K) = 200 kW$$

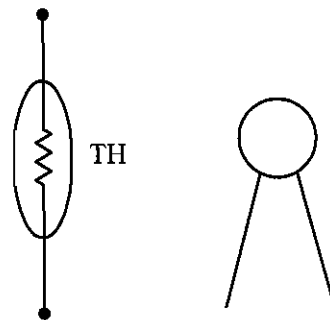
หรือ ตั้งสเกล 5 V จะได้ R_v เป็น

$$(5)(20K) = 100 kW$$

2.5 เทอร์มิสเตอร์[5]

2.5.1 โครงสร้างและสัญลักษณ์ของเทอร์มิสเตอร์

เทอร์มิสเตอร์น่าจะคำว่า Thermo + Resistor คำว่า Thermo นั้นหมายถึง ความร้อน ดังนั้น เทอร์มิสเตอร์จึงเรียกอีกอย่างหนึ่งว่า “ตัวต้านทานความร้อน” (Thermal Resistor) หรือเซนเซอร์วัดอุณหภูมิ เป็นอุปกรณ์สารกึ่งตัวนำที่ทำมาจากโลหะออกไซด์ เช่น แมงกานีส, นิกเกิล, โคบล็อก, ทองแดงและยูเรเนียม เป็นต้น โดยสารเหล่านี้จะมีความไวต่อการเปลี่ยนแปลงของอุณหภูมิ ดังนั้น เซนเซอร์วัดอุณหภูมิจึงมีคุณสมบัติที่เปลี่ยนแปลงค่าความต้านทานตามอุณหภูมิโดยใช้ตัวย่อ “TH”

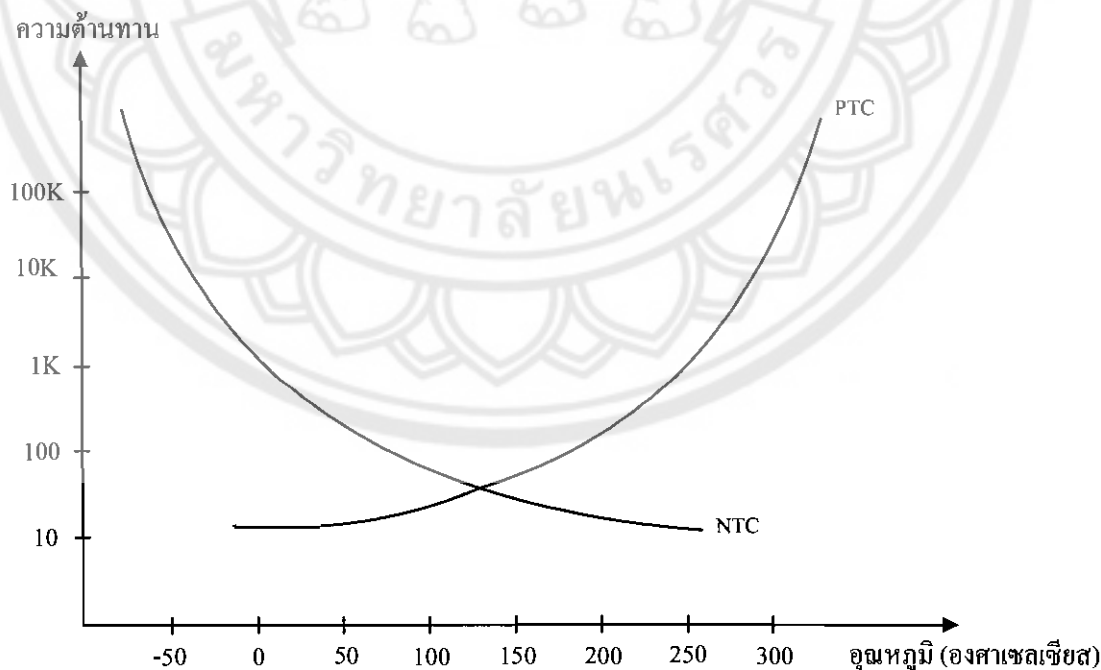


รูปที่ 2.24 สัญลักษณ์และรูปร่างของเซนเซอร์วัดอุณหภูมิ

เซนเซอร์วัดอุณหภูมิ โดยทั่วไปจะมีลักษณะเป็นเม็ดลูกปัดขนาดเล็ก ๆ จนถึงขนาด 1 นิ้ว และอีกแบบจะเป็นแบบแท่งยาวประมาณ 1/4 – 2 นิ้ว ส่วนค่าความต้านทานของเซนเซอร์วัดอุณหภูมิ นั้นจะมีค่าโดยประมาณอยู่ในช่วง

2.5.2 ชนิดของเซนเซอร์อุณหภูมิ

1. NTC (Negative Temperature Coefficient) เป็นเซนเซอร์วัดอุณหภูมิ แบบที่ค่าความต้านทานจะลดลงเมื่ออุณหภูมิสูงขึ้น
2. PTC (Positive Temperature Coefficient) เป็นเซนเซอร์วัดอุณหภูมิ แบบที่ค่าความต้านทานจะเพิ่มขึ้นเมื่ออุณหภูมิสูงขึ้น



รูปที่ 2.25 แสดงกราฟคุณสมบติของเทอร์มิสเตอร์ชนิด NTC และ PTC

2.6 ไมโครคอนโทรลเลอร์ [6]

ไมโครคอนโทรลเลอร์เป็นอุปกรณ์ไอซี (IC: Integrated Circuit) ที่สามารถเขียนโปรแกรมการทำงานได้ชั้นต่อนสามารถรับข้อมูลในรูปสัญญาณดิจิตอลเข้าไปทำการประมวลผลแล้วส่งผลข้อมูลดิจิตอล出去 เพื่อนำไปใช้งานตามที่ต้องการ ได้ ไมโครคอนโทรลเลอร์เป็นไมโครprocessorเซอร์ชนิคหนึ่ง เช่นเดียวกับหน่วยประมวลผลกลาง (CPU: Central Processing Unit) ที่ใช้ในคอมพิวเตอร์ แต่ได้รับการพัฒนารวมวงจรที่จำเป็นบางอย่างเข้าไปในตัวเดียวกัน และเพิ่มวงจรบางอย่างเข้าไปเพื่อให้มีความสามารถเหมาะสมกับการใช้ในงานควบคุม ไมโครคอนโทรลเลอร์มีหลายยี่ห้อ หลายคราภูมิ และหลายเบอร์ด้วยกัน ซึ่งแต่ละเบอร์ก็จะมีโครงสร้างภายในและความสามารถในการทำงานที่แตกต่างกัน ไมโครคอนโทรลเลอร์ที่นิยมใช้งานคือ MCH51, PIC และ AVR เป็นต้น

ไมโครคอนโทรลเลอร์ในคราภูมิ PIC สามารถแบ่งออกตามชนิดของ PROGRAM MEMORY ได้แบบ 3 แบบคือ

1. OTP (One Time Programmable) เป็นชิพที่สามารถทำการลงโปรแกรมได้เพียงแค่ครั้งเดียว เท่านั้น หลังจากชิพได้ถูกลงโปรแกรมไปแล้วจะไม่สามารถโปรแกรมเข้าไปใหม่ได้อีก ดังนั้นชิพประเภทนี้จะนิยมใช้หลังจากได้พัฒนาโปรแกรมจนกระทั้งแก้ไขขุดบกพร่องต่าง ๆ ในโปรแกรมแล้ว จะมีตัวอักษร C แสดงบนตัวไมโครคอนโทรลเลอร์ เช่น 16C84 และ 16C74 เป็นต้น

2. EPROM (Erasable Programmable Read Only Memory) เป็นชิพที่สามารถเขียนโปรแกรม เข้าไปแล้วโปรแกรมใหม่ด้วยการลบโปรแกรมเดิม โดยใช้แสงอัลตร้าไวโอเลต ส่องผ่านเข้าไปยังชิพประมาณ 5 – 10 นาที ดังนั้นที่ด้านบนของชิพจะมีกรอบกระดาษเพื่อให้แสงอัลตร้าไวโอเลตสามารถส่อง ผ่านเข้าไปในตัวชิพได้ แต่ก็มีจำนวนครั้งในการลบโปรแกรม เมื่อลบโปรแกรมด้วยแสงอัลตร้าไวโอเลตมาก ๆ จะเกิดอาการด้านทำให้ไม่สามารถโปรแกรมได้อีก จะมีตัวอักษร JW แสดงบนตัวไมโครคอนโทรลเลอร์ หรือมีกรอบกระดาษอยู่บนตัวไมโครคอนโทรลเลอร์

3. EEPROM / Flash (Electrically Erasable Programmable Read Only Memory) เป็นชิพที่สามารถอ่านหรือเขียนข้อมูลด้วยสัญญาณทางไฟฟ้า ใช้เวลาในการลบข้อมูลไม่กี่วินาที สามารถลบและเขียนใหม่ได้หลายพันครั้ง มีตัวอักษร F แสดงบนตัวไมโครคอนโทรลเลอร์ เช่น 16F84 และ 16F877 เป็นต้น

บทที่ 3

วิธีการดำเนินงาน

วิธีการดำเนินการหาจุดที่มีกำลังไฟฟ้าสูงสุดของแพงโซล่าเซลล์โดยใช้โครงข่ายประสาทเทียมเพื่อให้ได้จุดที่มีกำลังไฟฟ้าสูงสุด ตามคุณสมบัติของแพงโซล่าเซลล์โดยใช้ในโครงคอนโทรลเลอร์ PIC 18F458 ผ่านเซนเซอร์แสงและเซนเซอร์วัดอุณหภูมิ เป็นตัวประมวลผล ให้กับวงจรบูสต์คอนเวอร์เตอร์ วิธีการดำเนินงาน มี 5 ส่วนหลัก คือ ศึกษาข้อมูล ออกแบบและทำชิ้นงาน เก็บข้อมูลแพงโซล่าเซลล์และเก็บโปรแกรมโครงข่ายประสาท ทดสอบและผลการทดสอบ และรวบรวมข้อมูลทั้งหมดเข้ารูปเป็นรายงาน

3.1 ศึกษาข้อมูล

ศึกษาพฤติกรรมของแพงโซล่าเซลล์ว่า อุณหภูมิและความเข้มแสงมีผลต่อการผลิตกำลังไฟฟ้าซึ่งกำลังไฟฟ้าที่แพงโซล่าเซลล์ผลิต ได้จะแปรผันไปตามสภาพแวดล้อม ดังนั้นการนำไปใช้งานจริงจะไม่สามารถควบคุมสภาพแวดล้อมได้ เพราะฉะนั้นกู้นักผู้จัดทำโครงงานจึงได้นำโครงข่ายประสาทเทียมมาประยุกต์ใช้ร่วมกับวงจรบูสต์คอนเวอร์เตอร์เพื่อเพิ่มประสิทธิภาพให้ได้กำลังไฟฟ้าสูงสุดของแพงโซล่าเซลล์ที่ผลิตได้

กลุ่มผู้จัดทำโครงงาน จึงได้ทำการเก็บข้อมูลของแพงโซล่าเซลล์ที่วิทยาลัยพลังงานทดแทน มหาวิทยาลัยเรศวร ตั้งแต่เวลา 10.10 น. -12.00 น. ใช้เซนเซอร์แสง และเซนเซอร์วัดอุณหภูมิ วัดค่าในหน่วยโวลต์ และใช้ความต้านทานปรับค่าได้ต่อกันแพงโซล่าเซลล์ เพื่อหาจุดที่มีกำลังไฟฟ้าสูงสุด

กลุ่มผู้จัดทำโครงงานจึงได้ออกแบบวงจรบูสต์คอนเวอร์เตอร์เพื่อใช้ร่วมกับงานกับโครงข่ายประสาทเทียม เพื่อเพิ่มประสิทธิภาพของแพงโซล่าเซลล์ โดยใช้ในโครงคอนโทรลเลอร์ PIC18F458 เป็นตัวควบคุมวงจรบูสต์คอนเวอร์เตอร์ ตามที่แสดงไว้ในรูปที่ 3.1 ซึ่งมีหลักการทำงานของการควบคุมโดยสรุปดังนี้

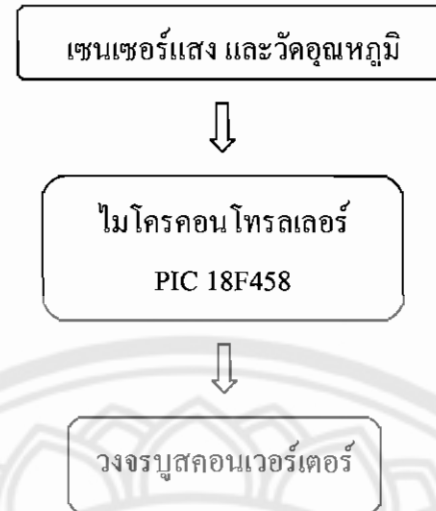
เมื่อเซนเซอร์แสงและเซนเซอร์วัดอุณหภูมิ รับข้อมูลในรูปสัญญาณอนาล็อกและทำการแปลงเป็นสัญญาณดิจิตอลเข้ามาที่ในโครงคอนโทรลเลอร์ PIC18F458 ต่อจากนั้นในโครงคอนโทรลเลอร์ PIC 18F458 จะประมวลผล สั่งควบคุมดิจิต์ไซเคิล (Duty Cycle) ให้กับวงจรบูสต์คอนเวอร์เตอร์ เพื่อให้วงจรบูสต์คอนเวอร์เตอร์ทำงาน สามารถศึกษาวิธีการใช้โครงข่ายประสาทเทียมคำนวณด้วยในโครงคอนโทรลเลอร์ ได้จาก ภาคผนวก ก

1434523X

ป.

๗๘๔๙

๒๕๘



รูปที่ 3.1 แผนภาพการทำงานของ โครงข่ายประสานเที่ยมและวงจรบูสต์คอนเวอร์เตอร์

3.2 การออกแบบชิ้นงานและการสร้างชิ้นงาน

ในการออกแบบและสร้างระบบการควบคุมวงจรบูสต์คอนเวอร์เตอร์ ด้วยคุณโทรศัพต์ด้วยไมโครคอนโทรลเลอร์ PIC 18F458 ผ่านเซนเซอร์แสง และวัดอุณหภูมิ ได้มีการออกแบบและสร้างชิ้นงานทั้งในส่วนฮาร์ดแวร์ (Hardware) และซอฟต์แวร์ (Software)

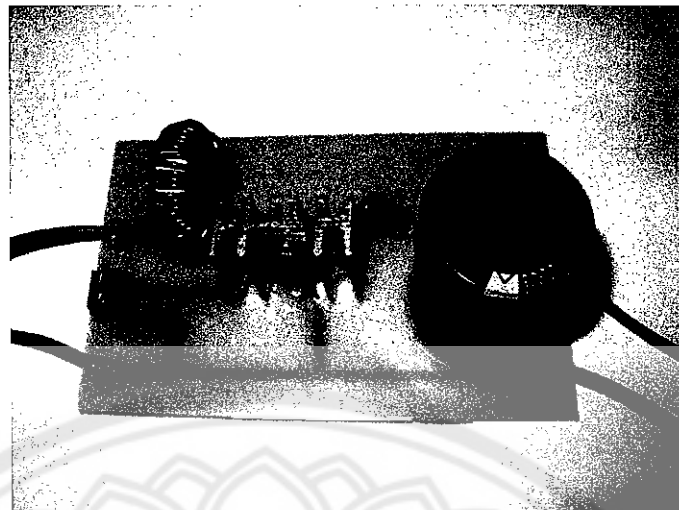
3.2.1 การออกแบบสร้างชิ้นงานในส่วนอาร์ดแวร์

ในส่วนฮาร์ดแวร์ กลุ่มผู้จัดทำได้ใช้วงจรบูสต์คอนเวอร์เป็นวงจรทบแรงดันไฟฟ้า ใช้มอสเฟต เป็นตัวสวิตซ์ซึ่ง เมื่อongจากแรงดันไฟฟ้าที่ออก PIC 18F458 ได้สูงสุด 5 โวลต์ ดังนั้นจึงต้องมีวงจรจุดชนวนโดยใช้อีซี IR 2110 เพื่อให้มอสเฟตทำงานได้ และด้วยคุณสมบัติของไมโครคอนโทรลเลอร์ แรงดันไฟฟ้าที่ได้จากแผงโซล่าเซลล์ เกิน 5 โวลต์ จึงต้องทำการลดแรงดันไฟฟ้าโดยใช้วงจรดิฟเฟอเรนเชียล (Differential Amplifier)

มีขั้นตอนการทำดังนี้

ออกแบบวงจรบูสต์คอนเวอร์เตอร์ดังรูปที่ 3.2 โดยใช้ค่าพารามิเตอร์ต่างๆ ดังนี้

- กำหนดให้ตัวเหนี่ยวนำ $L = 128 \text{ mH}$
- กำหนดให้ตัวเก็บประจุ $C = 470 \mu\text{F}$
- ไอซีมอสเฟต MTP70N06
- ไอโซด MR 821
- ความต้านทานโลดต 10 Ω 10 W



รูปที่ 3.2 วงจรบุสคอนเวอร์เตอร์

ออกแบบวงจรดูดซับวนนमอสเพค ดังรูปที่ 3.3 โดยใช้ค่าพารามิเตอร์ต่างๆ ดังนี้

- ไอซี IR 2110
- ตัวเก็บประจุ $C = 0.1 \mu\text{F}$ จำนวน 2 ตัว
- ความต้านทาน (R) = 33Ω



รูปที่ 3.3 วงจรดูดซับวนนமอสเพค

ออกแบบวงจรดิฟเฟอเรนเชียล ดังรูปที่ 3.4 โดยใช้ค่าพารามิเตอร์ต่างๆ ดังนี้

- ไอซี LF351N
- ความต้านทาน = $5 \text{ k}\Omega$ จำนวน 2 ตัว
- ความต้านทาน = $1 \text{ k}\Omega$ จำนวน 2 ตัว



รูปที่ 3.4 วงจรคิฟเฟอเรนเซียล

แบ่งแรงดันเซนเซอร์แสงดังรูปที่ 3.5 โดยใช้ค่าพารามิเตอร์ต่างๆ ดังนี้

- ความต้านทาน = 500Ω จำนวน 2 ตัว
- ความต้านทาน = 100Ω จำนวน 1 ตัว



รูปที่ 3.5 วงจรเซนเซอร์แสง

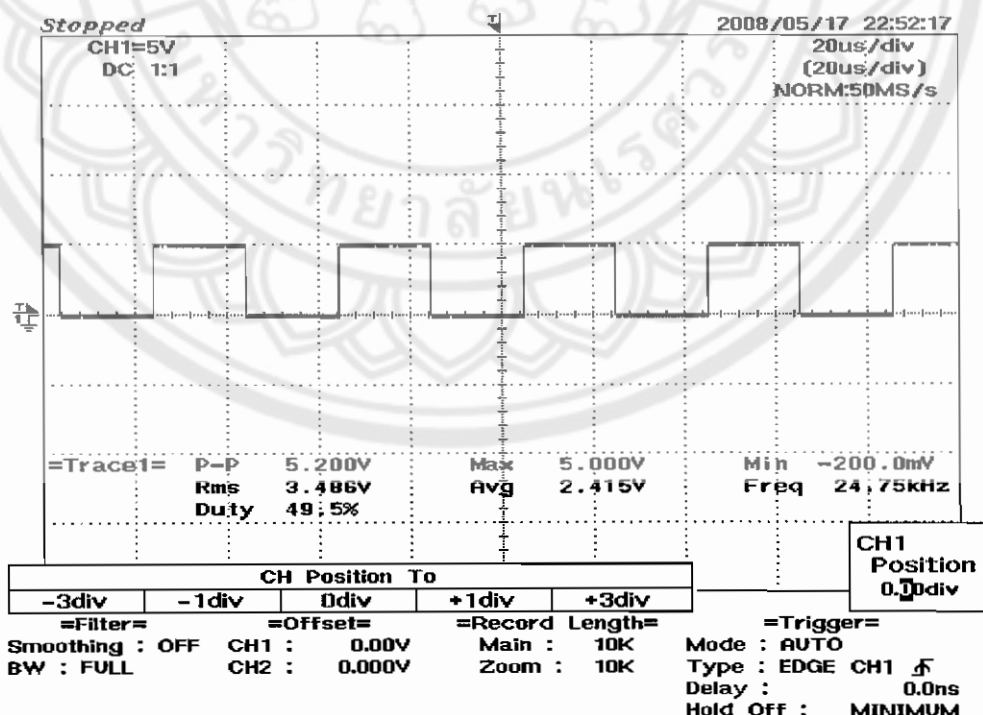
แบ่งแรงดันเซนเซอร์วัดอุณหภูมิ ดังรูปที่ 3.6 โดยใช้ค่าพารามิเตอร์ต่าง ๆ ดังนี้

- ความต้านทาน = 500Ω จำนวน 1 ตัว

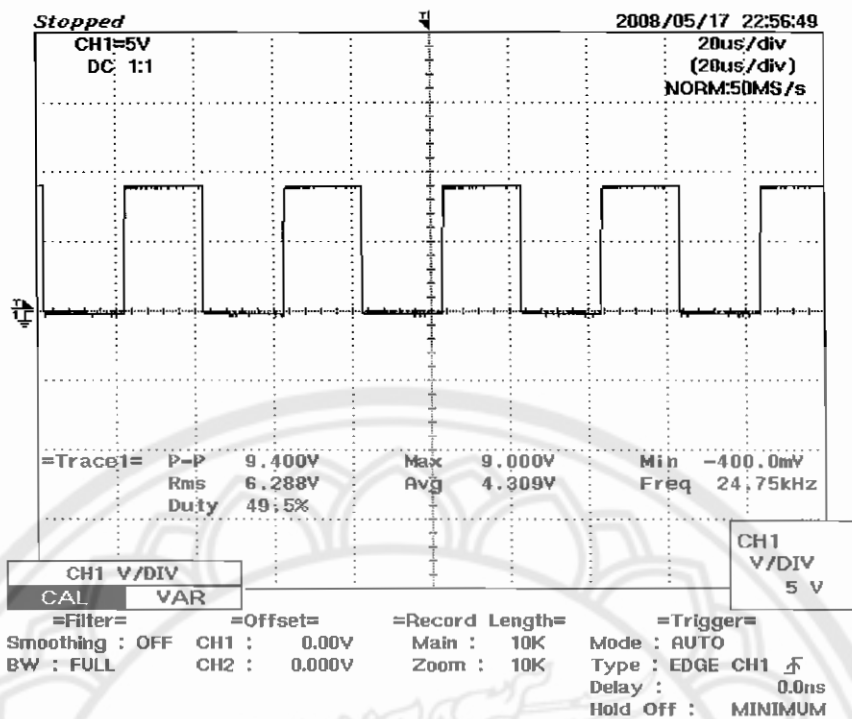


รูปที่ 3.6 วงจรเรซนเซอร์วัดอุณหภูมิ

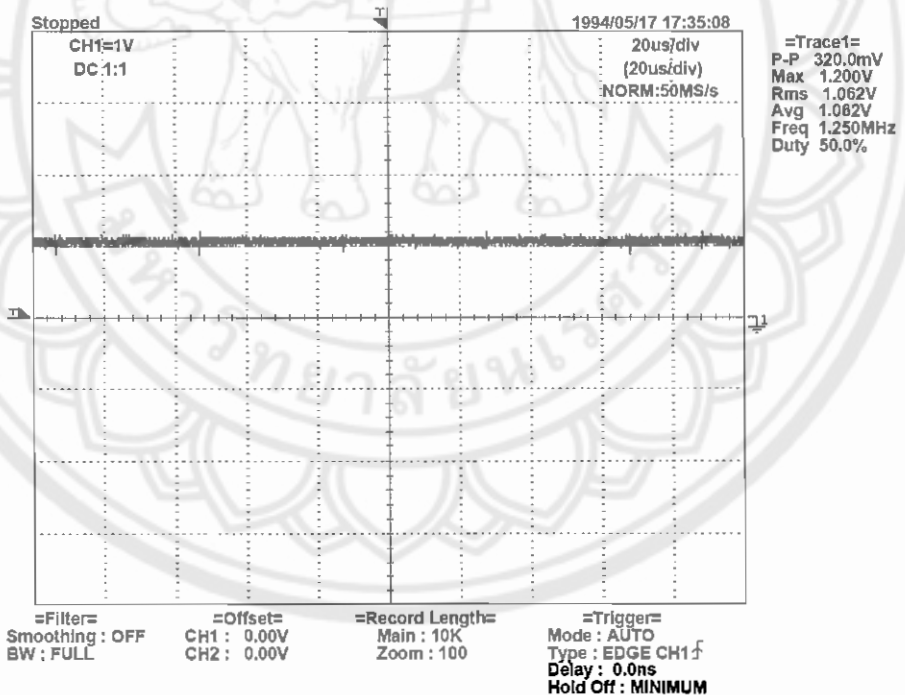
ทำการทดสอบวงจรรูสกอนเวอร์ ที่คิวตี้ไซเคิล 50% ใช้ความถี่ 25 kHz ดังรูปที่ 3.7 ผ่านไอซี IR 2110 เพื่อทำการขยายแรงดันไฟฟ้าจะได้สัญญาณพัลส์ ดังรูปที่ 3.8 เพื่อนำไปจุดชนวนมอเตอร์ของวงจรรูสกอนเวอร์เตอร์ จากนั้นป้อนแรงดันไฟฟ้ากระแสตรง 1 V เข้าแรงดันอินพุตดังรูปที่ 3.9 ของวงจรรูสกอนเวอร์เตอร์ จากการทดสอบวงจรวัดค่าแรงดันเอาต์พุตได้ 1.8 V ดังรูปที่ 3.10 จากทฤษฎีที่คิวตี้ไซเคิล 50% จะได้แรงดันไฟฟ้าเอาต์พุตเป็น 2 เท่าของแรงดันไฟฟ้าอินพุต นั่นคือ 2 V วงจรมีความคลาดเคลื่อน 10 เปอร์เซ็นต์



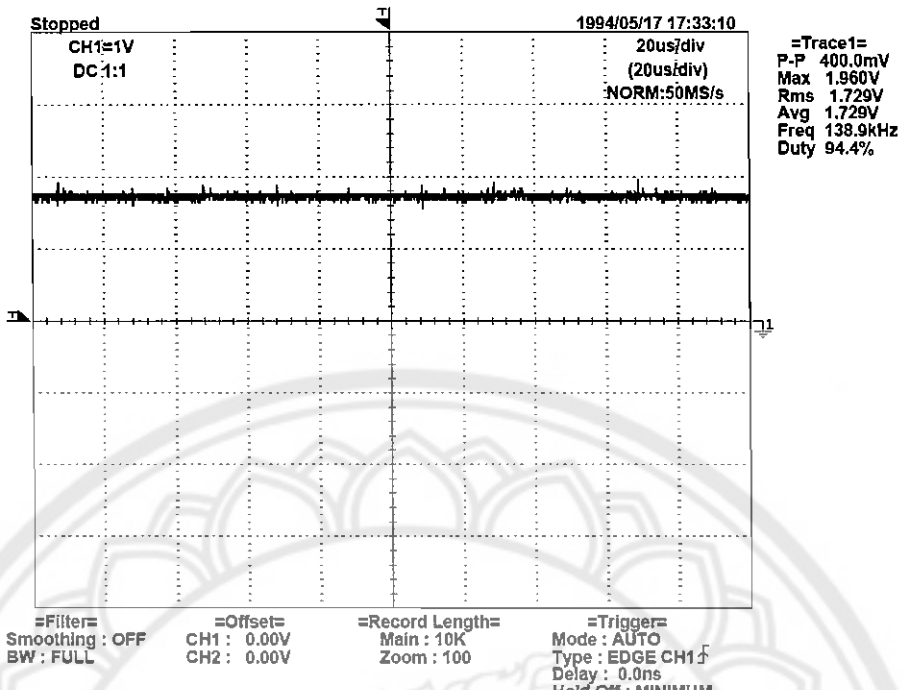
รูปที่ 3.7 สัญญาณพัลส์ 5 V คิวตี้ไซเคิล 50% ความถี่ 25 kHz



รูปที่ 3.8 สัญญาณพลส์ที่ได้หลังจากผ่านไอซี IR2110

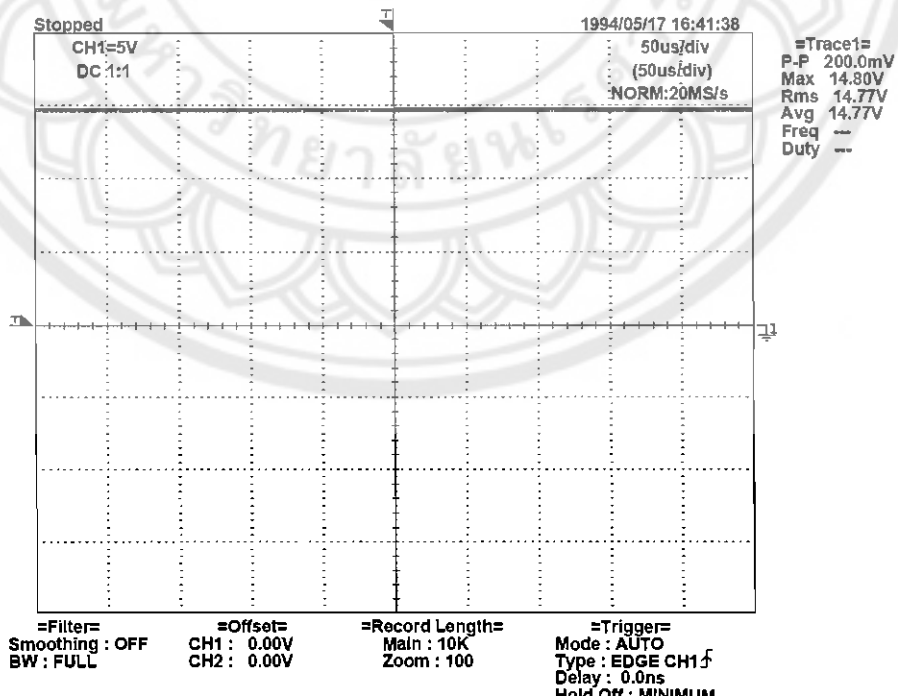


รูปที่ 3.9 ป้อนแรงดันไฟฟ้ากระแสตรงให้กับวงจรบูสต์คอนเวอร์เตอร์ 1 V

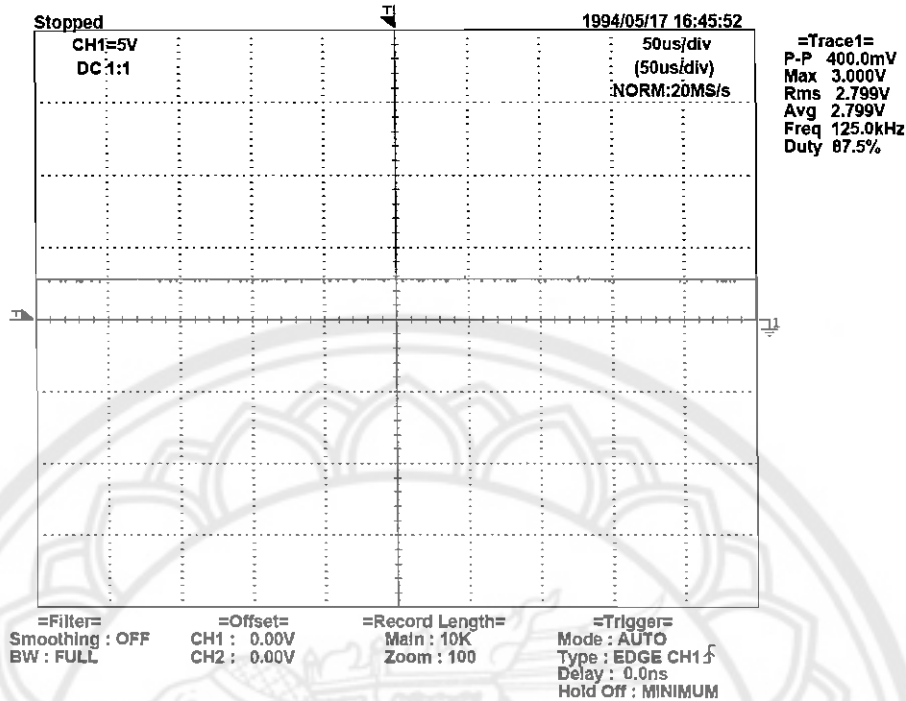


รูปที่ 3.10 แรงดันเอาต์พุตจากวงจรบูสต์คอนเวอร์เตอร์ ได้ 1.8 V

ทำการทดสอบวงจรดิฟเพอเรนเซียล แรงดันไฟฟ้าที่ได้ลดลง 5 เท่าหรือไม่ โดยป้อนแรงดันไฟฟ้ากระแสตรง 15 V ดังรูปที่ 3.11 แรงดันไฟฟ้าเอาต์พุต ที่ได้ 2.98 V ดังรูปที่ 3.11 เพราะฉะนั้น สามารถนำงจrn์ไปใช้งานได้



รูปที่ 3.11 ป้อนแรงดันอินพุตไฟฟ้ากระแสตรง 15 V เข้าวงจรดิฟเพอเรนเซียล



รูปที่ 3.12 แรงดันไฟฟ้าเอตเต็มจากวงจรคิฟเฟอเรนเชียล 2.98 V

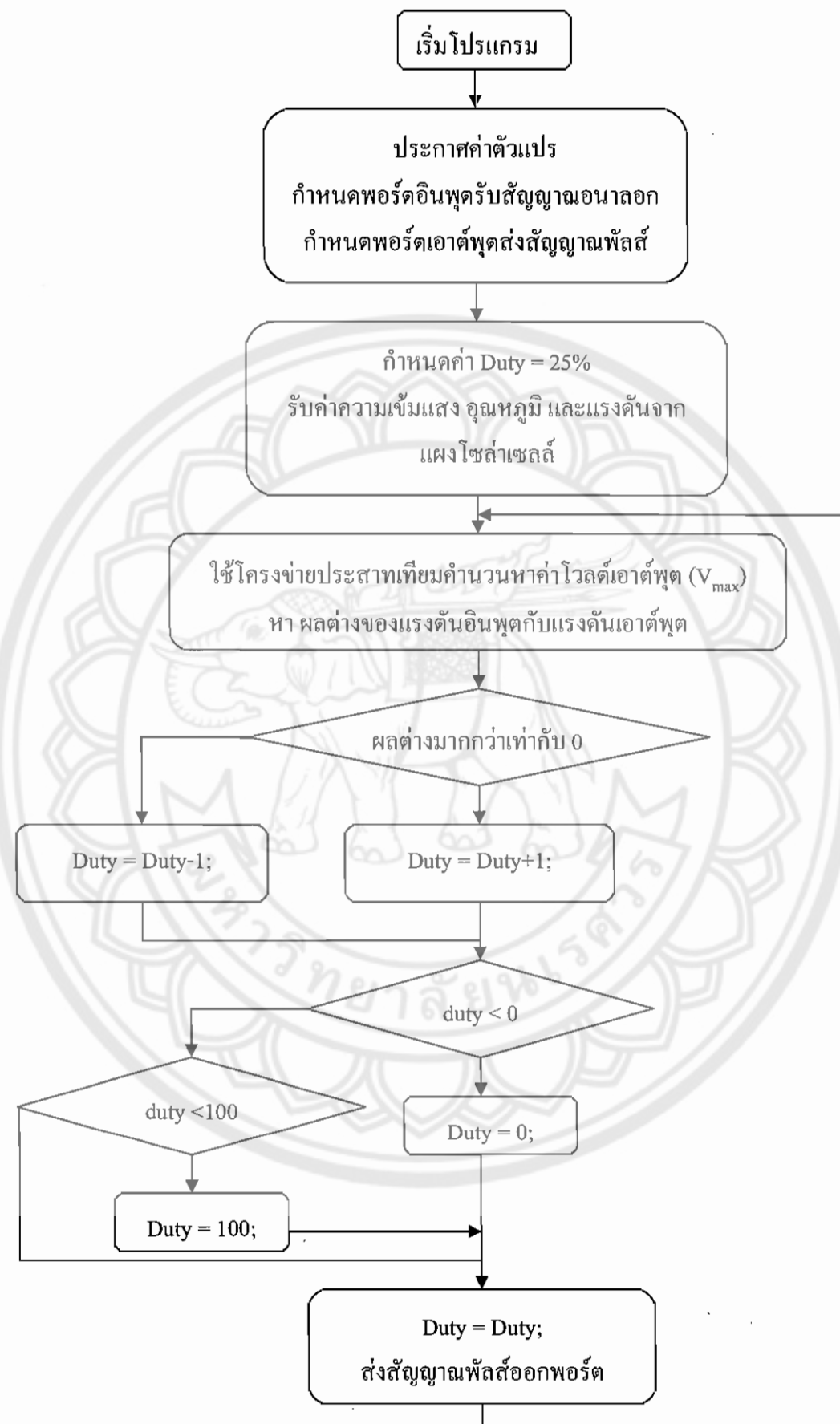
3.2.2 การออกแบบโปรแกรมในส่วนของซอฟแวร์

จากการศึกษาการโครงข่ายประสาทเทียม กลุ่มผู้จัดทำได้ทำการเก็บข้อมูลการผลิตกำลังไฟฟ้าของแผง โดยการปรับค่าความด้านหนา เพื่อหาจุดที่มีกำลังไฟฟ้าสูงสุดของแผงโซล่าเซลล์ แล้วนำข้อมูลดังกล่าวมาใช้ในโครงข่ายประสาทเทียม กลุ่มผู้จัดทำได้กำหนดให้มีจำนวนเลเยอร์ 3 เลเยอร์ ใช้โปรแกรม MATLAB ในการคำนวณหาค่าน้ำหนัก (Weight) และค่าไบแอส (Bias) กำหนดค่าเอตเต็มของโครงข่ายประสาทเทียมเป็นค่าแรงดันที่ทำให้แผงโซล่าเซลล์สามารถผลิตกำลังไฟฟ้าสูงสุดได้

การทำงานไมโครคอนโทรลเลอร์ PIC18F458 จะถูกสั่งการด้วยโปรแกรม PIC C Complier ตามแผนผังการทำงาน ดังแสดงไว้ในรูปที่ 3.13 ซึ่งเริ่มโปรแกรมด้วยการกำหนดคัวแปรและเริ่มต้นกำหนดพอร์ตอินพุตสัญญาณอนาลอกและพอร์ตเอตเต็มของสัญญาณพัลส์ จากนั้นรับค่าความเข้มแสง และอุณหภูมิ และค่าแรงดันไฟฟ้าที่ได้จากแผงโซล่าเซลล์ โครงข่ายประสาทเทียมคำนวณหาแรงดันเอตเต็ม (V_{max}) ทำการผลด่างระหว่างค่าแรงดันไฟฟ้าที่ได้จากแผงโซล่าเซลล์กับค่าที่คำนวณ

ถ้าผลต่างมีค่ามากกว่าเท่ากับ 0 ถ้าใช้กำหนดให้ คิวตี้ไซเคิลค่าคิวตี้ไซเคิล ถ้าไม่ใช่ให้เพิ่มค่าคิวตี้ไซเคิลทำการตรวจสอบค่าคิวตี้ไซเคิล

ถ้าค่าคิวตี้ไซเคิล มีค่าน้อยกว่า 0% ให้กำหนดให้ค่าคิวตี้ไซเคิล เท่ากับ 0% และถ้าค่าคิวตี้ไซเคิล มีค่าเกิน 100% ให้กำหนดให้ค่าคิวตี้ไซเคิลเท่ากับ 100% นอกจากนี้กำหนดให้ค่าคิวตี้ไซเคิล มีค่าเท่าเดิม และทำส่งสัญญาณพัลส์ไปควบคุมวงจรนูสคอนเวอร์เตอร์



รูปที่ 3.13 แผนผังลำดับการทำงานของอุปกรณ์วัดความเข้มแสงกับอุณหภูมิ ด้วยไมโครคอนโทรลเลอร์

3.3 การเก็บข้อมูลแพงโซล่าเซลล์และเขียนโปรแกรมโครงข่ายประสาทเทียม

ทำการเก็บข้อมูลการผลิตกำลังไฟฟ้าของแพงโซล่าเซลล์ ตั้งแต่เวลา 10.10 น.-12.00 น. โดยการปรับค่าความด้านทันทนาและบันทึกค่า วิเคราะห์ข้อมูลที่ได้จุดที่มีกำลังไฟฟ้าสูงสุดของแพงโซล่าเซลล์ตั้งแสดงไว้ในบทที่ 4 จากนั้นนำค่าที่ได้มาคำนวนค่าพารามิเตอร์ต่างๆ ในโครงข่ายประสาทเทียม โดยใช้โปรแกรม MATLAB

3.4 ทดสอบและผลการทดสอบ

กลุ่มผู้จัดทำได้ทำการทดสอบ 2 สถานที่ คือ ห้องทดลอง และวิทยาลัยพลังงานทดแทน โดยในการทดสอบที่ห้องทดลอง ได้ป้อนแรงดันอินพุทจากแหล่งจ่ายไฟกระแสตรง และให้แสตงผ่านพอร์ตอนุกรม RS 232 ผ่านโปรแกรม HyperTerminal บันทึกค่า จากนั้นได้นำอุปกรณ์ไปทดสอบที่วิทยาลัยพลังงาน ทำการบันทึกค่า นำข้อมูลทั้ง 2 ชุดมาวิเคราะห์ และสรุปผล

3.5 รวบรวมข้อมูลทั้งหมดเข้ารูปเล่มพร้อมรายงาน

ในหัวข้อนี้เป็นการนำข้อมูลทั้งหมดซึ่งประกอบไปด้วย ทฤษฎีและหลักการทำงานที่เกี่ยวข้องกับการทำโครงงาน การออกแบบและสร้างชิ้นงาน การทดสอบและผลการทดสอบ

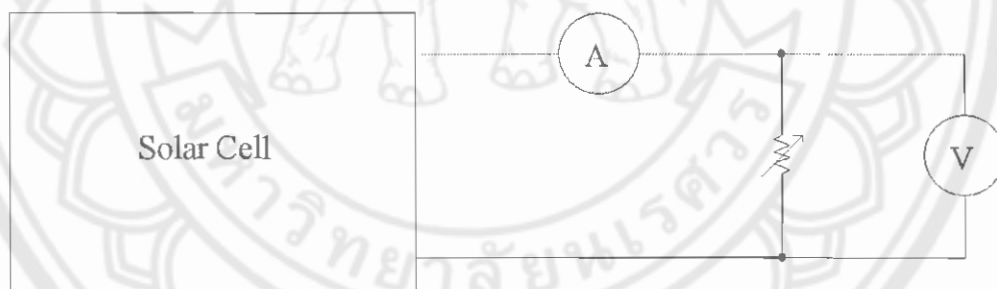
บทที่ 4

การเก็บข้อมูล การทดสอบและผลการทดสอบ

ในบทนี้ จะกล่าวถึงการเก็บข้อมูล การทดสอบ และผลการทดสอบการหาจุดที่มีกำลังไฟฟ้าสูงสุดของแผงโซล่าเซลล์โดยใช้โครงข่ายประสาทเทียม ในการทดสอบการหาจุดที่มีกำลังไฟฟ้าสูงสุดของแผงโซล่าเซลล์ได้มีการทดสอบทั้งในห้องทดลองและวิทยาลัยพลังงานทดแทน ผลการทดลองที่ได้มีดังต่อไปนี้

4.1 การเก็บข้อมูลการผลิตกำลังไฟฟ้าของแผงโซล่าเซลล์

กลุ่มผู้จัดทำ ได้ทำการเก็บข้อมูลตั้งแต่เวลา 10.10 น.-12.00 น. ดังแสดงไว้ในตารางบันทึกค่าโดยทำการปรับค่าความด้านหน้า เพื่อหาจุดที่มีกำลังไฟฟ้าสูงสุดของแผงโซล่าเซลล์ ดังแสดงไว้ในรูปที่ 4.1 จากนั้นนำค่าที่ได้มาพล็อตกราฟความสัมพันธ์ระหว่าง กระแสเทียนกับแรงดัน และกำลังไฟฟ้าเทียน กับแรงดันดังรูปที่ 4.2-4.25 แล้วนำข้อมูลที่ได้มาเขียนโปรแกรมโครงข่ายประสาทเทียม ศึกษาการทำงานของโปรแกรมโครงข่ายประสาทเทียม ได้ในภาคผนวก ก ตารางบันทึกค่าเปลี่ยนเป็นช่วงเวลาดังนี้

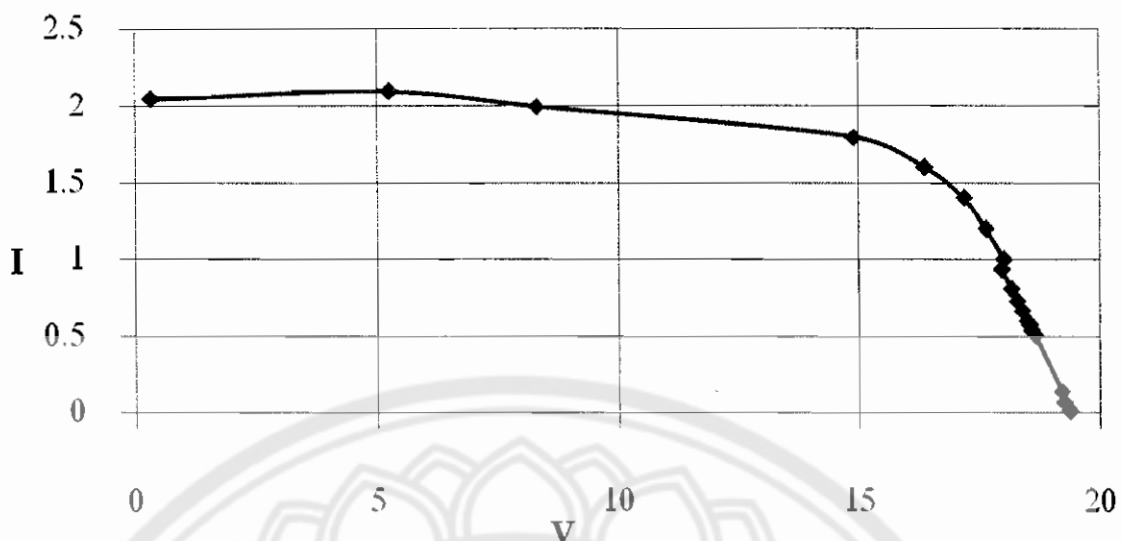


รูปที่ 4.1 การเก็บข้อมูลพฤติกรรมของแผงโซล่าเซลล์

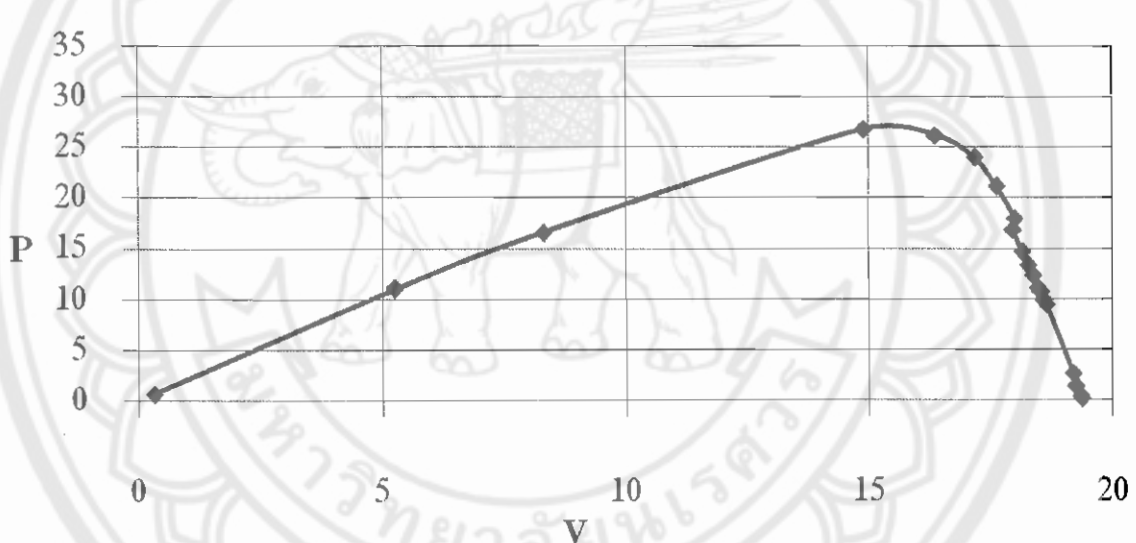
การเก็บข้อมูลของแผงโซล่าเซลล์ในเวลา 10.10 น. จะทำการเก็บค่าแรงดันและกระแสที่แผงโซล่าเซลล์ผลิตได้ โดยวิธีการปรับค่าความด้านหน้าของความด้านหน้าปรับค่าได้ที่นำมาต่อด้านเอกสารพูดของแผงโซล่าเซลล์ นำข้อมูลแรงดันไฟฟ้าและกระแสไฟฟ้าของแผงโซล่าเซลล์ที่ได้ มาคำนวณหา กำลังไฟฟ้าที่แผงโซล่าเซลล์ผลิตได้ ดังแสดงในตารางที่ 4.1

ตารางที่ 4.1 ตารางบันทึกข้อมูลเวลา 10.10 น.

ความต้านทาน [Ω]	แรงดัน [V]	กระแส [A]	กำลังไฟฟ้า [W]
1	0.33	2.05	0.6765
2.4	5.27	2.1	11.1
5	8.32	2	16.64
7.7	14.9	1.8	26.82
10.8	16.37	1.6	26.192
13.1	17.18	1.4	24.052
16	17.63	1.2	21.156
18.3	18.01	1	18.01
20.8	17.97	0.94	16.8918
22.7	18.15	0.81	14.702
25.3	18.28	0.73	13.3444
27.7	18.38	0.67	12.315
30.6	18.48	0.6	11.088
32.5	18.54	0.58	10.7532
34.4	18.59	0.54	10.039
36.1	18.65	0.51	9.512
720	19.2	0.14	2.688
1128	19.26	0.07	1.348
1440	19.35	0.02	0.387
1800	19.37	0.01	0.194



รูปที่ 4.2 กราฟกระแสไฟฟ้าเทียบกับแรงดันไฟฟ้า เวลา 10.10 น.



รูปที่ 4.3 กราฟกำลังไฟฟ้าเทียบกับแรงดันเวลา 10.10 น.

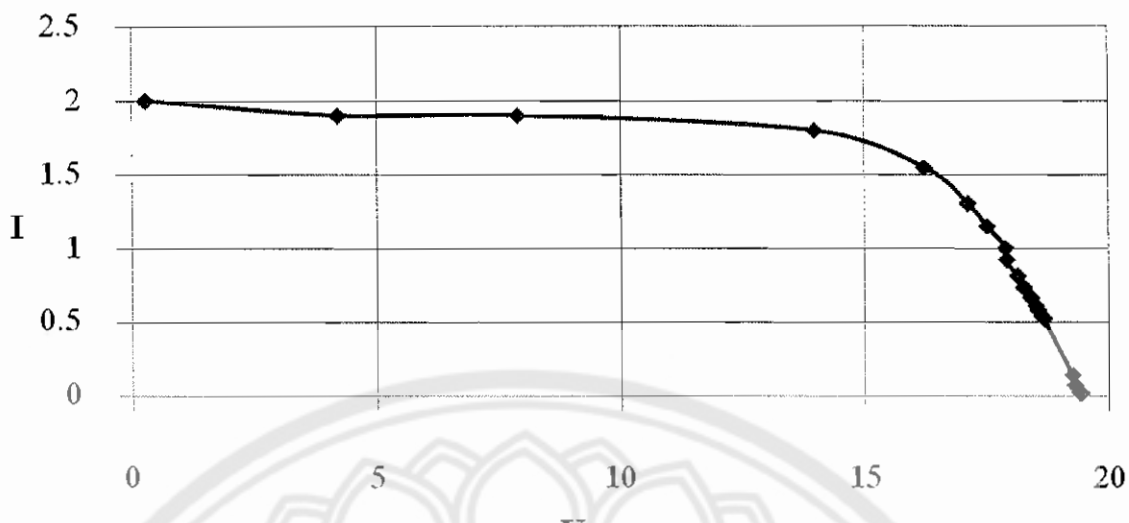
ค่ากระแสไฟฟ้าและค่าแรงดันไฟฟ้าที่แสดงไว้ในรูปที่ 4.2 เป็นการเก็บข้อมูลของแสงโซล่าเซลล์ เวลา 10.10 น. โดยใช้ความต้านทานปรับค่าได้เป็นภาระโหลดทางด้านเอกสาร พุต ของแสงโซล่าเซลล์ ซึ่งจากคุณสมบัติของแสงโซล่าเซลล์ เมื่อภาระโหลดทางด้านเอกสารพุตเปลี่ยนกำลังไฟฟ้าที่แสงโซล่าเซลล์ที่ผลิตได้ก็จะเปลี่ยนไปด้วย ซึ่งหมายความว่า กระแสไฟฟ้าและค่าแรงดันไฟฟ้า ก็จะเปลี่ยนไปตามการปรับค่าภาระโหลดที่ค่อทางด้านเอกสารพุตของแสงโซล่าเซลล์ ณ เวลา 10.10 น.

จากตารางที่ 4.1 นำค่าแรงดันไฟฟ้า และค่ากำลังไฟฟ้า มาพล็อตกราฟเพื่อหาจุดที่มีกำลังไฟฟ้าสูงสุดของแสงโซล่าเซลล์ ดังแสดงไว้ในรูปที่ 4.3

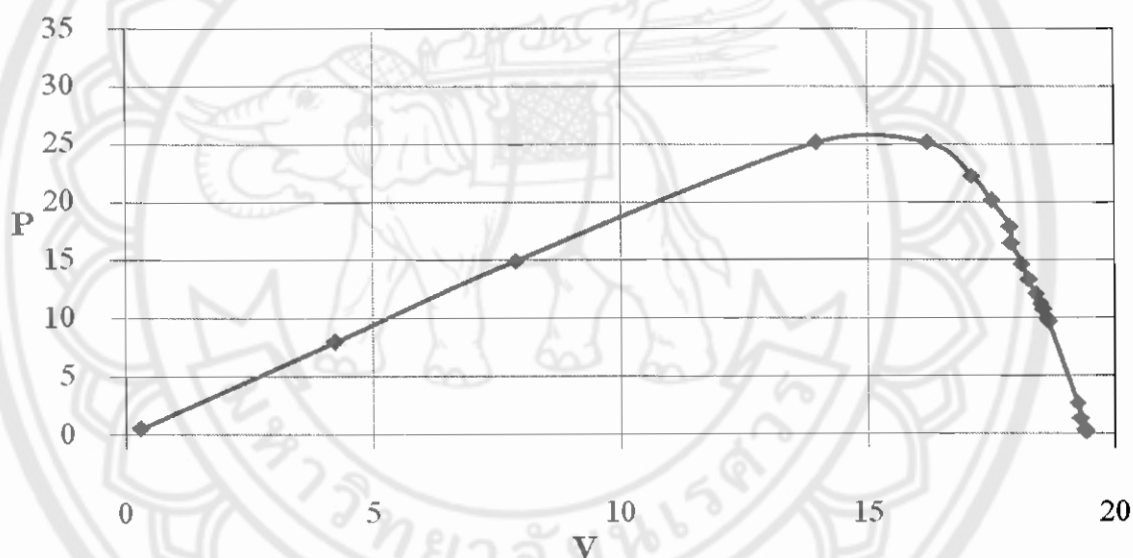
การเก็บข้อมูลของแผลงโซล่าเซลล์ในเวลา 10.20 น. จะทำการเก็บค่าแรงดันและกระแสที่แผลงโซล่าเซลล์ผลิตได้ โดยวิธีการปรับค่าความต้านทานของความต้านทานปรับค่าได้ที่นำมาต่อค้างเอาต์พุตของแผลงโซล่าเซลล์ นำข้อมูลแรงดันไฟฟ้าและกระแสไฟฟ้าของแผลงโซล่าเซลล์ที่ได้ มาคำนวณหากำลังไฟฟ้าที่แผลงโซล่าเซลล์ผลิตได้ ดังแสดงในตารางที่ 4.2

ตารางที่ 4.2 ตารางบันทึกข้อมูลเวลา 10.20 น.

ความต้านทาน [Ω]	แรงดัน [V]	กระแส [A]	กำลังไฟฟ้า [W]
1	0.287	2	0.574
2.4	4.22	1.9	8.02
5	7.89	1.9	14.991
7.7	13.97	1.8	25.146
10.8	16.22	1.55	25.141
13.1	17.12	1.3	22.256
16	17.51	1.15	20.1365
18.3	17.89	1	17.89
20.8	17.91	0.92	16.4772
22.7	18.13	0.81	14.685
25.3	18.27	0.73	13.3371
27.7	18.41	0.66	12.51
30.6	18.5	0.61	11.285
32.5	18.57	0.58	10.7706
34.4	18.63	0.54	10.06
36.1	18.68	0.52	9.714
720	19.25	0.14	2.695
1128	19.31	0.07	1.3517
1440	19.41	0.02	0.3882
1800	19.43	0.01	0.1943



รูปที่ 4.4 กราฟกระแสเทียบกับแรงดันเวลา 10.20 น.



รูปที่ 4.5 กราฟกำลังไฟฟ้าเทียบกับแรงดันเวลา 10.20 น.

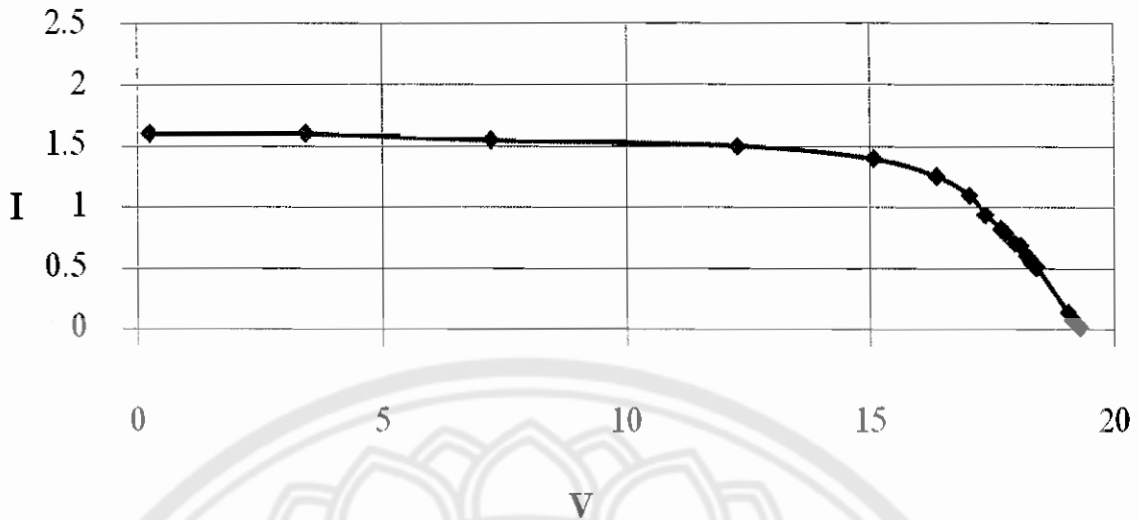
ค่ากระแสไฟฟ้าและค่าแรงดันไฟฟ้าที่แสดงไว้ในรูปที่ 4.4 เป็นการเก็บข้อมูลของแสงโซล่าเซลล์เวลา 10.20 น. โดยใช้ความด้านทานปรับค่าได้เป็นภาระโหลดทางด้านเอาต์พุต ของแสงโซล่าเซลล์ ซึ่งจากคุณสมบัติของแสงโซล่าเซลล์ เมื่อภาระโหลดทางด้านเอาต์พุตเปลี่ยนกำลังไฟฟ้าที่แสงโซล่าเซลล์ที่ผลิตได้ก็จะเปลี่ยนไปด้วย ซึ่งหมายความว่า กระแสไฟฟ้าและค่าแรงดันไฟฟ้า ก็จะเปลี่ยนไปตามการปรับค่าภาระโหลดที่ต่อทางด้านเอาต์พุตของแสงโซล่าเซลล์ ณ เวลา 10.20 น.

จากตารางที่ 4.2 นำค่าแรงดันไฟฟ้า และค่ากำลังไฟฟ้า มาพล็อตกราฟเพื่อหาจุดที่มีกำลังไฟฟ้าสูงสุดของแสงโซล่าเซลล์ ดังแสดงไว้ในรูปที่ 4.5

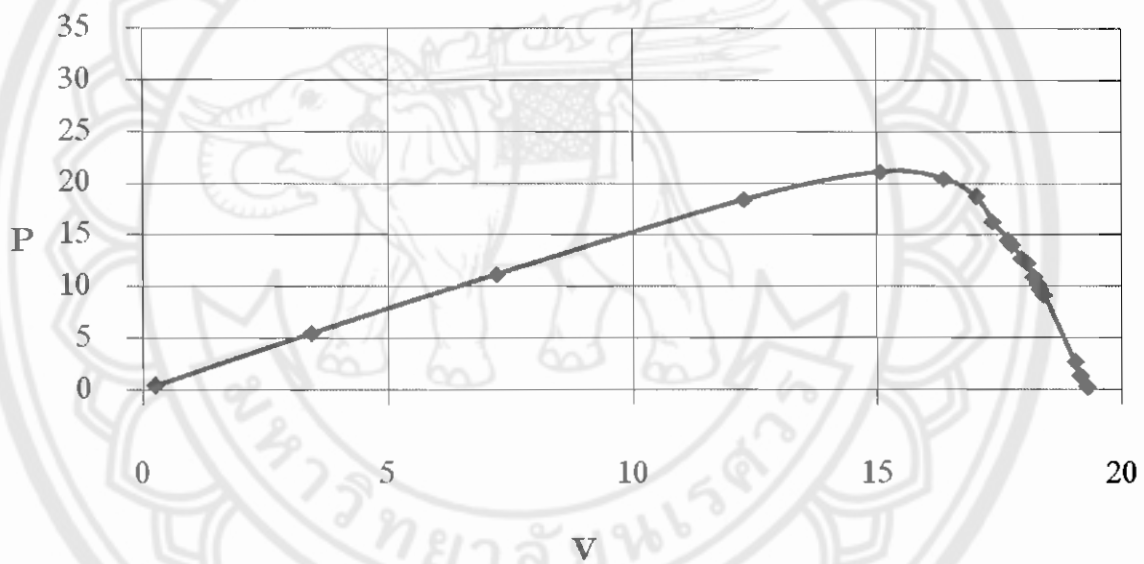
การเก็บข้อมูลของแพงโซล่าเซลล์ในเวลา 10.30 น. จะทำการเก็บค่าแรงดันและกระแสที่แพงโซล่าเซลล์ผลิตได้ โดยวิธีการปรับค่าความต้านทานของความต้านทานปรับค่าให้ที่นำมาต่อค่านเอาร์พัฒของแพงโซล่าเซลล์ นำข้อมูลแรงดันไฟฟ้าและกระแสไฟฟ้าของแพงโซล่าเซลล์ที่ได้ มาคำนวณหากำลังไฟฟ้าที่แพงโซล่าเซลล์ผลิตได้ ดังแสดงในตารางที่ 4.3

ตารางที่ 4.3 ตารางบันทึกข้อมูลเวลา 10.30 น.

ความต้านทาน [Ω]	แรงดัน [V]	กระแส [A]	กำลังไฟฟ้า [W]
1	0.257	1.6	0.4112
2.4	3.448	1.6	5.517
5	7.22	1.55	11.19
7.7	12.29	1.5	18.435
10.8	15.07	1.4	21.098
13.1	16.37	1.25	20.463
16	17.03	1.1	18.733
18.3	17.37	0.94	16.3278
20.8	17.69	0.82	14.506
22.7	17.77	0.79	14.0383
25.3	17.97	0.71	12.759
27.7	18.08	0.68	12.294
30.6	18.21	0.6	10.926
32.5	18.29	0.56	10.242
34.4	18.34	0.53	9.7202
36.1	18.42	0.5	9.21
720	19.05	0.14	2.667
1128	19.16	0.07	1.3412
1440	19.28	0.02	0.386
1800	19.3	0.01	0.193



รูปที่ 4.6 กราฟกระแสเทียบกับแรงดันเวลา 10.30 น.



รูปที่ 4.7 กราฟกำลังไฟฟ้าเทียบกับแรงดันเวลา 10.30 น

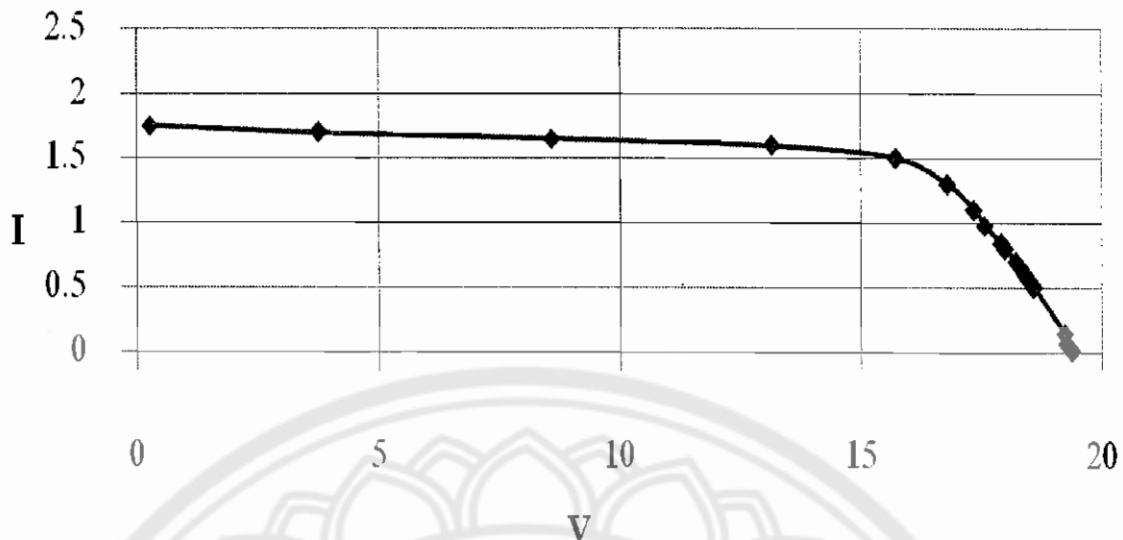
ค่ากระแสไฟฟ้าและค่าแรงดันไฟฟ้าที่แสดงในรูปที่ 4.6 เป็นการเก็บข้อมูลของแรงไฟฟ้าในชั่วโมงเวลา 10.30 น. โดยใช้ความด้านท่านปรับค่าได้เป็นภาระโหลดทางด้านเอาต์พุต ของแรงไฟฟ้าที่แสดง ซึ่งจากคุณสมบัติของแรงไฟฟ้าจะเปลี่ยนกำลังไฟฟ้าที่แรงไฟฟ้าที่มีค่าแรงดันไฟฟ้า ก็จะเปลี่ยนไปตามการปรับค่าภาระโหลดที่ต่อทางด้านเอาต์พุตของแรงไฟฟ้า เช่นเดียวกัน เวลา 10.30 น.

จากการที่ 4.3 นำค่าแรงดันไฟฟ้า และค่ากำลังไฟฟ้า มาพล็อตกราฟเพื่อหาจุดที่มีกำลังไฟฟ้าสูงสุดของแรงไฟฟ้า เช่นเดียวกัน ดังแสดงไว้ในรูปที่ 4.7

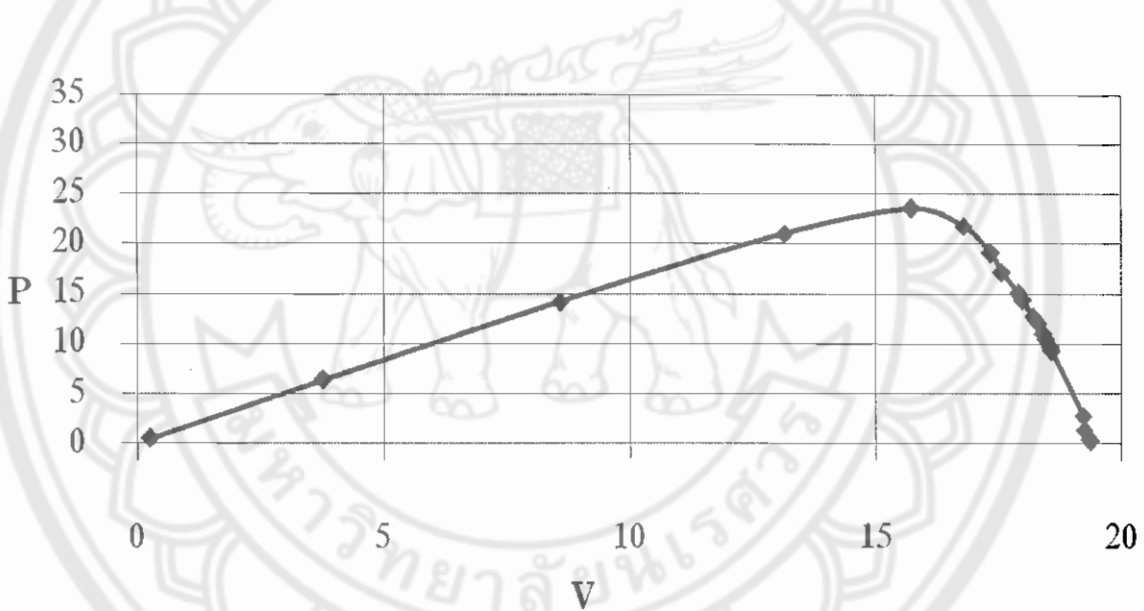
การเก็บข้อมูลของแรงไฟฟ้าในเวลา 10.40 น. จะทำการเก็บค่าแรงดันและกระแสที่แรงไฟฟ้าล่าชั้ลล์เพลต ได้ โดยวิธีการปรับค่าความต้านทานของความต้านทานปรับค่าได้ที่นำมาดัดค่าด้านเอาต์พุตของแรงไฟฟ้าล่าชั้ลล์ นำข้อมูลแรงดันไฟฟ้าและกระแสไฟฟ้าของแรงไฟฟ้าล่าชั้ลล์ที่ได้ มาคำนวณหากำลังไฟฟ้าที่แรงไฟฟ้าล่าชั้ลล์เพลต ได้ ดังแสดงในตารางที่ 4.4

ตารางที่ 4.4 ตารางบันทึกข้อมูลเวลา 10.40 น.

ความต้านทาน [Ω]	แรงดัน [V]	กระแส [A]	กำลังไฟฟ้า [W]
1	0.271	1.75	0.47425
2.4	3.774	1.7	6.416
5	8.59	1.65	14.174
7.7	13.15	1.6	21.04
10.8	15.72	1.5	23.58
13.1	16.79	1.3	21.83
16	17.35	1.1	19.09
18.3	17.57	0.98	17.22
20.8	17.92	0.84	15.05
22.7	17.99	0.8	14.39
25.3	18.2	0.7	12.74
27.7	18.3	0.66	12.078
30.6	18.41	0.6	11.046
32.5	18.47	0.57	10.5279
34.4	18.56	0.52	9.6512
36.1	18.59	0.5	9.295
720	19.22	0.145	2.7869
1128	19.25	0.07	1.3475
1440	19.36	0.02	0.387
1800	19.37	0.01	0.1937



รูปที่ 4.8 กราฟกระแสเทียบกับแรงดันเวลา 10.40 น.



รูปที่ 4.9 กำลังไฟฟ้าเทียบกับแรงดันเวลา 10.40 น.

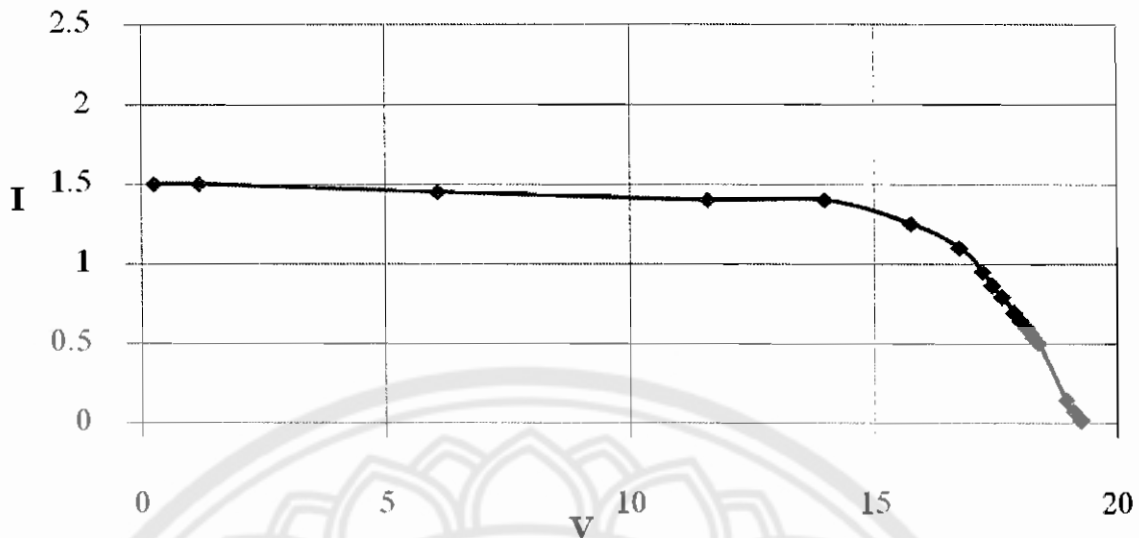
ค่ากระแสไฟฟ้าและค่าแรงดันไฟฟ้าที่แสดงในรูปที่ 4.8 เป็นการเก็บข้อมูลของแรงไฟล่าเซลล์เวลา 10.40 น. โดยใช้ความต้านทานปรับค่าได้เป็นภาระโหลดทางด้านเอาต์พุต ของแรงไฟล่าเซลล์ ซึ่งจากคุณสมบัติของแรงไฟล่าเซลล์ เมื่อภาระโหลดทางด้านเอาต์พุตเปลี่ยนกำลังไฟฟ้าที่แรงไฟล่าเซลล์ที่ผลิตได้ก็จะเปลี่ยนไปด้วย ซึ่งหมายความว่า กระแสไฟฟ้าและค่าแรงดันไฟฟ้า ก็จะเปลี่ยนไปตามการปรับค่าภาระโหลดที่ต่อทางด้านเอาต์พุตของแรงไฟล่าเซลล์ ณ เวลา 10.40 น.

จากตารางที่ 4.4 นำค่าแรงดันไฟฟ้า และค่ากำลังไฟฟ้า มาพล็อตกราฟเพื่อหาจุดที่มีกำลังไฟฟ้าสูงสุดของแรงไฟล่าเซลล์ ดังแสดงไว้ในรูปที่ 4.9

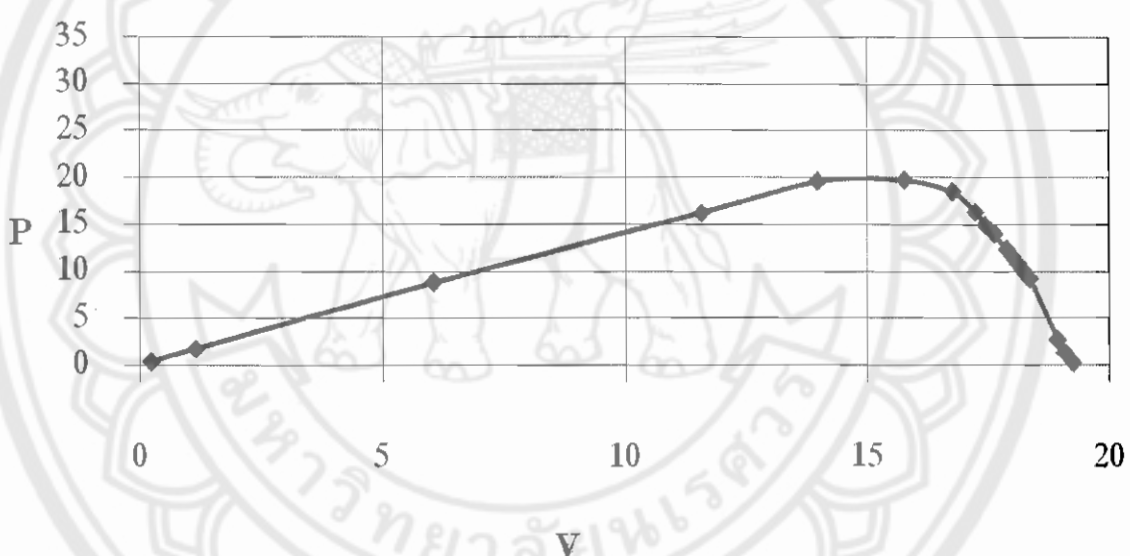
การเก็บข้อมูลของแ朋โซ่ล่าเซลล์ในเวลา 10.50 น. จะทำการเก็บค่าแรงดันและกระแสที่แ朋โซ่ล่าเซลล์ผลิตได้ โดยวิธีการปรับค่าความต้านทานของความต้านทานปรับค่าได้ที่นำมาต่อค่านเอาด้วยของแ朋โซ่ล่าเซลล์ นำข้อมูลแรงดันไฟฟ้าและกระแสไฟฟ้าของแ朋โซ่ล่าเซลล์ที่ได้ มาคำนวณหากำลังไฟฟ้าที่แ朋โซ่ล่าเซลล์ผลิตได้ ดังแสดงในตารางที่ 4.5

ตารางที่ 4.5 ตารางบันทึกข้อมูลเวลา 10.50 น.

ความต้านทาน [Ω]	แรงดัน [V]	กระแส [A]	กำลังไฟฟ้า [W]
1	0.236	1.5	0.345
2.4	1.159	1.5	1.739
5	6.06	1.45	8.79
7.7	11.58	1.4	16.212
10.8	13.99	1.4	19.586
13.1	15.76	1.25	19.7
16	16.76	1.1	18.44
18.3	17.23	0.95	16.37
20.8	17.43	0.86	14.99
22.7	17.63	0.79	13.928
25.3	17.88	0.69	12.337
27.7	18	0.64	11.52
30.6	18.12	0.6	10.872
32.5	18.21	0.56	10.198
34.4	18.28	0.53	9.6884
36.1	18.37	0.5	9.185
720	18.94	0.14	2.6516
1128	19.09	0.07	1.3363
1440	19.23	0.02	0.3846
1800	19.25	0.01	0.1925



รูปที่ 4.10 กราฟกระแสไฟฟ้ากับแรงดันเวลา 10.50 น.



รูปที่ 4.11 กราฟกำลังไฟฟ้าเทียบกับแรงดันเวลา 10.50 น.

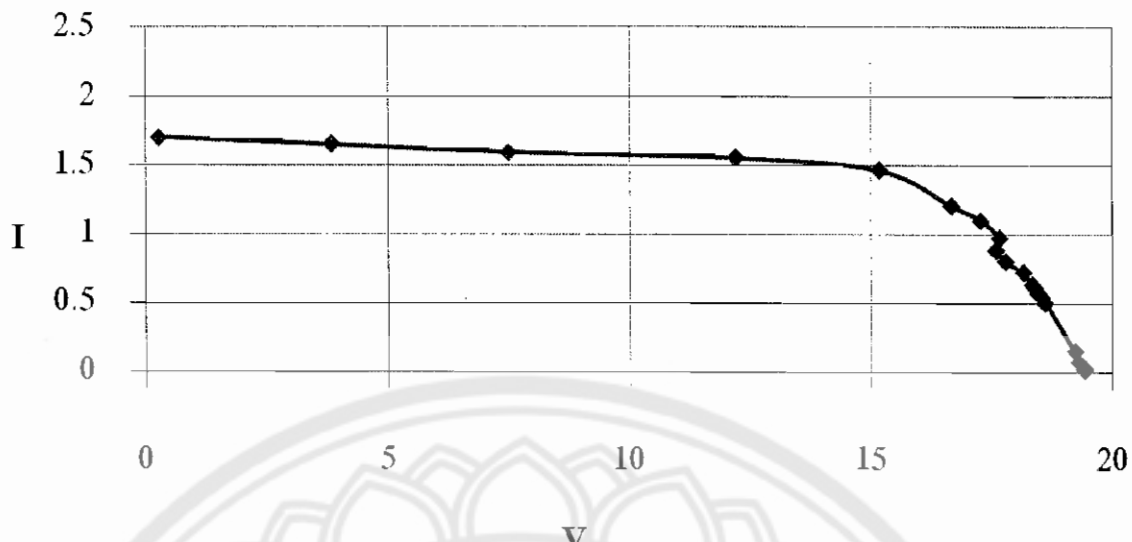
ค่ากระแสไฟฟ้าและค่าแรงดันไฟฟ้าที่แสดงในรูปที่ 4.10 เป็นการเก็บข้อมูลของแพงโซล่าเซลล์เวลา 10.50 น. โดยใช้ความต้านทานปรับค่าได้เป็นภาระโหลดทางด้านเอาต์พุต ของแพงโซล่าเซลล์ ซึ่งจากคุณสมบัติของแพงโซล่าเซลล์ เมื่อภาระโหลดทางด้านเอาต์พุตเปลี่ยนกำลังไฟฟ้าที่แพงโซล่าเซลล์ที่ผลิตได้จะเปลี่ยนไปด้วย ซึ่งหมายความว่า กระแสไฟฟ้าและค่าแรงดันไฟฟ้า ก็จะเปลี่ยนไปตามการปรับค่าภาระโหลดที่ต่อทางด้านเอาต์พุตของแพงโซล่าเซลล์ ณ เวลา 10.50 น.

จากร่างที่ 4.5 นำค่าแรงดันไฟฟ้า และค่ากำลังไฟฟ้า มาพล็อตกราฟเพื่อหาจุดที่มีกำลังไฟฟ้าสูงสุดของแพงโซล่าเซลล์ ดังแสดงไว้ในรูปที่ 4.11

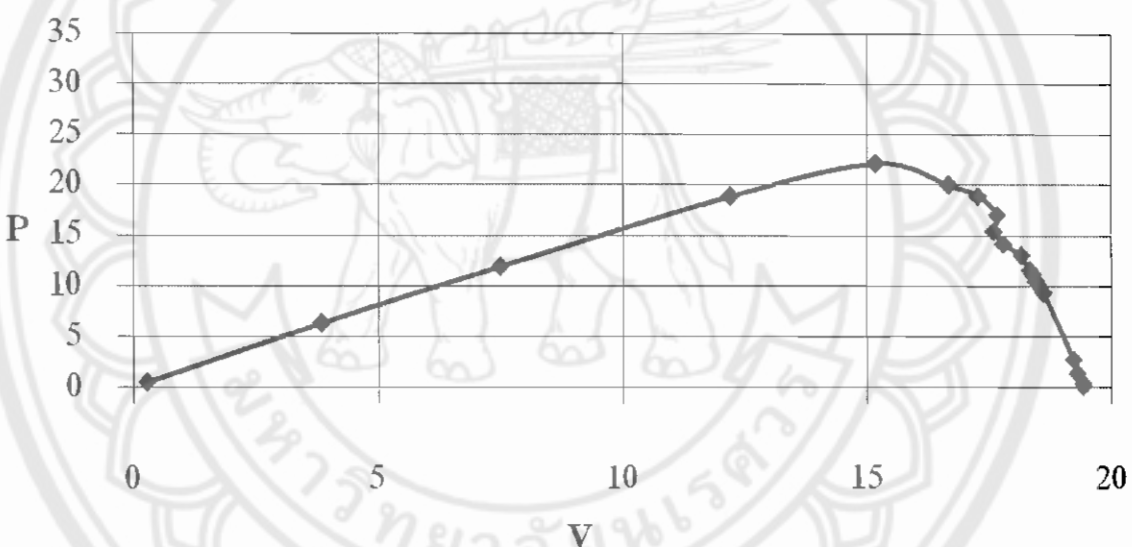
การเก็บข้อมูลของแ朋โซล่าเซลล์ในเวลา 11.00 น. จะทำการเก็บค่าแรงดันและกระแสที่แ朋โซล่าเซลล์ผลิตได้ โดยวิธีการปรับค่าความต้านทานของความต้านทานปรับค่าได้ที่นำมาต่อด้านเอาต์พุตของแ朋โซล่าเซลล์ นำข้อมูลแรงดันไฟฟ้าและกระแสไฟฟ้าของแ朋โซล่าเซลล์ที่ได้ มาคำนวณหากำลังไฟฟ้าที่แ朋โซล่าเซลล์ผลิตได้ คังแสดงในตารางที่ 4.6

ตารางที่ 4.6 ตารางบันทึกข้อมูลเวลา 11.00 น.

ความต้านทาน [Ω]	แรงดัน [V]	กระแส [A]	กำลังไฟฟ้า [W]
1	0.277	1.7	0.4709
2.4	3.8343	1.65	6.341
5	7.5	1.59	11.925
7.7	12.22	1.55	18.941
10.8	15.18	1.46	22.163
13.1	16.67	1.2	20.004
16	17.27	1.1	18.997
18.3	17.66	0.97	17.13
20.8	17.6	0.88	15.488
22.7	17.79	0.8	14.232
25.3	18.15	0.72	13.068
27.7	18.33	0.63	11.548
30.6	18.39	0.61	11.218
32.5	18.47	0.57	10.53
34.4	18.53	0.54	10.01
36.1	18.61	0.5	9.305
720	19.23	0.145	2.7884
1128	19.3	0.07	1.351
1440	19.42	0.02	0.3884
1800	19.44	0.01	0.1944



รูปที่ 4.12 กราฟกระแสเทียนกับแรงดันเวลา 11.00 น.



รูปที่ 4.13 กราฟกำลังไฟฟ้าเทียนกับแรงดันเวลา 11.00 น.

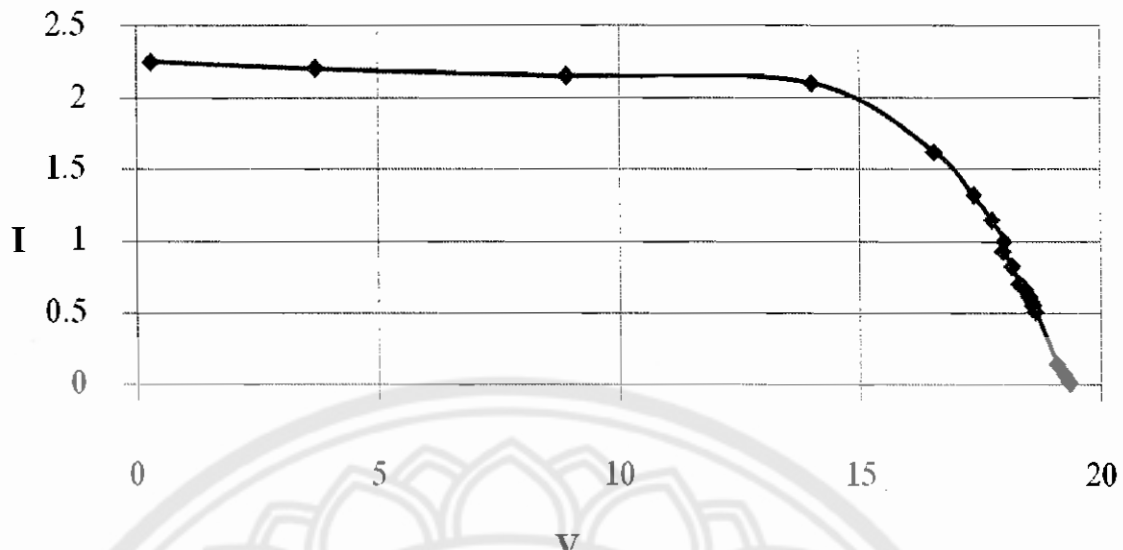
ค่ากระแสไฟฟ้าและค่าแรงดันไฟฟ้าที่แสดงในรูปที่ 4.12 เป็นการเก็บข้อมูลของแพงโซล่าเซลล์เวลา 11.00 น. โดยใช้ความต้านทานปรับค่าได้เป็นภาระโหลดทางด้านเอาต์พุต ของแพงโซล่าเซลล์ ซึ่งจากคุณสมบัติของแพงโซล่าเซลล์ เมื่อภาระโหลดทางด้านเอาต์พุตเปลี่ยนกำลังไฟฟ้าที่แพงโซล่าเซลล์ที่ผลิตได้ก็จะเปลี่ยนไปด้วย ซึ่งหมายความว่า กระแสไฟฟ้าและค่าแรงดันไฟฟ้า ก็จะเปลี่ยนไปตามการปรับค่าภาระโหลดที่ต่อทางด้านเอาต์พุตของแพงโซล่าเซลล์ ณ เวลา 11.00 น.

จากการที่ 4.6 นำค่าแรงดันไฟฟ้า และค่ากำลังไฟฟ้า มาพล็อตกราฟเพื่อหาจุดที่มีกำลังไฟฟ้าสูงสุดของแพงโซล่าเซลล์ ดังแสดงไว้ในรูปที่ 4.13

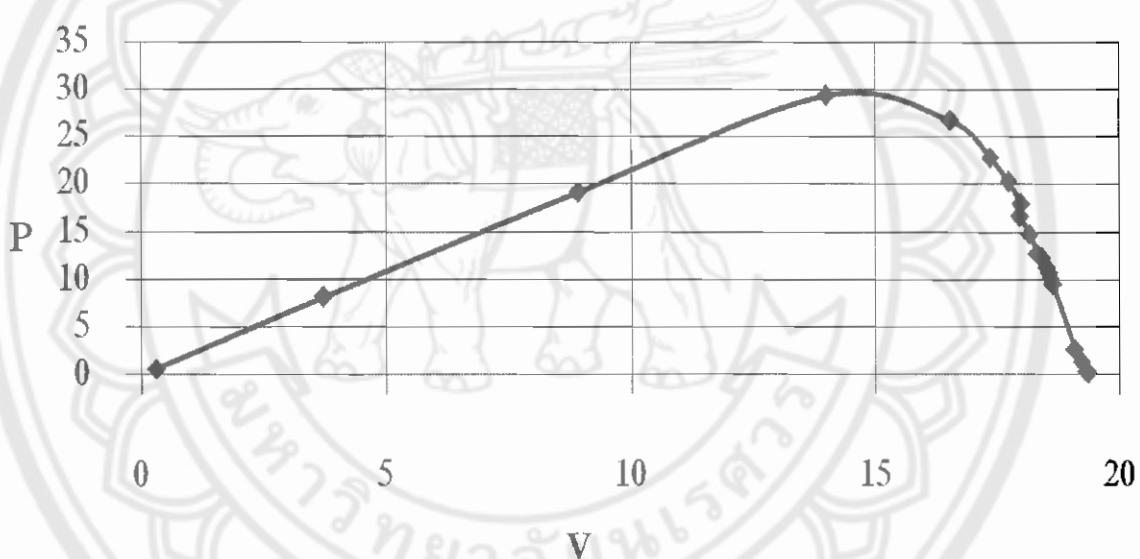
การเก็บข้อมูลของแพงโซล่าเซลล์ในเวลา 11.10 น. จะทำการเก็บค่าแรงดันและกระแสที่แพงโซล่าเซลล์ผลิตได้ โดยวิธีการปรับค่าความด้านทานของความด้านทานปรับค่าได้ที่นำมาต่อค้านเอาต์พุตของแพงโซล่าเซลล์ นำข้อมูลแรงดันไฟฟ้าและกระแสไฟฟ้าของแพงโซล่าเซลล์ที่ได้ มาคำนวณหากำลังไฟฟ้าที่แพงโซล่าเซลล์ผลิตได้ ดังแสดงในตารางที่ 4.7

ตารางที่ 4.7 ตารางบันทึกข้อมูลเวลา 11.10 น.

ความด้านทาน [Ω]	แรงดัน [V]	กระแส [A]	กำลังไฟฟ้า [W]
1	0.312	2.25	0.702
2.4	3.725	2.2	8.195
5	8.92	2.15	19.178
7.7	14	2.1	29.4
10.8	16.55	1.62	26.811
13.1	17.36	1.32	22.92
16	17.73	1.15	20.39
18.3	17.99	1	17.99
20.8	17.97	0.93	16.712
22.7	18.17	0.82	14.899
25.3	18.32	0.7	12.82
27.7	18.42	0.67	12.341
30.6	18.51	0.61	11.291
32.5	18.55	0.58	10.76
34.4	18.59	0.55	10.22
36.1	18.64	0.51	9.506
720	19.09	0.145	2.76805
1128	19.23	0.07	1.346
1440	19.34	0.02	0.3868
1800	19.35	0.01	0.1935



รูปที่ 4.14 กราฟกระแสเทียบกับแรงดันเวลา 11.10 น.



รูปที่ 4.15 กราฟกำลังไฟฟ้าเทียบกับแรงดันเวลา 11.10 น.

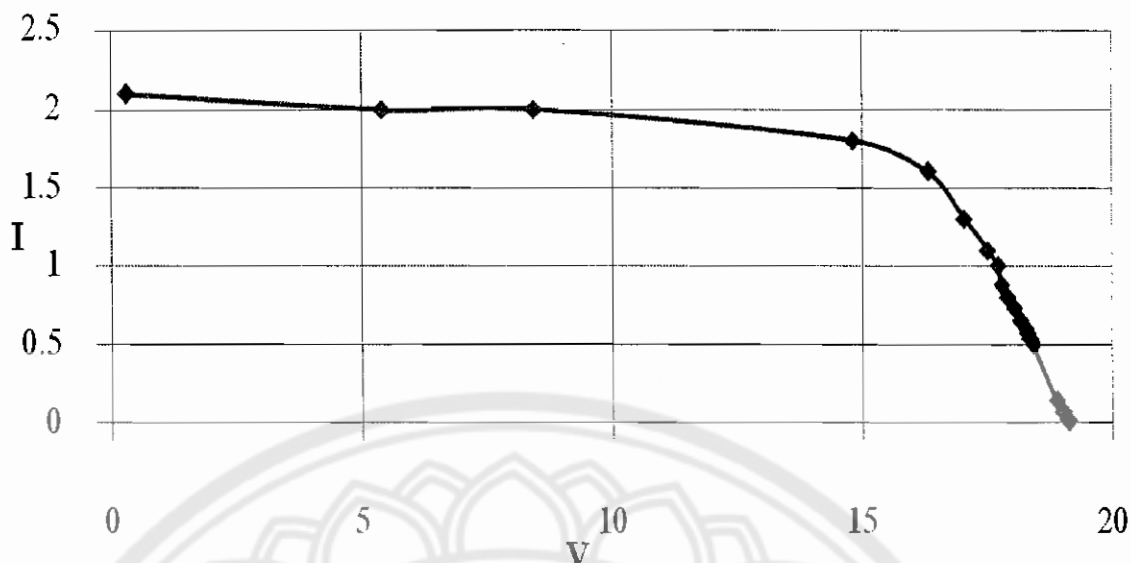
ค่ากระแสไฟฟ้าและค่าแรงดันไฟฟ้าที่แสดงในรูปที่ 4.14 เป็นการเก็บข้อมูลของแพงโซล่าเซลล์เวลา 11.10 น. โดยใช้ความด้านทานปรับค่าได้เป็นภาระโหลดทางด้านเอาต์พุต ของแพงโซล่าเซลล์ ซึ่งจากคุณสมบัติของแพงโซล่าเซลล์ เมื่อภาระโหลดทางด้านเอาต์พุตเปลี่ยนกำลังไฟฟ้าที่แพงโซล่าเซลล์ที่ผลิตได้จะเปลี่ยนไปด้วย ซึ่งหมายความว่า กระแสไฟฟ้าและค่าแรงดันไฟฟ้า ก็จะเปลี่ยนไปตามการปรับค่าภาระโหลดที่ต่อทางด้านเอาต์พุตของแพงโซล่าเซลล์ ณ เวลา 11.10 น.

จากการที่ 4.7 นำค่าแรงดันไฟฟ้า และค่ากำลังไฟฟ้า มาพลอตกราฟเพื่อหาจุดที่มีกำลังไฟฟ้าสูงสุดของแพงโซล่าเซลล์ ดังแสดงไว้ในรูปที่ 4.15

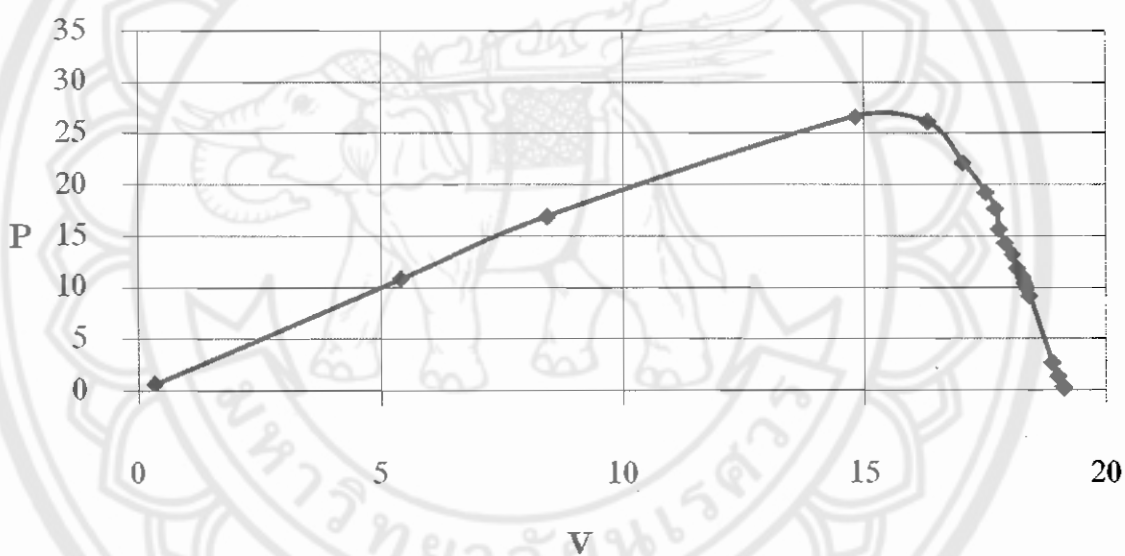
การเก็บข้อมูลของ peng โซล่าเซลล์ในเวลา 11.20 น. จะทำการเก็บค่าแรงดันและกระแสที่ peng โซล่าเซลล์ผลิตได้ โดยวิธีการปรับค่าความต้านทานของความต้านทานปรับค่าได้ที่นำมาต่อค้างเอาต์พุต ของ peng โซล่าเซลล์ นำข้อมูลแรงดันไฟฟ้าและกระแสไฟฟ้าของ peng โซล่าเซลล์ที่ได้ มาคำนวณหา กำลังไฟฟ้าที่ peng โซล่าเซลล์ผลิตได้ ดังแสดงในตารางที่ 4.8

ตารางที่ 4.8 ตารางบันทึกข้อมูลเวลา 11.20 น.

ความต้านทาน [Ω]	แรงดัน [V]	กระแส [A]	กำลังไฟฟ้า [W]
1	0.325	2.1	0.6825
2.4	5.41	2	10.82
5	8.45	2	16.9
7.7	14.82	1.8	26.676
10.8	16.33	1.6	26.128
13.1	17.05	1.3	22.17
16	17.52	1.1	19.272
18.3	17.72	1	17.72
20.8	17.79	0.88	15.655
22.7	17.92	0.8	14.336
25.3	18.05	0.73	13.177
27.7	18.17	0.65	11.811
30.6	18.28	0.6	10.968
32.5	18.32	0.57	10.44
34.4	18.37	0.54	9.92
36.1	18.42	0.5	9.21
720	18.89	0.14	2.6446
1128	19.02	0.07	1.3314
1440	19.12	0.02	0.3824
1800	19.14	0.01	0.1914



รูปที่ 4.16 กราฟกระแสเทียบกับแรงดันเวลา 11.20 น.



รูปที่ 4.17 กราฟกำลังไฟฟ้าเทียบกับแรงดันเวลา 11.20 น.

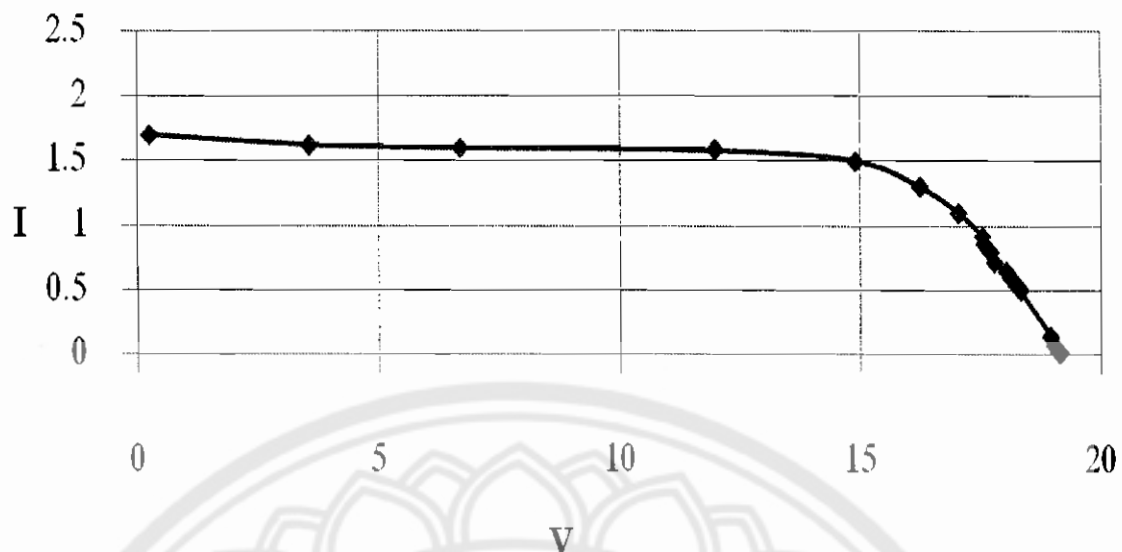
ค่ากระแสไฟฟ้าและค่าแรงดันไฟฟ้าที่แสดงในรูปที่ 4.16 เป็นการเก็บข้อมูลของแผงโซล่าเซลล์เวลา 11.20 น. โดยใช้ความต้านทานปรับค่าได้เป็นภาระโหลดทางค้านเอาต์พุต ของแผงโซล่าเซลล์ ซึ่งจากคุณสมบัติของแผงโซล่าเซลล์ เมื่อภาระโหลดทางค้านเอาต์พุตเปลี่ยนกำลังไฟฟ้าที่แผงโซล่าเซลล์ที่ผลิตได้จะเปลี่ยนไปด้วย ซึ่งหมายความว่า กระแสไฟฟ้าและค่าแรงดันไฟฟ้า ก็จะเปลี่ยนไปตามการปรับค่าภาระโหลดที่ต่อทางค้านเอาต์พุตของแผงโซล่าเซลล์ ณ เวลา 11.20 น.

จากตารางที่ 4.8 นำค่าแรงดันไฟฟ้า และค่ากำลังไฟฟ้า มาพล็อตกราฟเพื่อหาจุดที่มีกำลังไฟฟ้าสูงสุดของแผงโซล่าเซลล์ ดังแสดงไว้ในรูปที่ 4.17

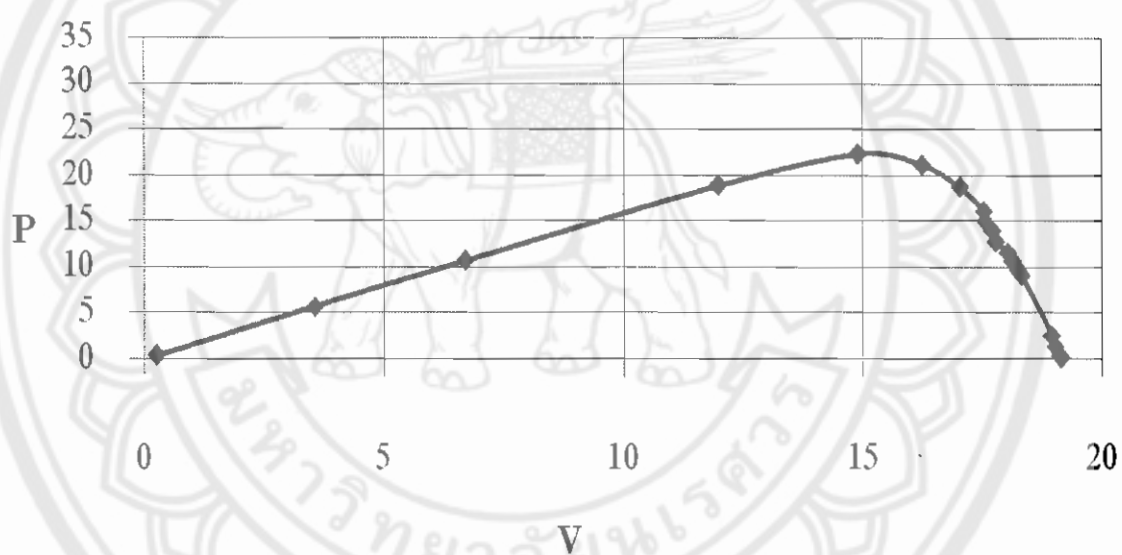
การเก็บข้อมูลของแผลงโซล่าเซลล์ในเวลา 11.30 น. จะทำการเก็บค่าแรงดันกระแสที่แผลงโซล่าเซลล์ผลิตได้ โดยวิธีการปรับค่าความต้านทานของความต้านทานปรับค่าได้ที่นำมารอต่อค้านเอาต์พุตของแผลงโซล่าเซลล์ นำข้อมูลแรงดันไฟฟ้าและกระแสไฟฟ้าของแผลงโซล่าเซลล์ที่ได้ มาคำนวณหากำลังไฟฟ้าที่แผลงโซล่าเซลล์ผลิตได้ ดังแสดงในตารางที่ 4.9

ตารางที่ 4.9 ตารางบันทึกข้อมูลเวลา 11.30 น.

ความต้านทาน [Ω]	แรงดัน [V]	กระแส [A]	กำลังไฟฟ้า[W]
1	0.261	1.7	0.4437
2.4	3.567	1.62	5.7785
5	6.7	1.6	10.72
7.7	11.99	1.58	18.944
10.8	14.9	1.5	22.35
13.1	16.25	1.3	21.125
16	17.04	1.1	18.744
18.3	17.53	0.92	16.128
20.8	17.56	0.86	15.102
22.7	17.72	0.79	13.999
25.3	17.8	0.72	12.816
27.7	18.04	0.65	11.726
30.6	18.14	0.59	10.703
32.5	18.2	0.56	10.19
34.4	18.27	0.53	9.683
36.1	18.33	0.5	9.165
720	18.96	0.14	2.654
1128	19.03	0.07	1.3321
1440	19.14	0.02	0.3828
1800	19.16	0.01	0.1916



รูปที่ 4.18 กราฟกระแสเทียนกับแรงดันเวลา 11.30 น.



รูปที่ 4.19 กราฟกำลังไฟฟ้าเทียนกับแรงดันเวลา 11.30 น.

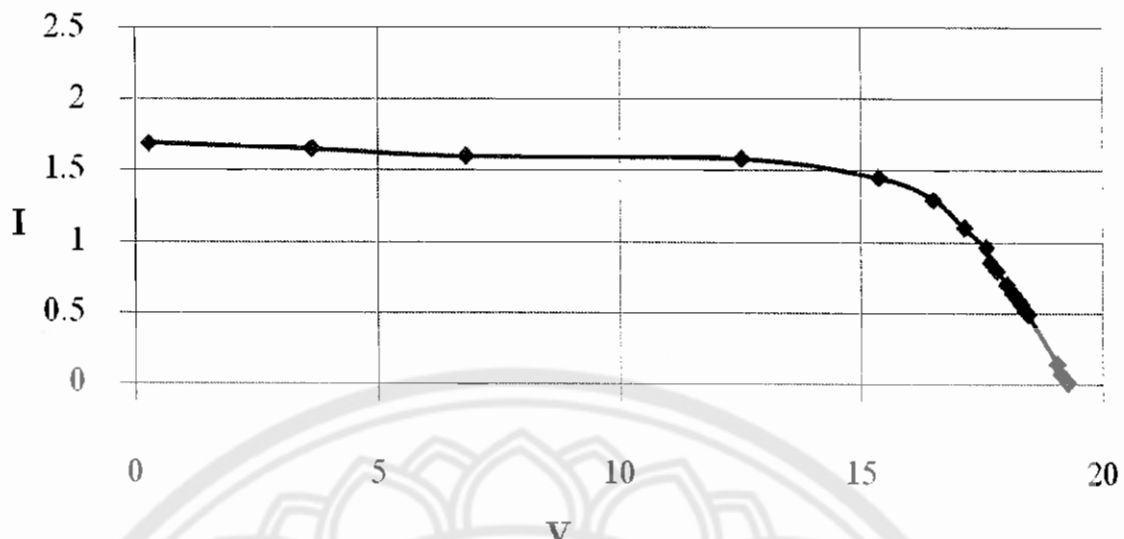
ค่ากระแสไฟฟ้าและค่าแรงดันไฟฟ้าที่แสดงในรูปที่ 4.18 เป็นการเก็บข้อมูลของแผงโซล่าเซลล์เวลา 11.30 น. โดยใช้ความต้านทานปรับค่าได้เป็นกระแสโหลดทางด้านเอาต์พุต ของแผงโซล่าเซลล์ ซึ่งจากคุณสมบัติของแผงโซล่าเซลล์ เมื่อกระแสโหลดทางด้านเอาต์พุตเปลี่ยน กำลังไฟฟ้าที่แผงโซล่าเซลล์ที่ผลิตได้จะเปลี่ยนไปด้วย ซึ่งหมายความว่า กระแสไฟฟ้าและค่าแรงดันไฟฟ้า ก็จะเปลี่ยนไปตามการปรับค่ากระแสโหลดที่ต่อทางด้านเอาต์พุตของแผงโซล่าเซลล์ ณ เวลา 11.30 น.

จากตารางที่ 4.9 นำค่าแรงดันไฟฟ้า และค่ากำลังไฟฟ้า มาพล็อตกราฟเพื่อหาจุดที่มีกำลังไฟฟ้าสูงสุดของแผงโซล่าเซลล์ ดังแสดงไว้ในรูปที่ 4.19

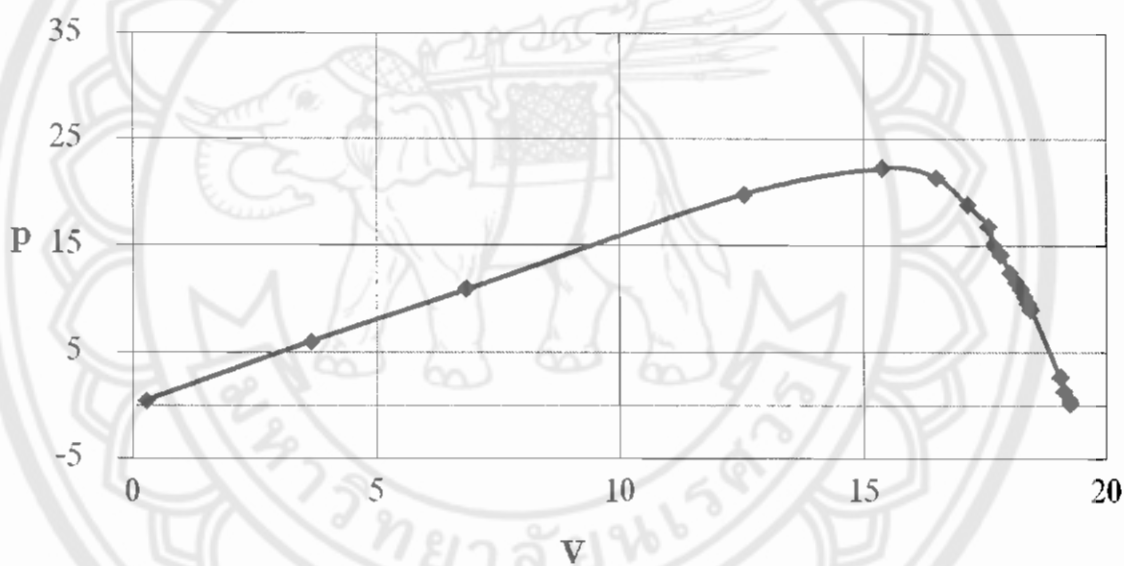
การเก็บข้อมูลของแผลงโซล่าเซลล์ในเวลา 11.40 น. จะทำการเก็บค่าแรงดันและกระแสที่แผลงโซล่าเซลล์ผลิตได้ โดยวิธีการปรับค่าความต้านทานของความต้านทานปรับค่าได้ที่นำมาระดับค่าที่ต้องการ นำข้อมูลแรงดันไฟฟ้าและกระแสไฟฟ้าของแผลงโซล่าเซลล์ที่ได้ มาคำนวณหากำลังไฟฟ้าที่แผลงโซล่าเซลล์ผลิตได้ ดังแสดงในตารางที่ 4.10

ตารางที่ 4.10 ตารางบันทึกข้อมูลเวลา 11.40 น.

ความต้านทาน [Ω]	แรงดัน [V]	กระแส [A]	กำลังไฟฟ้า [W]
1	0.269	1.69	0.45461
2.4	3.646	1.65	6.016
5	6.84	1.6	10.9
7.7	12.54	1.58	19.813
10.8	15.38	1.45	22.301
13.1	16.5	1.3	21.45
16	17.14	1.1	18.85
18.3	17.58	0.96	16.88
20.8	17.66	0.86	15.19
22.7	17.82	0.8	14.26
25.3	18.01	0.7	12.61
27.7	18.14	0.64	11.6096
30.6	18.24	0.6	10.94
32.5	18.31	0.56	10.25
34.4	18.4	0.52	9.56
36.1	18.45	0.49	9.041
720	19.06	0.14	2.668
1128	19.14	0.07	1.34
1440	19.25	0.02	0.385
1800	1927	0.01	0.193



รูปที่ 4.20 กราฟกระแสเทียบกับแรงดันเวลา 11.40 น.



รูปที่ 4.21 กราฟกำลังไฟฟ้าเทียบกับแรงดันเวลา 11.40 น.

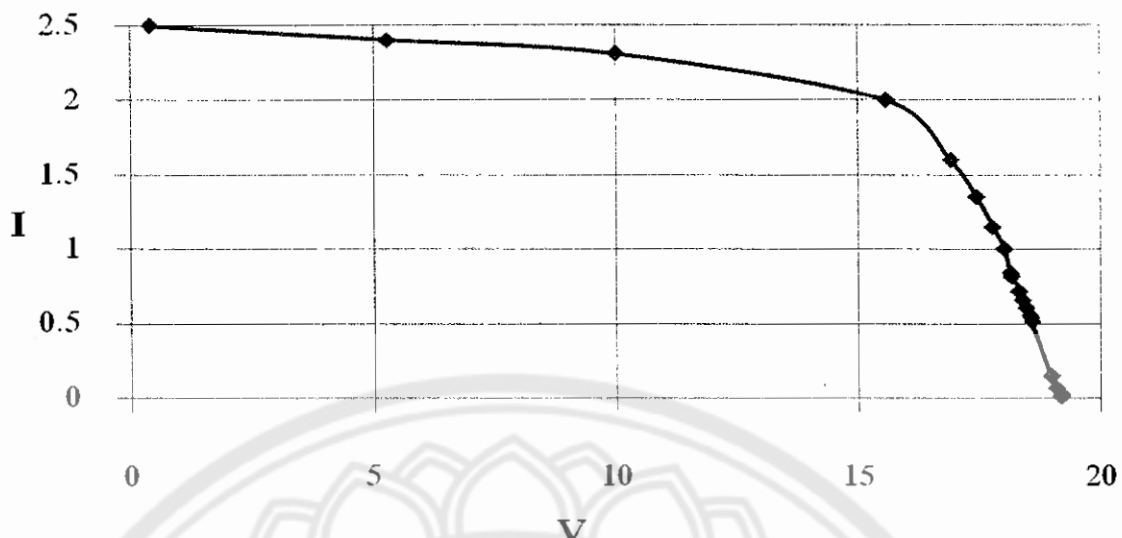
ค่ากระแสไฟฟ้าและค่าแรงดันไฟฟ้าที่แสดงในรูปที่ 4.20 เป็นการเก็บข้อมูลของแพงโซล่าเซลล์เวลา 11.40 น. โดยใช้ความค้านทานปรับค่าให้เป็นภาระโหลดทางด้านเอาต์พุต ของแพงโซล่าเซลล์ ซึ่งจากคุณสมบัติของแพงโซล่าเซลล์ เมื่อภาระโหลดทางด้านเอาต์พุตเปลี่ยนกำลังไฟฟ้าที่แพงโซล่าเซลล์ที่ผลิตได้จะเปลี่ยนไปด้วย ซึ่งหมายความว่า กระแสไฟฟ้าและค่าแรงดันไฟฟ้า ก็จะเปลี่ยนไปตามการปรับค่าภาระโหลดที่ต่อทางด้านเอาต์พุตของแพงโซล่าเซลล์ ณ เวลา 11.40 น.

จากตารางที่ 4.10 นำค่าแรงดันไฟฟ้า และค่ากำลังไฟฟ้า มาพล็อตกราฟเพื่อหาจุดที่มีกำลังไฟฟ้าสูงสุดของแพงโซล่าเซลล์ ดังแสดงไว้ในรูปที่ 4.21

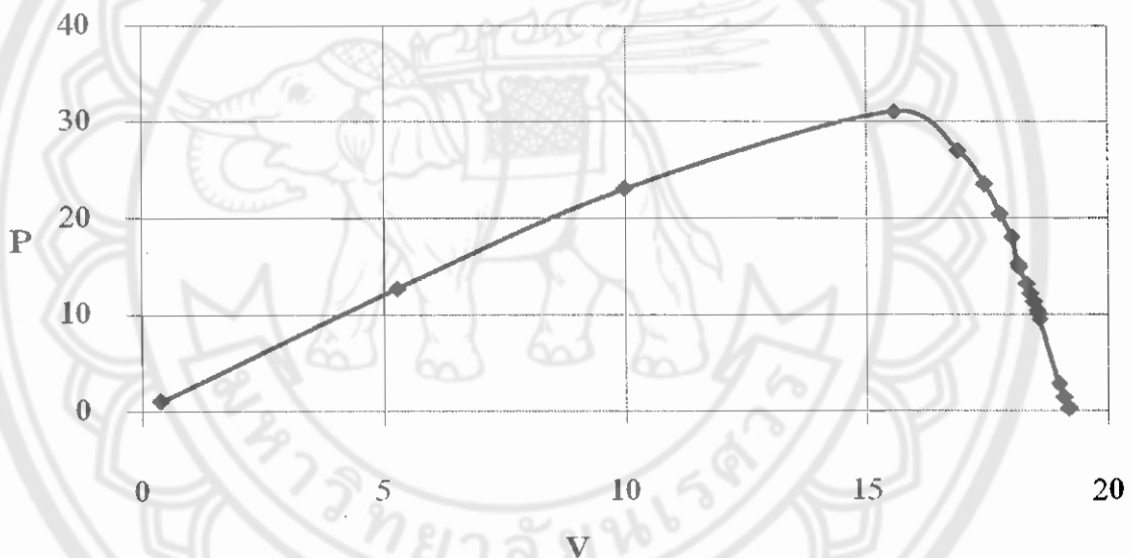
การเก็บข้อมูลของ peng โซล่าเซลล์ในเวลา 11.50 น. จะทำการเก็บค่าแรงดันและกระแสที่ peng โซล่าเซลล์ผลิตได้ โดยวิธีการปรับค่าความต้านทานของความต้านทานปรับค่าได้ที่นำมารอต่อค้านเอาต์พุตของ peng โซล่าเซลล์ นำเข้ามูลแรงดันไฟฟ้าและกระแสไฟฟ้าของ peng โซล่าเซลล์ที่ได้ มาคำนวณหากำลังไฟฟ้าที่ peng โซล่าเซลล์ผลิตได้ ดังแสดงในตารางที่ 4.11

ตารางที่ 4.11 ตารางบันทึกข้อมูลเวลา 11.50 น.

ความต้านทาน [Ω]	แรงดัน [V]	กระแส [A]	กำลังไฟฟ้า [W]
1	0.394	2.5	0.985
2.4	5.3	2.4	12.7
5	10	2.31	23.1
7.7	15.57	2	31.14
10.8	16.9	1.6	27.04
13.1	17.44	1.35	23.544
16	17.77	1.15	20.4355
18.3	18.01	1	18.01
20.8	18.13	0.84	15.2292
22.7	18.16	0.82	14.891
25.3	18.31	0.72	13.1832
27.7	18.39	0.66	12.137
30.6	18.46	0.61	11.261
32.5	18.53	0.56	10.3768
34.4	18.55	0.54	10.02
36.1	18.58	0.51	9.476
720	18.98	0.145	2.7521
1128	19.09	0.07	1.3363
1440	19.18	0.02	0.3836
1800	19.19	0.01	0.1919



รูปที่ 4.22 กราฟกระแสเทียบกับแรงดันเวลา 11.50 น.



รูปที่ 4.23 กราฟกำลังไฟฟ้าเทียบกับแรงดันเวลา 11.50 น.

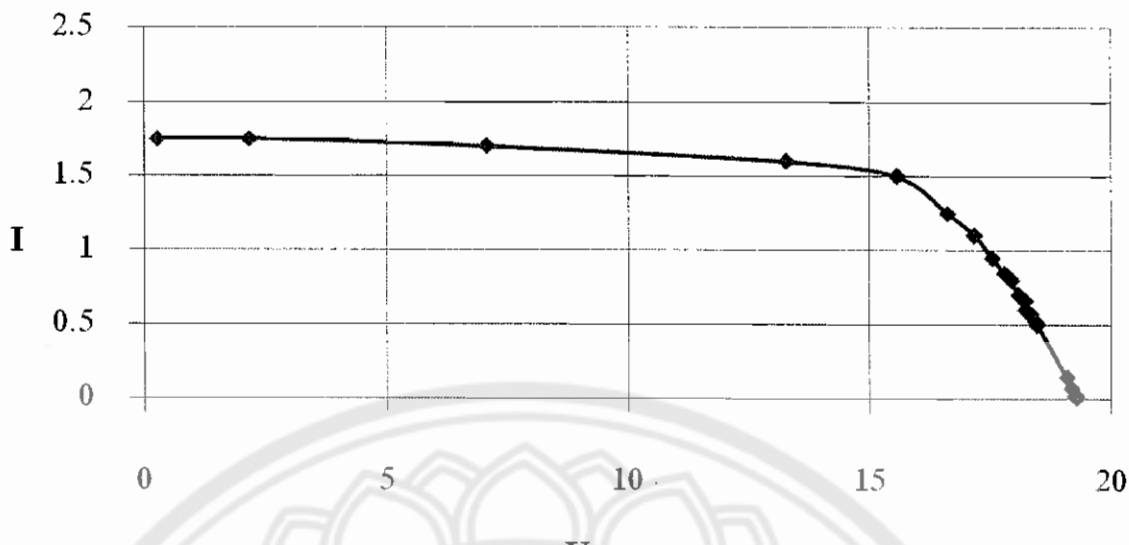
ค่ากระแสไฟฟ้าและค่าแรงดันไฟฟ้าที่แสดงในรูปที่ 4.22 เป็นการเก็บข้อมูลของแรงไฟลั่นเซลล์เวลา 11.50 น. โดยใช้ความด้านทานปรับค่าໄค์เป็นภาระโหลดทางด้านเอาต์พุต ของแผงโซล่าเซลล์ ซึ่งจากคุณสมบัติของแผงโซล่าเซลล์ เมื่อภาระโหลดทางด้านเอาต์พุตเปลี่ยนกำลังไฟฟ้าที่แผงโซล่าเซลล์ที่ผลิตได้ก็จะเปลี่ยนไปด้วย ซึ่งหมายความว่า กระแสไฟฟ้าและค่าแรงดันไฟฟ้า ก็จะเปลี่ยนไปตามการปรับค่าภาระโหลดที่ต่อทางด้านเอาต์พุตของแผงโซล่าเซลล์ ณ เวลา 11.50 น.

จากตารางที่ 4.11 นำค่าแรงดันไฟฟ้า และค่ากำลังไฟฟ้า มาพล็อตกราฟเพื่อหาจุดที่มีกำลังไฟฟ้าสูงสุดของแผงโซล่าเซลล์ ดังแสดงไว้ในรูปที่ 4.23

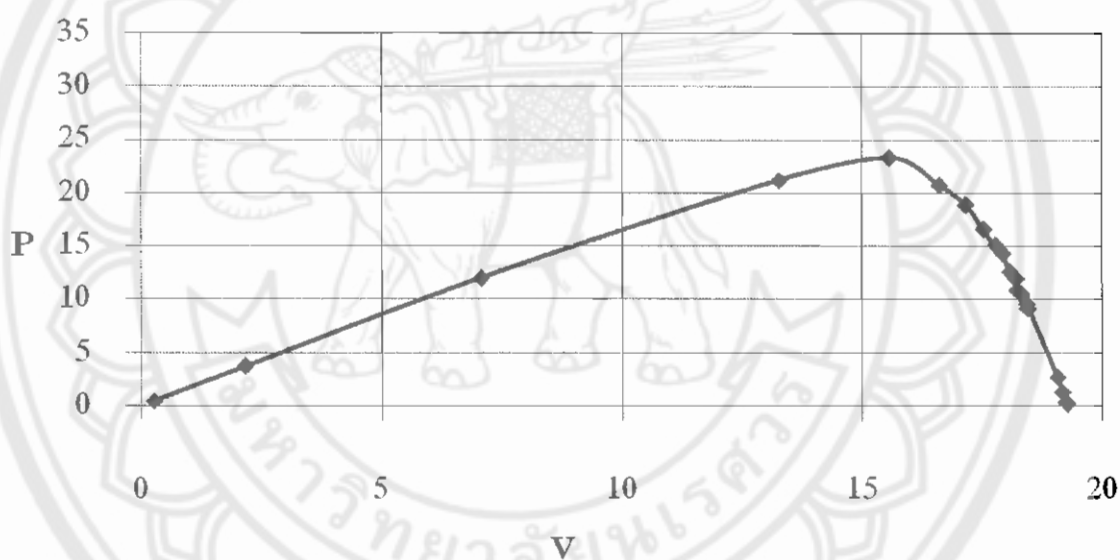
การเก็บข้อมูลของแ朋โซ่ล่าเซลล์ในเวลา 12.00 น. จะทำการเก็บค่าแรงดันและกระแสที่แ朋โซ่ล่าเซลล์ผลิตได้ โดยวิธีการปรับค่าความต้านทานของความต้านทานปรับค่าได้ที่นำมาต่อค้านเอาต์พุตของแ朋โซ่ล่าเซลล์ นำข้อมูลแรงดันไฟฟ้าและกระแสไฟฟ้าของแ朋โซ่ล่าเซลล์ที่ได้ มาคำนวณหา กำลังไฟฟ้าที่แ朋โซ่ล่าเซลล์ผลิตได้ ดังแสดงในตารางที่ 4.12

ตารางที่ 4.12 ตารางบันทึกข้อมูลเวลา 12.00 น.

ความต้านทาน [Ω]	แรงดัน [V]	กระแส [A]	กำลังไฟฟ้า [W]
7.7	13.27	1.6	21.232
10.8	15.57	1.5	23.355
13.1	16.61	1.25	20.763
16	17.17	1.1	18.887
18.3	17.53	0.95	16.6535
20.8	17.78	0.85	15.113
22.7	17.93	0.8	14.34
25.3	18.08	0.7	12.66
27.7	18.21	0.66	12.0186
30.6	18.24	0.6	10.94
32.5	18.33	0.57	10.45
34.4	18.43	0.52	9.5836
36.1	18.47	0.5	9.235
720	19.08	0.145	2.7666
1128	19.18	0.07	1.3426
1440	19.26	0.02	0.385
1800	19.28	0.01	0.1928



รูปที่ 4.24 กราฟกระแสไฟฟ้าเทียบกับแรงดันเวลา 12.00 น.



รูปที่ 4.25 กราฟกำลังไฟฟ้าเทียบกับแรงดันเวลา 12.00 น.

ค่ากระแสไฟฟ้าและค่าแรงดันไฟฟ้าที่แสดงในรูปที่ 4.24 เป็นการเก็บข้อมูลของแผงโซล่าเซลล์เวลา 12.00 น. โดยใช้ความต้านทานปรับค่าให้เป็นกระแสโหลดทางด้านเอาต์พุต ของแผงโซล่าเซลล์ ซึ่งจากคุณสมบัติของแผงโซล่าเซลล์ เมื่อกระแสโหลดทางด้านเอาต์พุตเปลี่ยนกำลังไฟฟ้าที่แผงโซล่าเซลล์ที่ผลิตได้ก็จะเปลี่ยนไปด้วย ซึ่งหมายความว่า กระแสไฟฟ้าและค่าแรงดันไฟฟ้า ก็จะเปลี่ยนไปตามการปรับค่ากระแสโหลดที่ต่อทางด้านเอาต์พุตของแผงโซล่าเซลล์ ณ เวลา 12.00 น.

จากการที่ 4.12 นำค่าแรงดันไฟฟ้า และค่ากำลังไฟฟ้า มาพล็อตกราฟเพื่อหาจุดที่มีกำลังไฟฟ้าสูงสุดของแผงโซล่าเซลล์ ดังแสดงไว้ในรูปที่ 4.25

จากข้อมูลที่ทำการบันทึกพฤติกรรมของแสงโซล่าเซลล์ตั้งแต่เวลา 10.10 น. - 12.00 น. นำมาบันทึกค่าลงในตารางที่ 4.13 จากนั้น วิเคราะห์ข้อมูล โดยใช้ข้อมูลในช่วงเวลา 10.10 น. เป็นข้อมูลในการเปรียบเทียบข้อมูลของช่วงเวลาต่าง ๆ

ตารางที่ 4.13 ตารางรวมรวมข้อมูล

เวลา	ความเข้ม แสง (W/m ²)	อุณหภูมิ แวดล้อม [°C]	อุณหภูมิบันแพง โซล่าเซลล์ [°C]	แรงดัน [V]	กระแส [A]	กำลังไฟฟ้า [W]
10.10 น.	265.5	29.2	29.3	15.4	1.753	26.9962
10.20 น.	338.61	28.7	32.1	15	1.7267	25.9005
10.30 น.	278.96	29.6	33.2	15.1	1.397	21.0947
10.40 น.	292.43	28.4	31.5	15.72	1.5	23.58
10.50 น.	267.42	28.9	33.6	15	1.3267	19.9005
11.00 น.	282.81	30.1	34.1	15.18	1.46	22.1628
11.10 น.	402.09	30.4	32.4	14.6	2.034	29.6964
11.20 น.	373.24	30.9	34.3	16.4	1.646	26.9944
11.30 น.	292.43	29	33.6	15.3	1.464	22.3992
11.40 น.	277.04	31	34.1	15.8	1.43	22.594
11.50 น.	438.65	29.5	30.2	15.9	1.956	31.1004
12.00 น.	321.29	32.3	30.8	15.57	1.5	23.355

- จากตารางที่ 4.13 ให้ ข้อมูลเวลา 10.10 น. เป็นข้อมูลในการเปรียบเทียบกับข้อมูลทั้งหมด
- 10.10 น. เทียบกับเวลา 10.20 น. เนื่องจากค่าความเข้มแสงมีค่าเพิ่มขึ้น และค่าอุณหภูมิบันแพงโซล่าเซลล์เพิ่มขึ้น ทำให้ค่าแรงดัน, กระแส และค่ากำลังไฟฟ้าลดลง
 - 10.10 น. เทียบกับเวลา 10.30 น. เนื่องจากค่าความเข้มแสงมีค่าเพิ่มขึ้น และค่าอุณหภูมิบันแพงโซล่าเซลล์เพิ่มขึ้น ทำให้ค่าแรงดัน, มีค่ากระแส และค่ากำลังไฟฟ้าลดลง
 - 10.10 น. เทียบกับเวลา 10.40 น. เนื่องจากค่าความเข้มแสงมีค่าเพิ่มขึ้น และค่าอุณหภูมิบันแพงโซล่าเซลล์เพิ่มขึ้น ทำให้ค่าแรงดันเพิ่มขึ้น ค่ากระแส และค่ากำลังไฟฟ้าลดลง

- 10.10 น. เที่ยบกับเวลา 10.50 น. เนื่องจากค่าความเข้มแสงมีค่าเพิ่มขึ้น และค่าอุณหภูมินั้น peng โซล่าเซลล์เพิ่มขึ้น ทำให้ค่าแรงดัน, ค่ากระแส และค่ากำลังไฟฟ้าลดลง
- 10.10 น. เที่ยบกับเวลา 11.00 น. เนื่องจากค่าความเข้มแสงมีค่าเพิ่มขึ้น และค่าอุณหภูมินั้น peng โซล่าเซลล์เพิ่มขึ้น ทำให้ค่าแรงดันค่ากระแส และค่ากำลังไฟฟ้าลดลง
- 10.10 น. เที่ยบกับเวลา 11.10 น. เนื่องจากค่าความเข้มแสงมีค่าเพิ่มขึ้น และค่าอุณหภูมินั้น peng โซล่าเซลล์เพิ่มขึ้น ทำให้ค่าแรงดันลดลง ค่ากระแส และค่ากำลังไฟฟ้าเพิ่มขึ้น
- 10.10 น. เที่ยบกับเวลา 11.20 น. เนื่องจากค่าความเข้มแสงมีค่าเพิ่มขึ้น และค่าอุณหภูมินั้น peng โซล่าเซลล์เพิ่มขึ้น ทำให้ค่าแรงดันเพิ่มขึ้น ค่ากระแส และค่ากำลังไฟฟ้าลดลง
- 10.10 น. เที่ยบกับเวลา 11.30 น. เนื่องจากค่าความเข้มแสงมีค่าเพิ่มขึ้น และค่าอุณหภูมินั้น peng โซล่าเซลล์เพิ่มขึ้น ทำให้ค่าแรงดัน, ค่ากระแส และค่ากำลังไฟฟ้าลดลง
- 10.10 น. เที่ยบกับเวลา 11.40 น. เนื่องจากค่าความเข้มแสงมีค่าเพิ่มขึ้น และค่าอุณหภูมินั้น peng โซล่าเซลล์เพิ่มขึ้น ทำให้ค่าแรงดันเพิ่มขึ้น ค่ากระแส และค่ากำลังไฟฟ้าลดลง
- 10.10 น. เที่ยบกับเวลา 11.50 น. เนื่องจากค่าความเข้มแสงมีค่าเพิ่มขึ้น และค่าอุณหภูมินั้น peng โซล่าเซลล์เพิ่มขึ้น ทำให้ค่าแรงดัน, ค่ากระแส และค่ากำลังไฟฟ้าเพิ่มขึ้น
- 10.10 น. เที่ยบกับเวลา 12.00 น. เนื่องจากค่าความเข้มแสงมีค่าเพิ่มขึ้น และค่าอุณหภูมินั้น peng โซล่าเซลล์เพิ่มขึ้น ทำให้ค่าแรงดันเพิ่มขึ้น ค่ากระแส และค่ากำลังไฟฟ้าลดลง

จากการเก็บข้อมูลของ peng โซล่าเซลล์นำมายิเคราะห์พุติกรรมของ peng โซล่าเซลล์พบว่า ความเข้มแสงและอุณหภูมิจะมีความสัมพันธ์กับการผลิตกำลังไฟฟ้าของ peng โซล่าเซลล์ ซึ่งจากการเก็บข้อมูลของ peng โซล่าเซลล์พบว่า peng โซล่าเซลล์จะสามารถผลิตกำลังไฟฟ้าได้ดีที่สุดเมื่อความเข้มแสงที่มีค่ามาก และค่าอุณหภูมิที่มีค่าต่ำ

4.2 ทำการทดสอบที่ห้องทดลอง

การทดสอบในห้องทดลองนั้น ได้ทำการต่อแหล่งจ่ายไฟกระแสตรงแทนค่าแรงดันของ เชนเชอร์แสง, เชนเชอร์วัดอุณหภูมิ และแรงดันไฟฟ้าจาก peng โซล่าเซลล์ โดยการป้อนค่าแรงดันสมมติ จากข้อมูลการเก็บค่า เพื่อใช้เป็นสัญญาณไฟฟ้าให้กับ ไมโครคอนโทรลเลอร์ PIC 18F458 ในการประมวลผลของโปรแกรม โครงข่ายประสาทเทียม ผลการทดสอบมีค่าดังต่อไปนี้



รูปที่ 4.26 การทดสอบในห้องทดลอง

ตารางที่ 4.14 ผลการทดลองในห้องทดลอง

แรงดัน [V]					% ความคลาดเคลื่อน	คิวตี้ไซเคิลจาก การคำนวณ	คิวตี้ไซเคิล ที่วัดจริง	% ความคลาดเคลื่อนคิวตี้ไซเคิล
V _{IN}	V _{LDR}	V _{TER}	V _{NN}	V _{OUT}				
9	1.3	2.49	17.387	16.85	3.0885	0.4824	0.4659	3.4199
10	1.16	2.43	15.029	14.76	1.7899	0.3346	0.3225	3.624
11	1.17	2.43	15.182	14.82	2.3844	0.2755	0.2578	6.4249
12	1.14	2.47	16.692	16.29	2.4083	0.2811	0.2634	6.3114
13	1.28	2.41	15.134	14.83	2.0087	0.141	0.1234	12.4877
14	1.18	2.45	15.13	14.83	1.9828	0.0747	0.056	25.0628
15	1.01	2.46	13.594	14.71	-8.2095	-0.1034	-0.0197	80.9389
16	1.15	2.26	16.407	15.74	4.0653	0.0248	-0.0165	166.5891
17	1.15	2.42	15.186	16.67	-9.7722	-0.1195	-0.0198	83.4276
18	1.21	2.42	15.762	17.64	-11.9147	-0.142	-0.0204	85.6267

จากตาราง V_{IN} = แรงดันไฟฟ้าจากแหล่งจ่ายที่สมมติค่าแทนแรงดันไฟฟ้าจากแผงโซล่าเซลล์
 V_{LDR} = แรงดันไฟฟ้าจากแหล่งจ่ายที่สมมติค่าแทนแรงดันไฟฟ้าจากเซนเซอร์แสง
 V_{TER} = แรงดันไฟฟ้าจากแหล่งจ่ายที่สมมติค่าแทนแรงดันไฟฟ้าจากเซนเซอร์วัดอุณหภูมิ
 V_{NN} = แรงดันไฟฟ้าจากโปรแกรมนิวรอน ที่คำนวณได้
 V_{OUT} = แรงดันไฟฟ้าจากการวัดค่า

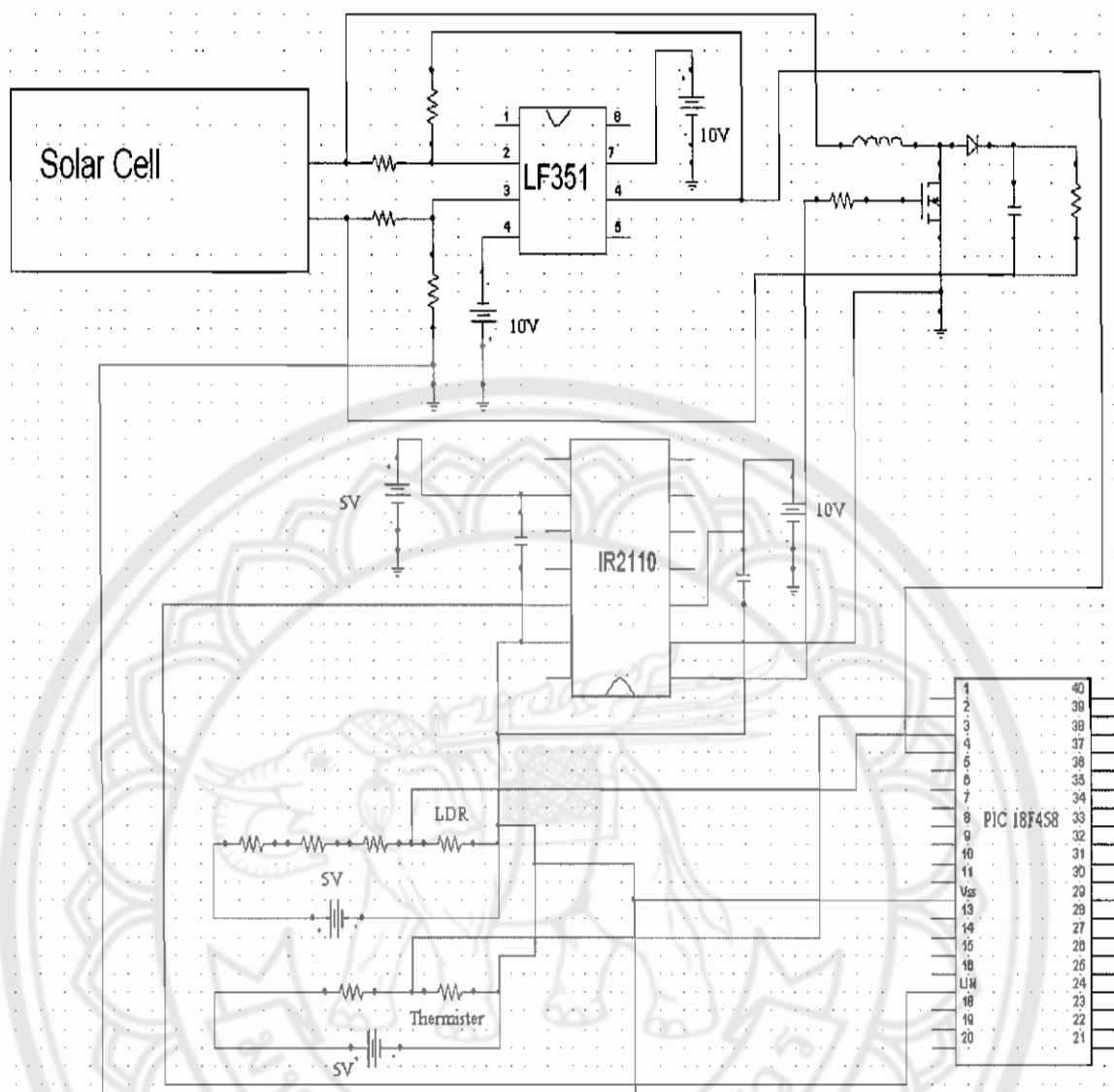
คิวตี้โซล่าเซลล์จากการคำนวณ คือ ค่าคิวตี้โซล่าเซลล์ที่คำนวณจาก V_{IN} เทียบกับ V_{NN}
 คิวตี้โซล่าเซลล์ที่วัดจริง คือ ค่าคิวตี้โซล่าเซลล์ที่คำนวณจาก V_{IN} เทียบกับ V_{OUT}
 % ความคลาดเคลื่อน คือ เปอร์เซ็นต์ความคลาดเคลื่อนระหว่าง V_{NN} กับ V_{OUT}
 % ความคลาดเคลื่อนคิวตี้โซล่าเซลล์ คือ เปอร์เซ็นต์ความคลาดเคลื่อนระหว่างคิวตี้โซล่าเซลล์จากการคำนวณ กับ คิวตี้โซล่าเซลล์ที่วัดจริง

วิเคราะห์ผลการทดสอบ

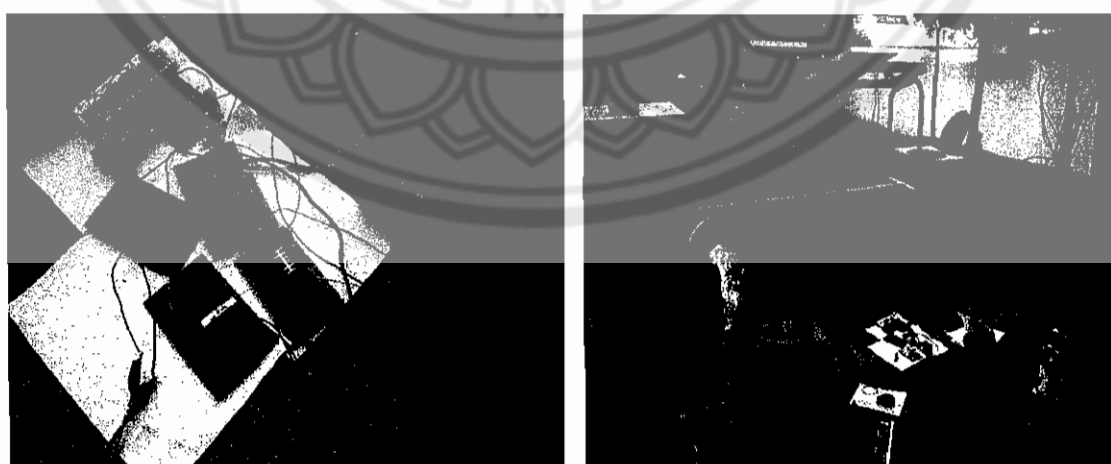
จากการทดสอบได้ป้อนแรงดันไฟฟ้า แทนค่าเซนเซอร์แสงและเซนเซอร์วัดอุณหภูมิ โดยให้ป้อนค่าแรงดันไฟฟ้า ตามข้อมูลการเก็บข้อมูลในตารางที่ 4.13 และได้สมมติให้แรงดันที่ออกจากแผงโซล่าเซลล์มีค่าตั้งแต่ 9 - 18 V ทำการประมวลผลด้วยโปรแกรม โครงข่ายประสาทเทียม จะได้ค่าแรงดันเอาต์พุตที่ควรได้ และวัดค่าแรงดันเอาต์พุตที่ได้ นำมาเปรียบเทียบกับค่าที่คำนวณได้พบว่า แรงดันอินพุต มีค่าน้อยกว่าแรงดันที่โครงข่ายประสาทเทียมคำนวณได้ ไม่ครอบคลุมอย่างต่อเนื่องสั่งให้เพิ่มค่าคิวตี้โซล่าเซลล์เพิ่มขึ้น เพื่อให้มีค่าแรงดันเอาต์พุต ที่วัดได้มีค่าใกล้เคียงกับค่าแรงดันที่โครงข่ายประสาทเทียมคำนวณได้ ดังแสดงไว้ในตารางที่ 4.14 ถ้าแรงดันอินพุต มีค่ามากกว่าแรงดันที่โครงข่ายประสาทเทียมคำนวณได้ ค่าคิวตี้โซล่าเซลล์ มีค่าติดลบ ซึ่งเป็นค่าที่คำนวณได้ ซึ่งค่าคิวตี้โซล่าเซลล์ที่ได้ริบบันจะเท่ากับ 0% ด้วยเนื่องจาก ได้กำหนดค่าคิวตี้โซล่าเซลล์มีค่าตั้งแต่ 0 - 100%

4.2 ทำการทดสอบที่วิทยาลัยพลังงานทดแทน

การทดสอบที่วิทยาลัยพลังงานทดแทนนั้น ได้ทำการต่อแผงโซล่าเซลล์เข้ากับชุดอุปกรณ์ที่สร้างขึ้นมาเพื่อใช้หาจุดที่มีกำลังไฟฟ้าสูงสุดของแผงโซล่าเซลล์ตั้งรูปที่ 4.27 ผลที่ได้จากการทดสอบมีค่าดังตารางที่ 4.15



รูปที่ 4.27 วงจรรวมที่ใช้ในการทำงาน



รูปที่ 4.28 อุปกรณ์การทดสอบที่วิทยาลัยพลังงานทดแทน

ตารางที่ 4.15 ผลการทดลองที่วิทยาลัยพลังงานทดแทน

แรงดัน [V]					% ความคลาดเคลื่อน	ค่าตัวไซเคิลจากการคำนวณ	ค่าตัวไซเคิลที่วัดจริง
V_{IN}	V_{LDR}	V_{TER}	V_{NN}	V_{OUT}			
17.32	0.66	2.247	16.319	15.91	2.506	-0.061	-0.089
16.35	0.714	2.307	15.794	15.38	2.621	-0.035	-0.063
15.24	0.664	2.247	16.321	15.91	2.518	0.066	0.042
15.7	0.914	2.319	15.919	15.37	3.449	0.014	-0.021
18.6	0.539	2.147	16.723	16.17	3.307	-0.112	-0.150
18.42	0.931	2.013	16.813	16.26	3.289	-0.096	-0.133
17.53	0.801	2.203	16.583	16.05	3.214	-0.057	-0.092
17.01	1.011	2.095	16.721	16.11	3.654	-0.017	-0.056
15.94	1.263	2.185	16.837	16.21	3.724	0.053	0.017
16.32	0.975	2.017	16.771	16.17	3.584	0.027	-0.009

จากตาราง

 V_{IN} = แรงดันไฟฟ้าจากแบงค์ค่าเซลล์ V_{LDR} = แรงดันไฟฟ้าจากเซนเซอร์แสง V_{TER} = แรงดันไฟฟ้าจากเซนเซอร์วัดอุณหภูมิ V_{NN} = แรงดันไฟฟ้าจากโปรแกรมนิวรอน ที่คำนวณได้ V_{OUT} = แรงดันไฟฟ้าจากการวัดค่าค่าตัวไซเคิลจากการคำนวณ คือ ค่าค่าตัวไซเคิลที่คำนวณจาก V_{IN} เทียบกับ V_{NN} ค่าตัวไซเคิลที่วัดจริง คือ ค่าค่าตัวไซเคิลที่คำนวณจาก V_{IN} เทียบกับ V_{OUT} % ความคลาดเคลื่อน คือ เปอร์เซ็นต์ความคลาดเคลื่อน ระหว่าง V_{NN} กับ V_{OUT}

% ความคลาดเคลื่อนค่าตัวไซเคิล คือ เปอร์เซ็นต์ความคลาดเคลื่อน ระหว่างค่าตัวไซเคิลจากการคำนวณ กับ ค่าตัวไซเคิลที่วัดจริง

วิเคราะห์ผลการทดลอง

ทำการเก็บข้อมูลจากการค่อวงจรดังรูป 4.27 เริ่มเก็บข้อมูลตั้งแต่เวลา 10.30 น. - 12.00 น. ได้ข้อมูลดังตารางที่ 4.15 ที่แรงดันไฟฟ้าจากแบงค์ค่าเซลล์น้อยกว่า แรงดันที่โครงข่ายประสาทเทียมคำนวณได้ ไม่吻合 con โทรลเลอร์จะสั่งให้เพิ่มค่าตัวไซเคิล เพียงเล็กน้อยเนื่องจาก ค่าของ แรงดัน

เจ้าต์พุตที่วัดได้มีค่าไก่คีบกับค่าแรงดันที่โครงข่ายประสาทเทียมคำนวณได้ และถ้าแรงดันไฟฟ้าจากแสงโซล่าเซลล์มีค่ามากกว่าแรงดันที่โครงข่ายประสาทเทียมคำนวณได้ ดังแสดงไว้ในตารางที่ 4.15 ค่าดิวตี้ไซเคิล มีค่าติดลบ ซึ่งเป็นค่าที่คำนวณได้ ซึ่งค่าดิวตี้ไซเคิลที่ได้จริงนั้นจะเท่ากับ 0% ด้วยเนื่องจาก ได้กำหนดค่าดิวตี้ไซเคิลมีค่าตั้งแต่ 0 - 100%



บทที่ 5

บทสรุป

จากผลการทดสอบการหาจุดที่มีกำลังไฟฟ้าสูงสุดของแพงโซล่าเซลล์ โดยใช้โครงข่ายประสาท เที่ยวนมาสรุปผลการทดสอบและปัญหาข้อเสนอแนะดังนี้

5.1 สรุปผล

จากการเก็บข้อมูลของแพงโซล่าเซลล์เมื่อนำมาวิเคราะห์พอดีกรรมของแพงโซล่าเซลล์จะได้ว่า แพงโซล่าเซลล์จะมีจุดการทำงานหลายจุด ซึ่งขึ้นอยู่กับภาระ โหลดที่ด่อความด้านทานเอาต์พุต แต่จะมี จุดทำงานที่ทำให้แพงโซล่าเซลล์ผลิตกำลังไฟฟ้าได้สูงสุดเพียงจุดเดียวเท่านั้น นอกจากนี้ผลของความ เข้มแสงและอุณหภูมิจะมีความสัมพันธ์กับการผลิตกำลังไฟฟ้าของแพงโซล่าเซลล์ ซึ่งจากการเก็บ ข้อมูลของแพงโซล่าเซลล์พบว่าแพงโซล่าเซลล์จะสามารถผลิตกำลังไฟฟ้าได้ดีที่ค่าความเข้มแสงที่มีค่า มากและค่าอุณหภูมิที่มีค่าต่ำ

การหาจุดที่มีกำลังไฟฟ้าสูงสุดของแพงโซล่าเซลล์ จะทำโดยปรับค่าคิวต์ไซเคิลที่เหมาะสม ให้กับวงจรบูสต์คอนเวอร์เตอร์ด้วยไมโครคอนโทรลเลอร์เพื่อปรับค่าแรงดันเอาต์พุตให้สอดคล้องกับค่า แรงดันที่โครงข่ายประสาทเที่ยวนวิเคราะห์ ซึ่งได้ถูกพัฒนาในโครงงานนี้

จากการทดสอบในห้องทดลองพบว่า เมื่อแรงดันเอาต์พุตจากแพงโซล่าเซลล์มีค่าน้อยกว่าค่า แรงดันที่โครงข่ายประสาทเที่ยวนวิเคราะห์ได้ ไมโครคอนโทรลเลอร์จะสั่งเพิ่มค่าคิวต์ไซเคิลจนค่า แรงดันเอาต์พุตเท่ากับแรงดันที่โครงข่ายประสาทเที่ยวนสามารถวิเคราะห์ได้เดิมไม่เกิน 100% เนื่องจาก วงจรบูสต์คอนเวอร์เตอร์มีช่วงการทำงานที่คิวต์ไซเคิล 0 - 100% และเมื่อแรงดันเอาต์พุตจากแพงโซล่า เซลล์มีค่ามากกว่าหรือเท่ากับค่าแรงดันที่โครงข่ายประสาทเที่ยวนวิเคราะห์ ไมโครคอนโทรลเลอร์จะสั่ง ลดค่าคิวต์ไซเคิลจนมีค่าเท่ากับ 0% ในกรณีที่ว่านี้เมื่อค่าคิวต์ไซเคิลเท่ากับ 0% ค่าแรงดันเอาต์พุตจะต้อง เท่ากับค่าแรงดันอินพุต

จากการทดลองของจริงที่วิทยาลัยพลังงานทดแทนพบว่าค่าแรงดันเอาต์พุตที่ได้ออกมา มีค่า แรงดัน ที่ต่ำกว่าแรงดันเอาต์พุตที่คำนวณจากโครงข่ายประสาทเที่ยวนสามารถวิเคราะห์ได้ ต่ำกว่าประมาณ 3.1866 % ผลของการปรับเพิ่มค่าคิวต์ไซเคิลเพื่อเพิ่มแรงดันเอาต์พุตของวงจรจะเพิ่มไม่เกิน 10% เนื่องจากค่าแรงดันเอาต์พุตของแพงโซล่าเซลล์มีค่าใกล้เคียงกับค่าแรงดันที่โครงข่ายประสาทเที่ยวนวิเคราะห์ได้ เมื่อแรงดันเอาต์พุตจากแพงโซล่าเซลล์มีค่ามากกว่าหรือเท่ากับค่าแรงดันที่โครงข่ายประสาทเที่ยวนวิเคราะห์ จะไม่มีการเพิ่มแรงดันเอาต์พุต ไมโครคอนโทรลเลอร์จะทำการสั่งลดค่าคิวต์ไซเคิลจนมีค่าเท่ากับ 0% ในกรณีดังกล่าวเมื่อค่าคิวต์ไซเคิลเท่ากับศูนย์ค่าแรงดันเอาต์พุตจะต้องเท่ากับ แรงดันอินพุต แต่ค่าคิวต์ไซเคิลที่คำนวณได้จากผลทดลอง มีค่าติดลบนั้น เป็นผลจากแรงดันตกร่อง

ภายในของตัวอุปกรณ์ ซึ่งค่าดิวตี้ไซเคิลที่ใช้สั่งงานรูบสกอนเวอร์เตอร์นั้นมีค่าเท่ากับ 0% เนื่องจากโปรแกรมได้กำหนดค่าของดิวตี้ไซเคิลไว้ที่ 0 – 100%

สรุปการหาจุดที่มีกำลังไฟฟ้าสูงสุดของแ朋โซล่าเซลล์ ในโครคอลโทรลเลอร์จะทำการปรับค่าดิวตี้ไซเคิลตั้งแต่ 0 – 10% เนื่องจากค่าแรงดันเอาต์พุตของแ朋โซล่าเซลล์มีค่าใกล้เคียงกับแรงดันที่โกรงข่ายประสาทเที่ยมวิเคราะห์ได้ทำให้ได้ค่ากำลังไฟฟ้าสูงสุดตามต้องการ

5.2 ปัญหาและข้อเสนอแนะ

1. การเก็บข้อมูลพฤติกรรมของแ朋โซล่าเซลล์ จะต้องทำการจดบันทึกอย่างรวดเร็ว เพราะความเข้มแสงจะเปลี่ยนค่าเร็วมาก อาจทำให้ข้อมูลที่บันทึกมาไม่ได้ ต้องบันทึกค่าใหม่
2. ควรกำหนดให้ชั้นของโกรงข่ายประสาทเที่ยมมากขึ้น เพื่อลดความคลาดเคลื่อนของการคำนวณค่าเอาต์พุต
3. ในการโปรแกรมลงในโครคอนโทรลเลอร์ ควรโปรแกรมทีละโปรแกรมเพื่อตรวจสอบว่าส่วนใดผิด 既然นี้ก็แสดงผลขึ้นคอมพิวเตอร์ผ่านโปรแกรม HyperTerminal เพื่อตรวจสอบการแปลงค่าอนามอกเป็นค่าดิจิตอล
4. ควรคำนึงถึงขาแรงดันไฟฟ้าที่จ่ายให้กับ PIC 18F458 ไม่ควรเกิน 5 V มิฉะนั้นอุปกรณ์จะเสียหาย
5. ควรคำนึงถึงค่าความสูญเสียในอุปกรณ์ เพราะ กำลังไฟฟ้าของแ朋โซล่าเซลล์มีค่าน้อยถ้ามีความสูญเสียในอุปกรณ์มาก จะได้กำลังไฟฟ้าที่มีค่าน้อยลงที่ควรจะเป็น

เอกสารอ้างอิง

- [1] กรีนເອັນເພາວເວອຣ໌ມັນທໍ ແລະພລັງໄທ. “ຄູນມີການຝຶກສອນຮະບນໄຟຟ້າໂຫລາ໌ເຊລດ໌.”[Online]. Available: <http://www.palangthai.org/docs/PVUserManualThai.pdf>
- [2] ຮສ.ຄຣ.ວິໄຮຍ່ງ ຂັ້ນເຈີນ ແລະ ຖຸພືພ ດາວາທີ່ເສດຖະກິດ. “ອີເລີກທອນນິກສໍກຳລັງ **Power Electronics.**” ກຽມທະນາຄຣ : ທ້າງຖິ່ນສ່ວນຈຳກັດ ວ.ເຈ.ພຣິ່ນດັ່ງ. 2549.
- [3] “ໂຄຮງຂ່າຍປະສາກເທິຍນ **Artificial Neural Network.**” [Online]. Available: http://202.28.94.55/web/320417/2548/work1/g26/Files/Report_Neural%20Network.doc
- [4] “ຕັ້ງຕ້ານການໄວແສງ.” [Online]. Available: <http://www.elecnet.chandra.ac.th/learn/tipntrick/ldr/default.htm>
- [5] ສູງຍິ່ງ ໂປຖາສາຍ. “ເຫອົ່ມສເດອ໌ແລະ ວາຣິສເດອ໌.” [Online]. Available: http://www.sptc.ac.th/prapruet/devicesweb/books/book_12.htm
- [6] ພຸຖທພງສ໌ ເຮືອງຖທ໌. “ຮະບນກາຮຄວນຄຸນແສງສ່ວ່າງຕັ້ງຢືນໂຄຮກໂຄຣຄອນໂກຮລເລອ໌.” ປະລຸງຍານີພນໍວິສວກຮມສາຕຣບັນຫຼືຕ ສາຂາວິສວກຮມໄຟຟ້າ. ນາງວິທາລິນເຮົວ 2549.





ภาคผนวก ก

โครงการข่ายประสานเที่ยม

พิพิธภัณฑสถานแห่งชาติ
สถาบันวิจัยศิลปวัฒนธรรม

โปรแกรม

%% input

```
r=[1.304 1.16 1.168 1.143 1.284 1.18 1.011 1.147 1.154 1.213 0.909 1.496];
t=[2.486 2.431 2.432 2.465 2.411 2.452 2.464 2.263 2.418 2.418 2.32 2.35];
```

%% output

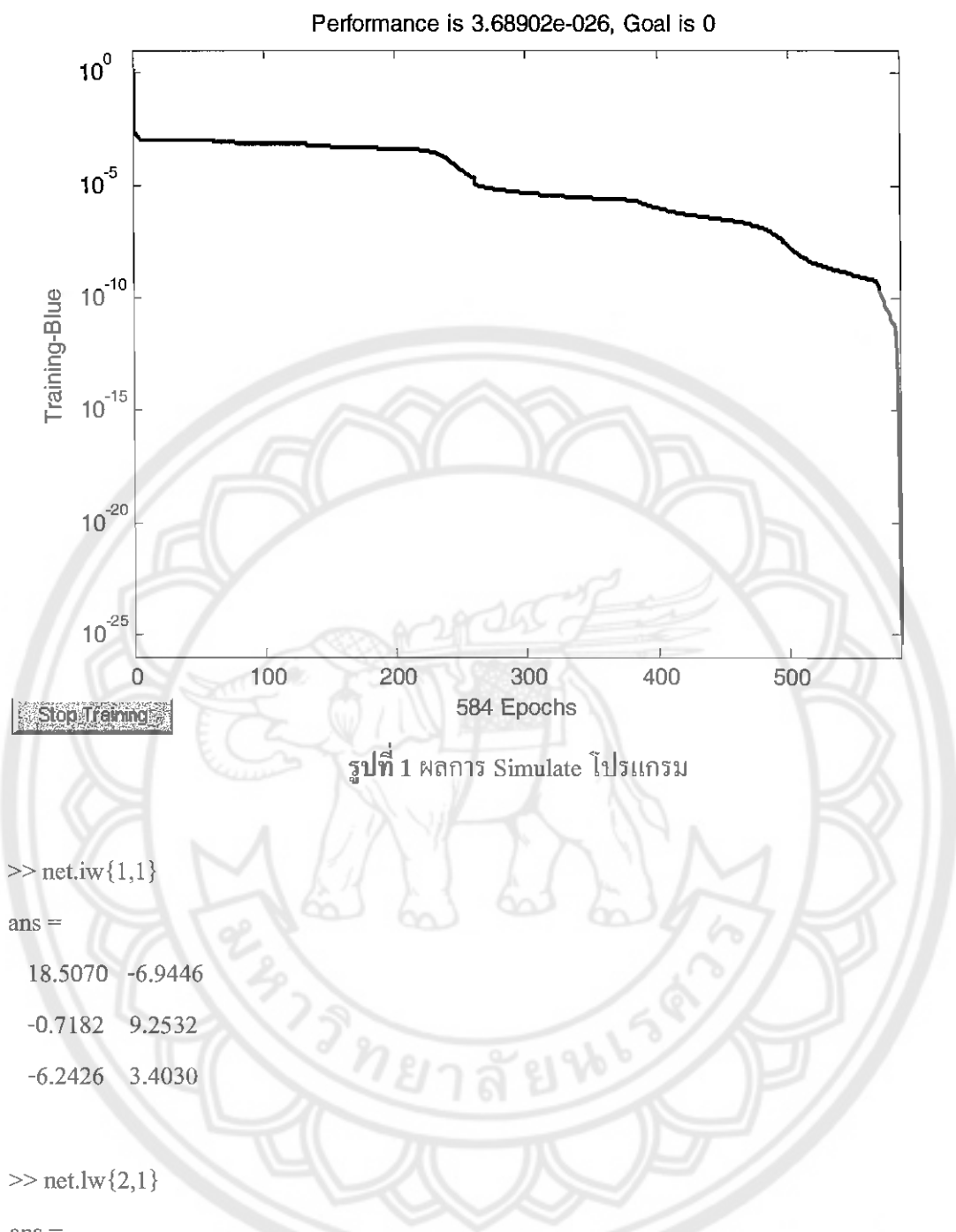
```
%i=[1.753 1.7267 1.397 1.5 1.3267 1.46 2.034 1.646 1.464 1.43 1.956 1.5];
v=[15.4 15 15.1 15.72 15 15.18 14.6 16.4 15.3 15.8 15.9 15.57];
vn = v/10
```

```
net=newff([0 5;0 5],[3 3 1],{'logsig' 'logsig' 'purelin'})
```

```
Y=sim(net,[r;t])
```

```
net.trainParam.epochs=2500
```

```
net=train(net,[r;t],[vn])
```



```
>> net.iw{1,1}
ans =
18.5070 -6.9446
-0.7182 9.2532
-6.2426 3.4030
```

```
>> net.lw{2,1}
ans =
5.1929 -5.2419 3.7964
10.7373 -15.4508 5.9353
-2.9058 -17.9693 -3.2338
```

```
>> net.lw{3,2}
ans =
0.5704 -12.9047 6.5200
```

```
>> net.b{1,1}
```

```
ans =
```

```
-10.0040
```

```
-22.5401
```

```
2.0316
```

```
>> net.b{2,1}
```

```
ans =
```

```
-3.6591
```

```
0.9532
```

```
9.7083
```

```
>> net.b{3,1}
```

```
ans =
```

```
7.7827
```

```
>> sim(net,[0.909;2.32])
```

```
ans =
```

```
1.5900
```

```
>> sim(net,[1.304;2.486])
```

```
ans =
```

```
1.5400
```

```
>> sim(net,[1.16;2.431])
```

```
ans =
```

```
1.5000
```

ภาคแผนกว ๖

โปรแกรมการหาจุดที่มีกำลังไฟฟ้าสูงสุดด้วยไมโครคอนโทรลเลอร์

มหาวิทยาลัยนเรศวร

```

#include <18f458.h>
#device PIC18f458*=16ADC=10
#use delay(clock=10000000)
#fuses HS,NOWDT,NOPROTECT,NOLVP
#use rs232(baud=9600,xmit=PIN_C6,RCV=PIN_C7)
#include <input.c>
#include <math.h>

void main()
{
    float input;
    float input1;
    float output;
    float w1[6];
    float w2[9];
    float w3[3];
    float sum[3];
    float sum1[3];
    float sum2[1];
    float node[3];
    float node1[3];
    float Vmax;
    float Temp,Light;
    float Temp1,Light1;
    float V,Volt,Volt1;
    float Voltage;
    int dutyC;
    float diffV;

    ///////////////
    setup_ccp1(CCP_PWM);
    setup_timer_2(T2_DIV_BY_1,100,1);
}

```

```

dutyC = 25 ;
delay_us(60);
set_pwm1_duty(DutyC);

setup_adc_ports(ALL_ANALOG);
setup_adc(ADC_CLOCK_INTERNAL);
delay_us(60);

while(1){
    set_adc_channel(0);           // Temp
    delay_us(60);
    Temp = read_adc();
    Temp1= (Temp*5)/1023;
    printf("      Temp = %f\n\r",Temp1);
    delay_ms(30);

    set_adc_channel(1);           // light
    delay_us(60);
    Light = read_adc();
    light1 = (Light*5)/1023;
    printf("      light = %f\n\r",Light1);
    delay_ms(30);

    set_adc_channel(2);  ///volt
    delay_us(60);
    V = read_adc();
    Volt= (V*5)/1023;
    Volt1=(Volt*5)/10;
    delay_ms(30);

    printf("      Volt1 = %f\n\r",Volt1);
}

```

```

input = Light1;

printf("      input= %f\n\r",input);

input1 = Temp1;

printf("      input1= %f\n\r",input1);

////////////////////

w1[0]=(input*18.5070);

w1[1]=(input*(-0.7182));

w1[2]=(input*(-6.2426));

w1[3]=(input1*(-6.9446));

w1[4]=(input1*9.2532);

w1[5]=(input1*3.4030);

sum[0]=-(w1[0]+w1[3]+(-10.0040));

sum[1]=-(w1[1]+w1[4]+(-22.5401));

sum[2]=-(w1[2]+w1[5]+(2.0316));

node[0]=1 / (1 + exp(sum[0]));

node[1]=1 / (1 + exp(sum[1]));

node[2]=1 / (1 + exp(sum[2]));

/////////layer 2////////

w2[0] = (node[0]*(5.1929));

w2[1] = (node[0]*(10.7373));

w2[2] = (node[0]*(-2.9058));

w2[3] = (node[1]*(-5.2419));

w2[4] = (node[1]*(-15.4508));

w2[5] = (node[1]*(-17.9693));

w2[6] = (node[2]*(3.7964));

w2[7] = (node[2]*(5.9353));

w2[8] = (node[2]*(-3.2338));

```

```

sum1[0]=-(w2[0]+w2[3]+w2[6]+(-3.6591));
sum1[1]=-(w2[1]+w2[4]+w2[7]+0.9532);
sum1[2]=-(w2[2]+w2[5]+w2[8]+9.7083);

node1[0]=1 / (1 + exp(sum1[0]));
node1[1]=1 / (1 + exp(sum1[1]));
node1[2]=1 / (1 + exp(sum1[2]));

/////////layer 3////////

w3[0]=node1[0]*0.5704;
w3[1]=node1[1]*(-12.9047);
w3[2]=node1[2]*6.5200;

sum2[0]=w3[0]+w3[1]+w3[2]+(7.7827);

output = sum2[0];

delay_ms(100);
Vmax=output;

printf("          Vmax= %f\n",Vmax);

/////////////////// read volt////////////////

diffV = Vmax-Volt1;
/////////////////// check power

if(diffV >= 0)
{

```

```
dutyC = dutyC-1;  
}  
else  
{  
    dutyC = dutyC+1;  
}  
/////////// pwm  
if (dutyC < 0)  
{  
    dutyC = 0;  
}  
else if (dutyC > 100)  
{  
    dutyC = 100;  
}  
else  
{  
    dutyC = dutyC;  
}  
  
set_pwm1_duty(dutyC);  
delay_ms(10);  
}  
}
```